

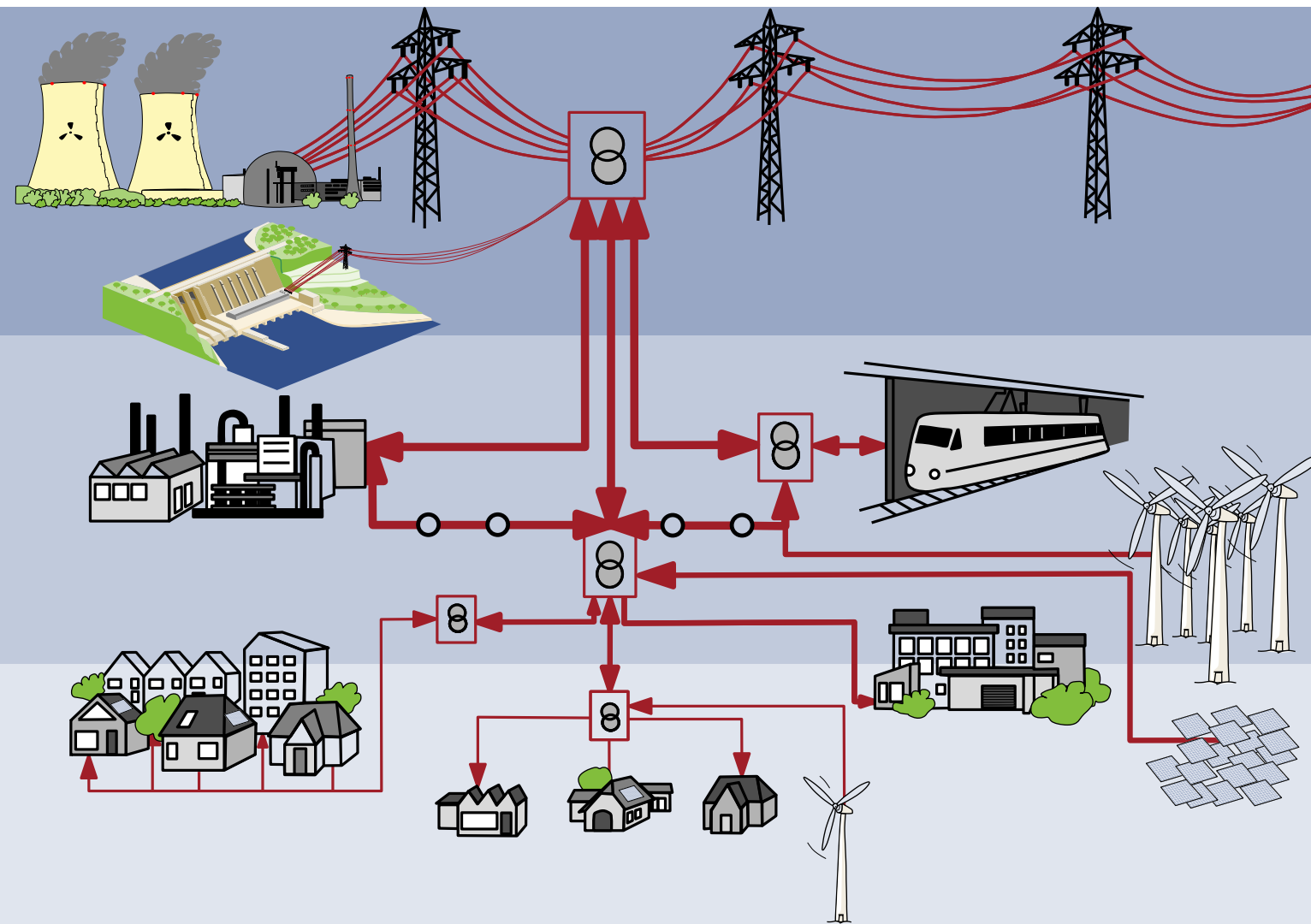
Das Maximale Schaltungsflussproblem für Übertragungsnetze

Energieinformatik · Teil 11 (VL2) · 1. Juli, 2020

Franziska Wegner

Aktuelle Entwicklungen im Energienetz

Erzeuger

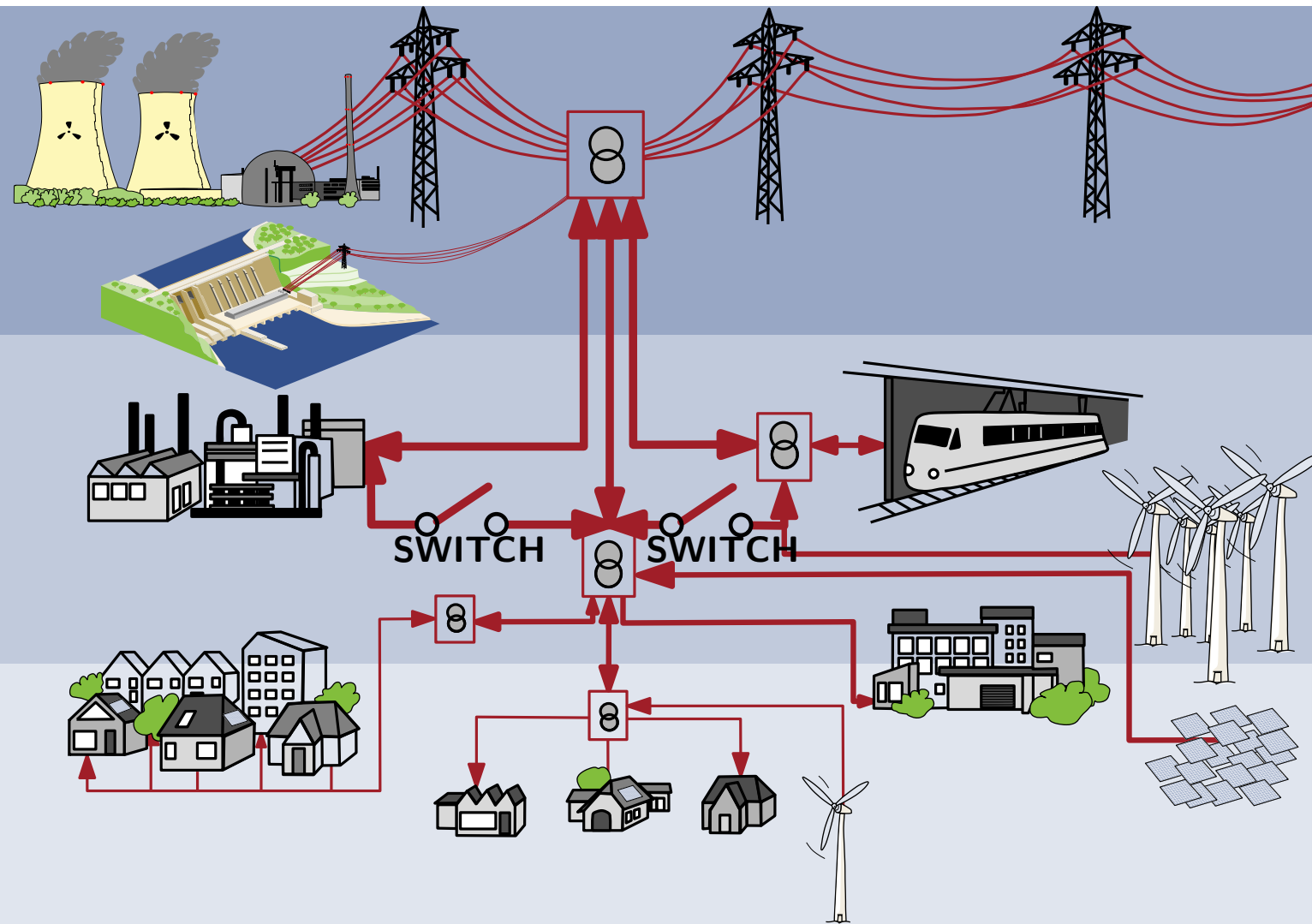


Netzwerk

Prosumer

Aktuelle Entwicklungen im Energienetz

Erzeuger

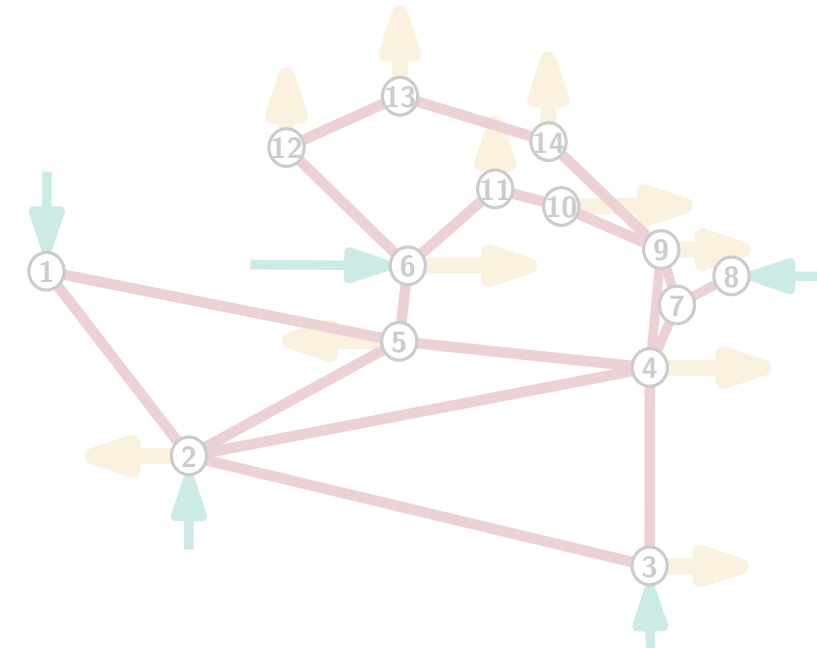


- Sei $G = (V, E)$ ein beliebig gerichteter Graph und $\overleftrightarrow{G} = (V, \overleftrightarrow{E})$ der zugrundeliegende ungerichtete Graph
- Menge von Knoten V (auch Busse genannt) mit Erzeugern $V_G \subseteq V$, Verbrauchern $V_D \subseteq V \setminus V_G$, und Zwischenknoten $V \setminus (V_G \cup V_D)$
- Wir bezeichnen \overleftrightarrow{E} als die darunterliegenden ungerichteten Kantenmenge mit $\overleftrightarrow{e} \in \overleftrightarrow{E}$, sodass $\overleftarrow{(u, v)} = \overleftarrow{(v, u)}$
- Netzwerk $\mathcal{N} = (G, V_G, V_D, \text{cap}, b, \underline{p_d})$
thermische Leitungsbeschränkungen $\text{cap}: E \rightarrow \mathbb{R}_{\geq 0}$,
Suszeptanzen $b: E \rightarrow \mathbb{R}_{\geq 0}$,
untere Schranken der Verbraucher $\underline{p_d}: V_D \rightarrow \mathbb{R}_{\geq 0}$

Das Maximale Schaltungsflussproblem für Übertragungsnetze

Gegeben V Bussmenge, $V_D \subseteq V$ Verbrauchermenge (mit Kapazitäten),
 $V_G \subseteq V$ Erzeugermenge (mit Kapazitäten)
 E Leitungsmenge (mit Impedanz, Suszeptanz, Kapazität)

Eingaben

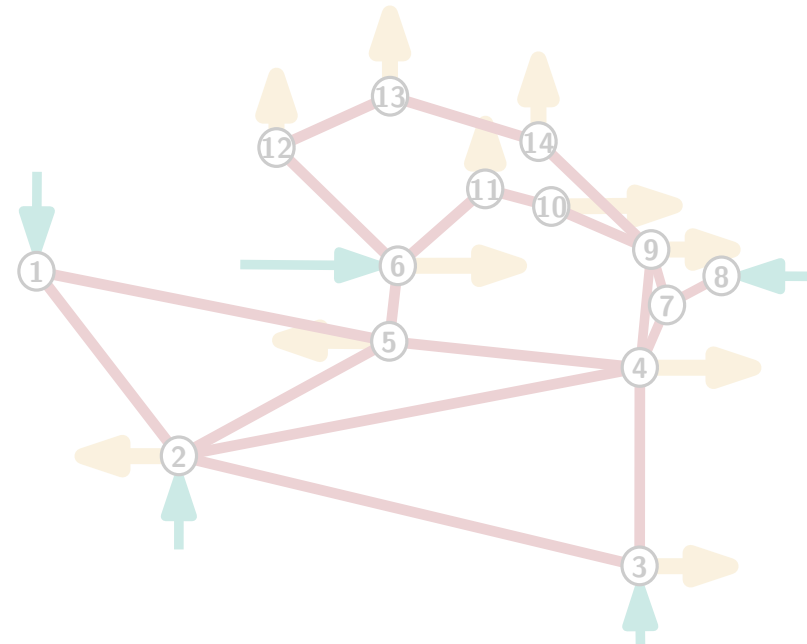


Das Maximale Schaltungsflussproblem für Übertragungsnetze

Gegeben V Busmenge, $V_D \subseteq V$ Verbrauchermenge (mit Kapazitäten),
 $V_G \subseteq V$ Erzeugermenge (mit Kapazitäten)
 E Leitungsmenge (mit Impedanz, Suszeptanz, Kapazität)

gesucht für jede Kante: ob die Leitung geschaltet wurde

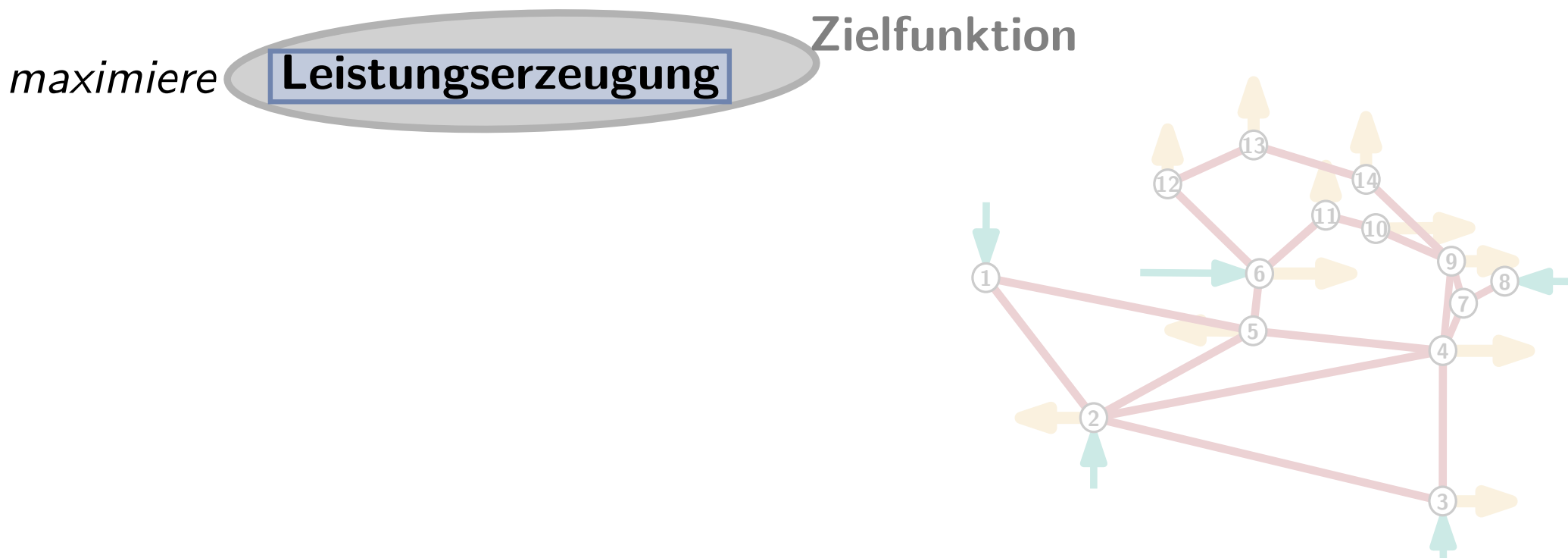
Variablen



Das Maximale Schaltungsflussproblem für Übertragungsnetze

Gegeben V Bussmenge, $V_D \subseteq V$ Verbrauchermenge (mit Kapazitäten),
 $V_G \subseteq V$ Erzeugermenge (mit Kapazitäten)
 E Leitungsmenge (mit Impedanz, Suszeptanz, Kapazität)

gesucht für jede Kante: ob die Leitung geschaltet wurde



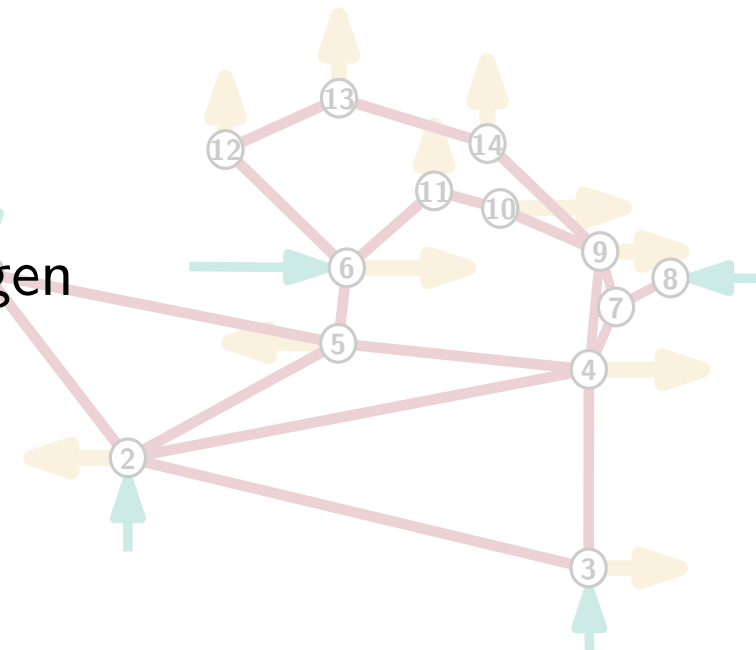
Das Maximale Schaltungsflussproblem für Übertragungsnetze

Gegeben V Bussmenge, $V_D \subseteq V$ Verbrauchermenge (mit Kapazitäten),
 $V_G \subseteq V$ Erzeugermenge (mit Kapazitäten)
 E Leitungsmenge (mit Impedanz, Suszeptanz, Kapazität)

gesucht für jede Kante: ob die Leitung geschaltet wurde

maximiere Leistungserzeugung

unter Leitungskapazitätseinschränkungen
 Verbrauchskapazitätseinschränkungen
 Leistungsflusseinschränkungen



Das Maximale Schaltungsflussproblem für Übertragungsnetze

Gegeben V Busmenge, $V_D \subseteq V$ Verbrauchermenge (mit Kapazitäten),
 $V_G \subseteq V$ Erzeugermenge (mit Kapazitäten)
 E Leitungsmenge (mit Impedanz, Suszeptanz, Kapazität)

Die **AC** Flusserhaltung ist ein **Teilproblem** des MTSF-Problems.

AC Flusserhaltung ist bereits **NP schwer** auf **Bäumen**.

[Lehmann et al., 2015]

unter Leitungskapazitätseinschränkungen
Verbrauchskapazitätseinschränkungen
Leistungsflusseinschränkungen



Das Maximale Schaltungsflussproblem für Übertragungsnetze

Gegeben V Busmenge, $V_D \subseteq V$ Verbrauchermenge (mit Kapazitäten),
 $V_G \subseteq V$ Erzeugermenge (mit Kapazitäten)
 E Leitungsmenge (mit Impedanz, Suszeptanz, Kapazität)

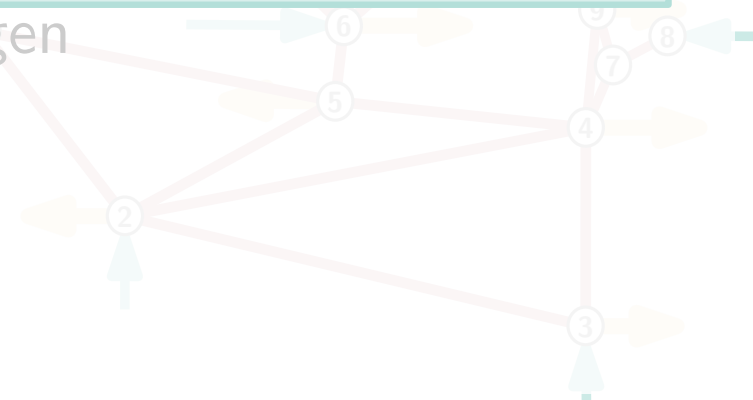
Die **AC** Flusserhaltung ist ein **Teilproblem** des MTSF-Problems.

AC Flusserhaltung ist bereits **NP schwer** auf **Bäumen**.

- Energienetze sind nicht einfach.
- **Linearisierte AC** Flusserhaltung ist **einfach** zu lösen.

Verbrauchskapazitätseinschränkungen

Leistungsflusseinschränkungen

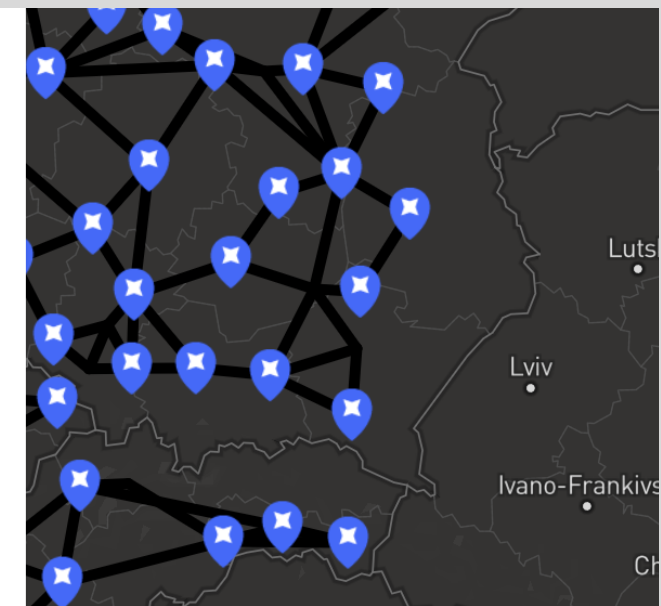


(Elektrische) Flüsse und deren mathematische Formulierung



```

conductance = 0
susceptance = -0.0848602
charge = 0
thermalLimitA = 0.7
thermalLimitB = 0
thermalLimitC = 0
tapRatio = 1
angleShift = 0
capitalCost = 3113.75
length = 95.8056
numberOfParallelLines = 2
nominalApparentPower = 3396.21
nominalVoltage = 380
NominalApparentPowerBound =
  
```



- Ein Fluss ist eine Funktion $f: E \cup E^{-1} \rightarrow \mathbb{R}$ mit Schiefsymmetrie $f(u, v) = -f(v, u)$ für alle $(u, v) \in E$
- Der Nettofluss $f_{\text{net}}(u) := \sum_{\{u,v\} \in \overset{\leftrightarrow}{E}} f(u, v)$
- Fluss f erfüllt die folgenden Flusserhaltungseigenschaften, die ähnlich zur **Kirchhoff'schen Knotenregel (KCL)** sind
 - $f_{\text{net}}(u) = 0 \quad \forall u \in V \setminus (V_G \cup V_D)$
 - $-\infty \leq f_{\text{net}}(u) \leq -p_d \quad \forall u \in V_D$
 - $0 \leq f_{\text{net}}(u) \leq \infty \quad \forall u \in V_G$
- Fluss f wird als *gültig* bezeichnet, wenn
$$|f(u, v)| \leq \text{cap}(u, v) \quad \forall (u, v) \in E$$
- Flusswert $F(\mathcal{N}, f)$ vom Fluss f auf \mathcal{N} ist definiert durch
$$\sum_{u \in V_G} f_{\text{net}}(u)$$

Das Maximale Fluss Problem (MFP)

- Flusswert $F(\mathcal{N}, \mathbf{f})$ vom Fluss \mathbf{f} auf \mathcal{N} ist definiert durch

$$\sum_{u \in V_G} f_{\text{net}}(u)$$

- Der **maximale Fluss (MF)** besitzt den Wert

$$\text{OPT}_{\text{MFP}}(\mathcal{N}) = \max F(\mathcal{N}, \mathbf{f}),$$

wobei \mathbf{f} ein **gültiger** Fluss ist, wenn

$$f_{\text{net}}(u) = 0 \quad \forall u \in V \setminus (V_G \cup V_D)$$

$$-\infty \leq f_{\text{net}}(u) \leq -\underline{p}_d \quad \forall u \in V_D$$

$$0 \leq f_{\text{net}}(u) \leq \infty \quad \forall u \in V_G$$

$$|f(u, v)| \leq \text{cap}(u, v) \quad \forall (u, v) \in E$$

- Ein **zulässiger** Fluss vernachlässigt **physikalische** Gesetzmäßigkeiten
- Die Kirchhoff'sche Maschenregel (**KVL**) ist eines davon. Diese wird bspw. mittels Potentialen an den Knoten $\theta^v: V \rightarrow \mathbb{R}$ formuliert

$$b(u, v) \cdot (\theta^v(v) - \theta^v(u) - \theta_{\text{shift}}^v(u, v)) = f(u, v) \quad \forall (u, v) \in E$$
$$\underline{\theta^v}(u) \leq \theta^v(u) \leq \overline{\theta^v}(u) \quad \forall u \in V$$

- In unseren Fällen gibt es keine Transformatoren und es gilt damit $\theta_{\text{shift}}^v(u, v) = 0$

Das Maximum Power Flow Problem (MPFP)

- Der maximale Power Flow (MPF) besitzt den Wert

$$\text{OPT}_{\text{MPFP}}(\mathcal{N}) = \max F(\mathcal{N}, f),$$

wobei f ein *physikalisch zulässiger* Fluss ist mit

$$f_{\text{net}}(u) = 0 \quad \forall u \in V \setminus (V_G \cup V_D)$$

$$-\infty \leq f_{\text{net}}(u) \leq -\underline{p}_d(u) \quad \forall u \in V_D$$

$$0 \leq f_{\text{net}}(u) \leq \infty \quad \forall u \in V_G$$

$$|f(u, v)| \leq \text{cap}(u, v) \quad \forall (u, v) \in E$$

$$b(u, v) \cdot (\theta^v(v) - \theta^v(u) - \theta_{\text{shift}}^v(u, v)) = f(u, v) \quad \forall (u, v) \in E$$

$$\underline{\theta}^v(u) \leq \theta^v(u) \leq \overline{\theta}^v(u) \quad \forall u \in V$$

Das Maximum Power Flow Problem (MPFP)

- Der maximale Power Flow (MPF) besitzt den Wert

$$\text{OPT}_{\text{MPFP}}(\mathcal{N}) = \max F(\mathcal{N}, f),$$

wobei f ein *physikalisch zulässiger* Fluss ist mit

$$f_{\text{net}}(u) = 0 \quad \forall u \in V \setminus (V_G \cup V_D)$$

$$-\infty \leq f_{\text{net}}(u) \leq -\underline{p}_d(u) \quad \forall u \in V_D$$

$$0 \leq f_{\text{net}}(u) \leq \infty \quad \forall u \in V_G$$

$$|f(u, v)| \leq \text{cap}(u, v) \quad \forall (u, v) \in E$$

$$b(u, v) \cdot (\theta^v(v) - \theta^v(u)) = f(u, v) \quad \forall (u, v) \in E$$

$$\underline{\theta}^v(u) \leq \theta^v(u) \leq \overline{\theta}^v(u) \quad \forall u \in V$$

Das Maximum Transmission Switching Flow (MTSF) Problem

[Lehmann et al., 2014]

- Der MAXIMUM TRANSMISSION SWITCHING FLOW (MTSF) besitzt den Wert

$$\text{OPT}_{\text{MTSF}}(\mathcal{N}) := \max_{S \subseteq E} \text{OPT}_{\text{MPFP}}(\mathcal{N} - S),$$

wobei f ein physikalisch zulässiger Fluss ist

$$f_{\text{net}}(u) = 0 \quad \forall u \in V \setminus (V_G \cup V_D)$$

$$-\infty \leq f_{\text{net}}(u) \leq -\underline{p}_d(u) \quad \forall u \in V_D$$

$$0 \leq f_{\text{net}}(u) \leq \infty \quad \forall u \in V_G$$

$$|f(u, v)| \leq z(u, v) \cdot \text{cap}(u, v) \quad \forall (u, v) \in E$$

$$b(u, v) \cdot z(u, v) \cdot (\theta^v(v) - \theta^v(u)) = f(u, v) \quad \forall (u, v) \in E$$

$$\underline{\theta}^v(u) \leq \theta^v(u) \leq \overline{\theta}^v(u) \quad \forall u \in V$$

Das Maximum Transmission Switching Flow (MTSF) Problem

[Lehmann et al., 2014]

- Der MAXIMUM TRANSMISSION SWITCHING FLOW (MTSF) besitzt den Wert

$$\text{OPT}_{\text{MTSF}}(\mathcal{N}) := \max_{S \subseteq \overset{\leftrightarrow}{E}} \text{OPT}_{\text{MPFP}}(\mathcal{N} - S),$$

wobei f ein physikalisch zulässiger Fluss ist

$$f_{\text{net}}(u) = 0 \quad \forall u \in V \setminus (V_G \cup V_D)$$

$$-\infty \leq f_{\text{net}}(u) \leq -\underline{p}_d(u) \quad \forall u \in V_D$$

$$0 \leq f_{\text{net}}(u) \leq \infty \quad \forall u \in V_G$$

$$|f(u, v)| \leq z(u, v) \cdot \text{cap}(u, v) \quad \forall (u, v) \in E$$

$$b(u, v) \cdot (\theta^v(v) - \theta^v(u)) + (1 - z(u, v))M \geq f(u, v) \quad \forall (u, v) \in E$$

$$b(u, v) \cdot (\theta^v(v) - \theta^v(u)) - (1 - z(u, v))M \leq f(u, v) \quad \forall (u, v) \in E$$

$$\underline{\theta}^v(u) \leq \theta^v(u) \leq \overline{\theta}^v(u) \quad \forall u \in V$$

Das Maximum Transmission Switching Flow (MTSF) Problem

[Lehmann et al., 2014]

Optimierungsproblem MTSF

Instanz: Ein Energienetz \mathcal{N} .

Zielfunktion: Finde eine Menge $S \subseteq \overleftrightarrow{E}$ von geswitchten Kanten, sodass $\text{OPT}_{\text{MPF}}(\mathcal{N} - S)$ maximal unter allen möglichen geswitchten Kanten S ist.

Entscheidungsproblem k -MTSF

Instanz: Ein Übertragungsnetz \mathcal{N} und $k \in \mathbb{Q}_{\geq 0}$.

Zielfunktion: Ist es möglich eine Menge von Kanten $S \subseteq \overleftrightarrow{E}$ zu entfernen, sodass es einen physikalischen zuässigen Fluss f in $\mathcal{N} - S$ mit Flusswert $F(\mathcal{N} - S, f) \geq k$ gibt?

Das Optimal Power Flow (OPF) Problem

[Zimmerman et al., 2011]

- Network $\mathcal{N} = (G, V_G, V_D, \text{cap}, \underline{b}, \underline{p_d})$

- Das OPTIMAL POWER FLOW (OPF) besitzt den Wert

$$\text{OPT}_{\text{OPF}}(\mathcal{N}) := \min \sum_{u \in V_G} \gamma_u(f_{\text{net}}(u))$$

wobei f der physical zulässige Fluss ist

$$f_{\text{net}}(u) = 0 \quad \forall u \in V \setminus (V_G \cup V_D)$$

$$-\infty \leq f_{\text{net}}(u) \leq -\underline{p_d}(u) \quad \forall u \in V_D$$

$$0 \leq f_{\text{net}}(u) \leq \infty \quad \forall u \in V_G$$

$$|f(u, v)| \leq \text{cap}(u, v) \quad \forall (u, v) \in E$$

$$\underline{b}(u, v) \cdot (\theta^v(v) - \theta^v(u)) = f(u, v) \quad \forall (u, v) \in E$$

$$\underline{\theta^v}(u) \leq \theta^v(u) \leq \overline{\theta^v}(u) \quad \forall u \in V$$

Das Optimal Power Flow (OPF) Problem

[Zimmerman et al., 2011]

$\in \mathbb{R}$

- Network $\mathcal{N}_{\text{bounded}} = (G, V_G, V_D, \text{cap}, b, \underbrace{\underline{p}_g, \overline{p}_g, \underline{p}_d, \overline{p}_d}_{\in \mathbb{R}})$ wird als bounded bezeichnet
- Erzeugungskostenfunktion $\gamma_u: \mathbb{R} \rightarrow \mathbb{R}_{\geq 0}$ für alle $u \in V_G$
- Das OPTIMAL POWER FLOW (OPF) besitzt den Wert

$$\text{OPT}_{\text{OPF}}(\mathcal{N}) := \min \sum_{u \in V_G} \gamma_u(f_{\text{net}}(u))$$

wobei f der physical zulässige Fluss ist

$$f_{\text{net}}(u) = 0 \quad \forall u \in V \setminus (V_G \cup V_D)$$

$$-\overline{p}_d(u) \leq f_{\text{net}}(u) \leq -\underline{p}_d(u) \quad \forall u \in V_D$$

$$\underline{p}_g \leq f_{\text{net}}(u) \leq \overline{p}_g \quad \forall u \in V_G$$

$$|f(u, v)| \leq \text{cap}(u, v) \quad \forall (u, v) \in E$$

$$b(u, v) \cdot (\theta^v(v) - \theta^v(u)) = f(u, v) \quad \forall (u, v) \in E$$

$$\underline{\theta^v}(u) \leq \theta^v(u) \leq \overline{\theta^v}(u) \quad \forall u \in V$$

Das Optimal Power Flow (OPF) Problem

[Zimmerman et al., 2011]

$\in \mathbb{R}$

- Network $\mathcal{N}_{\text{bounded}} = (G, V_G, V_D, \text{cap}, b, \underbrace{\underline{p}_g, \overline{p}_g, \underline{p}_d, \overline{p}_d}_{\in \mathbb{R}})$ wird als bounded bezeichnet
- Erzeugungskostenfunktion $\gamma_u: \mathbb{R} \rightarrow \mathbb{R}_{\geq 0}$ für alle $u \in V_G$
- Das OPTIMAL POWER FLOW (OPF) besitzt den Wert

$$\text{OPT}_{\text{OPF}}(\mathcal{N}) := \min \sum_{u \in V_G} \gamma_u(f_{\text{net}}(u))$$

wobei f der physical zulässige Fluss ist

$$f_{\text{net}}(u) = 0 \quad \forall u \in V \setminus (V_G \cup V_D)$$

$$-\underline{p}_d(u) = -\overline{p}_d(u) \leq f_{\text{net}}(u) \leq -\underline{p}_d(u) = -p_d(u) \quad \forall u \in V_D$$

$$\underline{p}_g \leq f_{\text{net}}(u) \leq \overline{p}_g \quad \forall u \in V_G$$

$$|f(u, v)| \leq \text{cap}(u, v) \quad \forall (u, v) \in E$$

$$b(u, v) \cdot (\theta^v(v) - \theta^v(u)) = f(u, v) \quad \forall (u, v) \in E$$

$$\underline{\theta^v}(u) \leq \theta^v(u) \leq \overline{\theta^v}(u) \quad \forall u \in V$$

Das Optimal Power Flow (OPF) Problem

[Zimmerman et al., 2011]

$\in \mathbb{R}$

- Network $\mathcal{N}_{\text{bounded}} = (G, V_G, V_D, \text{cap}, b, \underbrace{\underline{p}_g, \overline{p}_g, \underline{p}_d, \overline{p}_d}_{\in \mathbb{R}}$) wird als bounded bezeichnet
- Erzeugungskostenfunktion $\gamma_u: \mathbb{R} \rightarrow \mathbb{R}_{\geq 0}$ für alle $u \in V_G$
- Das OPTIMAL POWER FLOW (OPF) besitzt den Wert

$$\text{OPT}_{\text{OPF}}(\mathcal{N}) := \min \sum_{u \in V_G} \gamma_u(f_{\text{net}}(u))$$

wobei f der physical zulässige Fluss ist

$$f_{\text{net}}(u) = 0 \quad \forall u \in V \setminus (V_G \cup V_D)$$

$$f_{\text{net}}(u) = -p_d(u) \quad \forall u \in V_D$$

$$\underline{p}_g(u) \leq f_{\text{net}}(u) \leq \overline{p}_g(u) \quad \forall u \in V_G$$

$$|f(u, v)| \leq \text{cap}(u, v) \quad \forall (u, v) \in E$$

$$b(u, v) \cdot (\theta^v(v) - \theta^v(u)) = f(u, v) \quad \forall (u, v) \in E$$

$$\underline{\theta^v}(u) \leq \theta^v(u) \leq \overline{\theta^v}(u) \quad \forall u \in V$$

Das Optimal Transmission Switching (OTS) Problem

[Fisher et al., 2008]

- Das OPTIMAL TRANSMISSION SWITCHING (OTS) besitzt den Wert

$$\text{OPT}_{\text{OTS}}(\mathcal{N}) := \min_{S \subseteq E} \text{OPF}(\mathcal{N} - S)$$

wobei f ein physikalisch zulässiger Fluss ist mit

$$f_{\text{net}}(u) = 0 \quad \forall u \in V \setminus (V_G \cup V_D)$$

$$f_{\text{net}}(u) = -p_d(u) \quad \forall u \in V_D$$

$$\underline{p}_g(u) \leq f_{\text{net}}(u) \leq \overline{p}_g(u) \quad \forall u \in V_G$$

$$|f(u, v)| \leq z(u, v) \cdot \text{cap}(u, v) \quad \forall (u, v) \in E$$

$$b(u, v) \cdot (\theta^v(v) - \theta^v(u)) + (1 - z(u, v))M \geq f(u, v) \quad \forall (u, v) \in E$$

$$b(u, v) \cdot (\theta^v(v) - \theta^v(u)) - (1 - z(u, v))M \leq f(u, v) \quad \forall (u, v) \in E$$

$$\underline{\theta^v}(u) \leq \theta^v(u) \leq \overline{\theta^v}(u) \quad \forall u \in V$$

Das Optimal Transmission Switching (OTS) Problem

[Fisher et al., 2008]

Optimierungsproblem OTS

Instanz: Ein Energienetz $\mathcal{N}_{\text{bounded}}$.

Zielfunktion: Finde eine Menge $S \subseteq \overleftrightarrow{E}$ von geschalteten Kanten, so dass $\text{OPT}_{\text{OPF}}(\mathcal{N} - S)$ minimum über alle möglichen geschalteten Kanten S ist.

Entscheidungsproblem kOTS

Instanz: Ein Energienetz $\mathcal{N}_{\text{bounded}}$ und $k \in \mathbb{Q}_{\geq 0}$.

Zielfunktion: Ist es möglich eine Kantenmenge $S \subseteq \overleftrightarrow{E}$ zu entfernen, sodass ein physikalischer zulässiger Fluss f in $\mathcal{N} - S$ mit Kosten $\sum_{u \in V_G} \gamma_u(f_{\text{net}}(u)) \leq k$ erreicht wird?

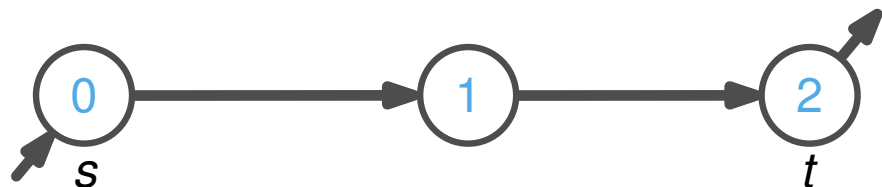
Verbindung zum DC-Modell

- Der Leistungsfluss verhält sich wie der Strom in DC-Netzwerken
- Die Gesamtsuszeptanz $B_{\text{tot}} = -\frac{1}{X}$ ($-\frac{1}{X}$, da $G = R = 0$ in der DC-Approximation, sonst $-\frac{X}{R^2+X^2}$) verhalten sich wie der elektrische Leitwert $G = \frac{1}{R}$
- Die Spannungswinkeldifferenzen $\Delta\theta^\nu$ verhalten sich wie Spannungen U

Annahme: $b_k := 1$, $\text{cap}_k := 1$ $\forall k \in \{1, \dots, m\}$

$$I_{\text{tot}} = \frac{U_{\text{tot}}}{R_{\text{tot}}} = U_{\text{tot}} \cdot G_{\text{tot}} = \Delta\theta_{\text{tot}}^\nu \cdot B_{\text{tot}} = P_{\text{tot}}$$

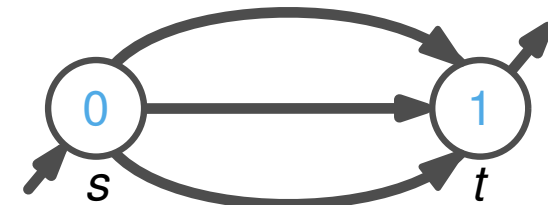
Serienschaltkreis



$$B_{\text{tot}} = b(s, t) = \frac{1}{\sum_{k=1}^n \frac{1}{b_k}} = \frac{1}{2} \quad f(s, t) = 1$$

$$\Delta\theta_{\text{tot}}^\nu = \Delta\theta^\nu(s, t) = \frac{\text{cap}(s, t)}{b(s, t)} = 2$$

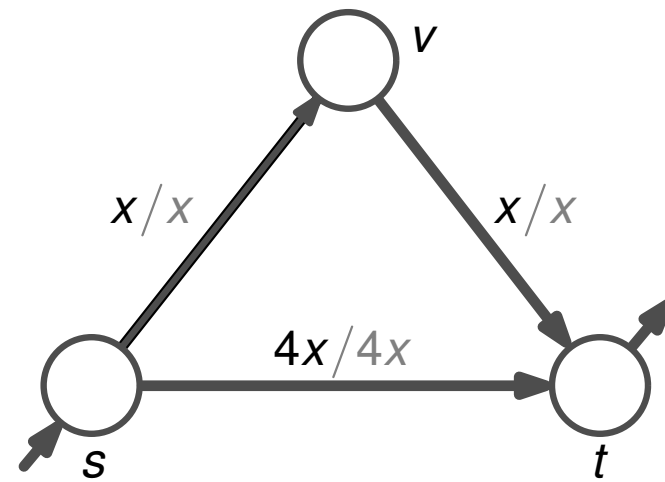
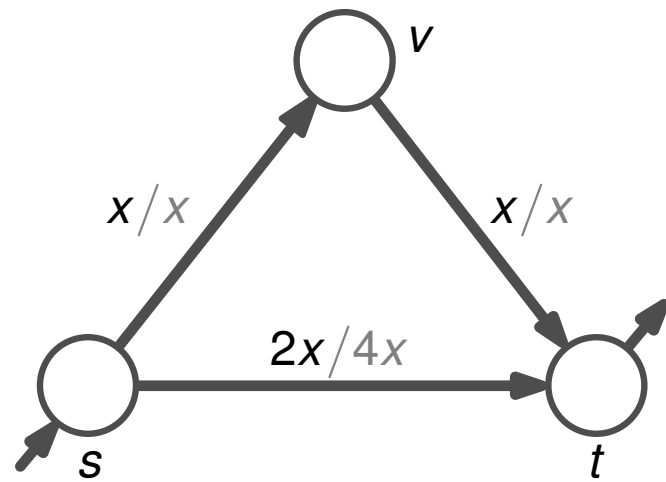
Parallelschaltkreis



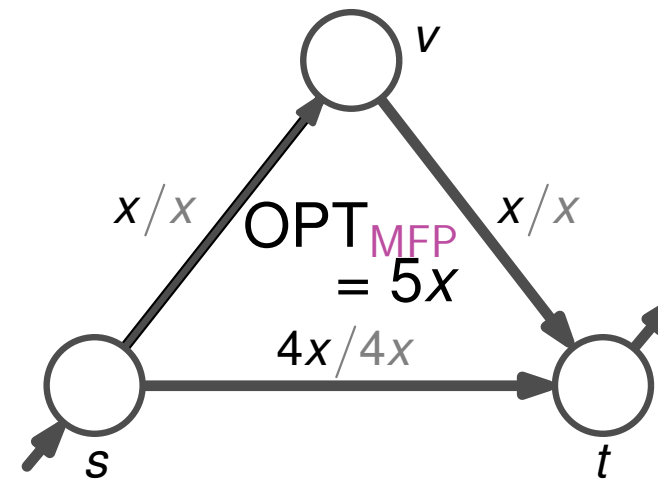
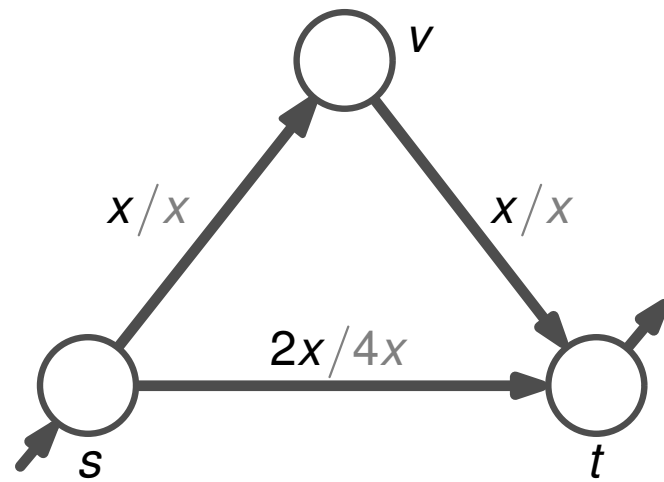
$$B_{\text{tot}} = b(s, t) = \sum_{k=1}^n b_k = 3 \quad f(s, t) = 3$$

$$\Delta\theta_{\text{tot}}^\nu = \Delta\theta^\nu(s, t) = \min_{(s,t)^i} (\Delta\theta_i^\nu(s, t)) = 1$$

Das MTSF Problem



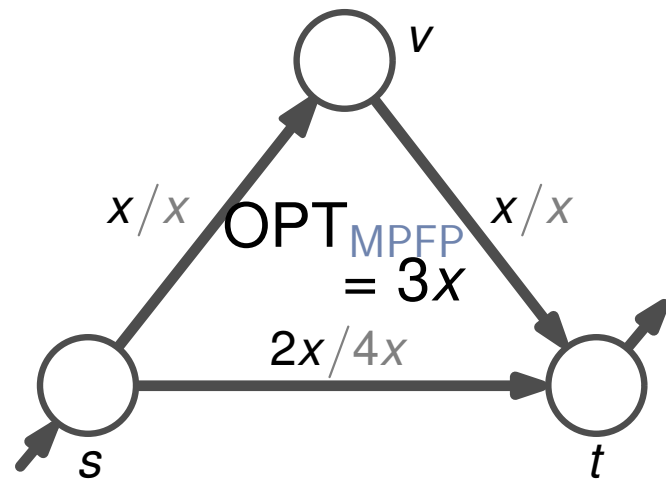
Das MTSF Problem



Flussmodell

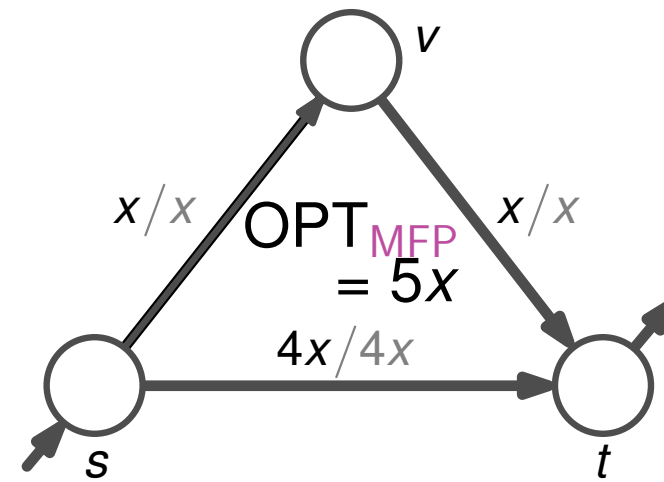
obere Schranke

Das MTSF Problem



physikalisches Modell
(AC-Linearisierung)

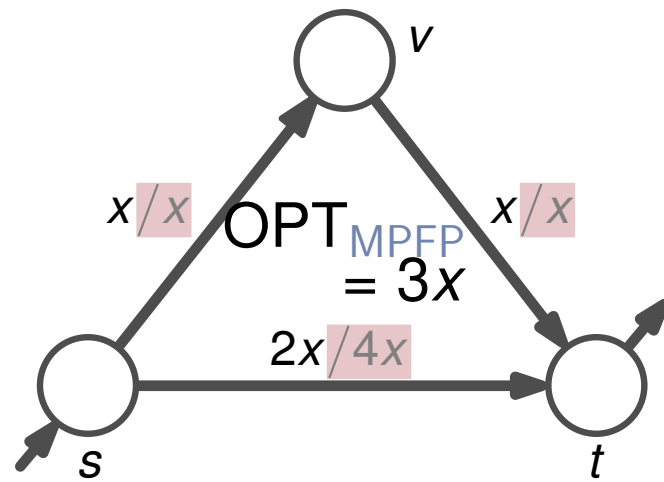
untere Schranke



Flussmodell

obere Schranke

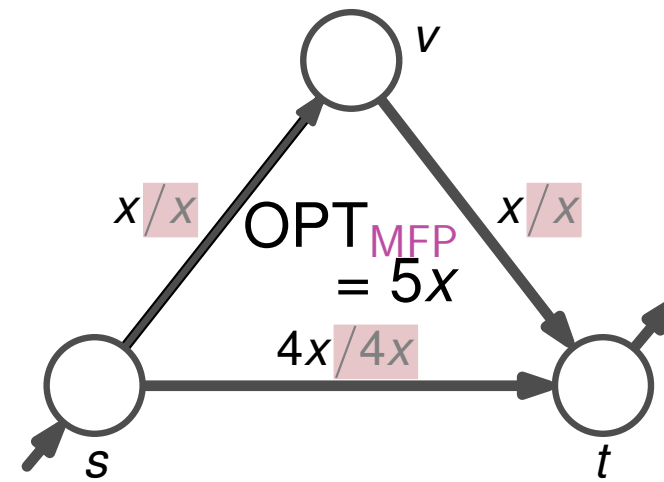
Das MTSF Problem



physikalisches Modell
(AC-Linearisierung)

untere Schranke

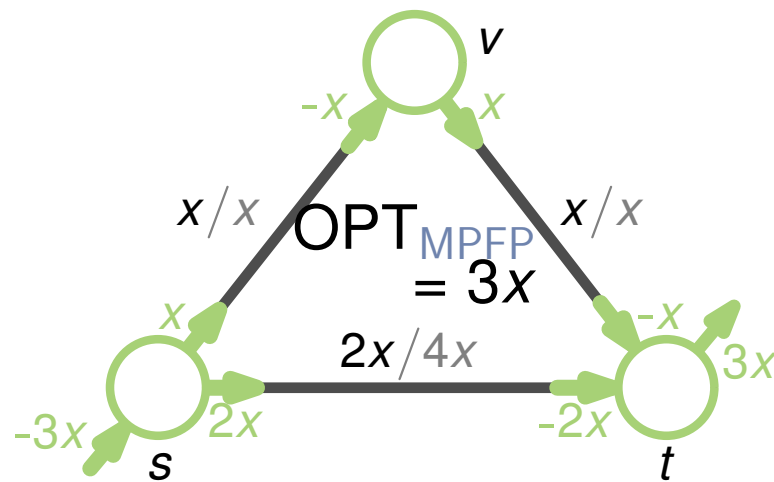
Kapazitätseinschränkungen



Flussmodell

obere Schranke

Das MTSF Problem

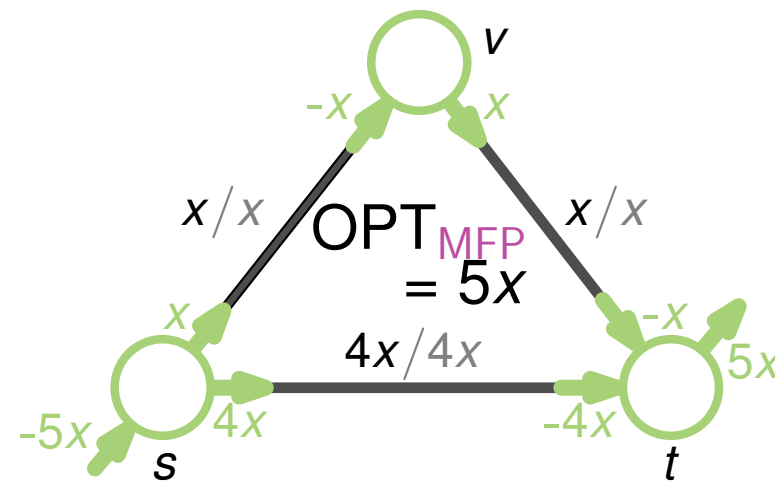


physikalisches Modell
(AC-Linearisierung)

untere Schranke

Kapazitätseinschränkungen

Kirchhoff'sche Knotenregel (KCL)



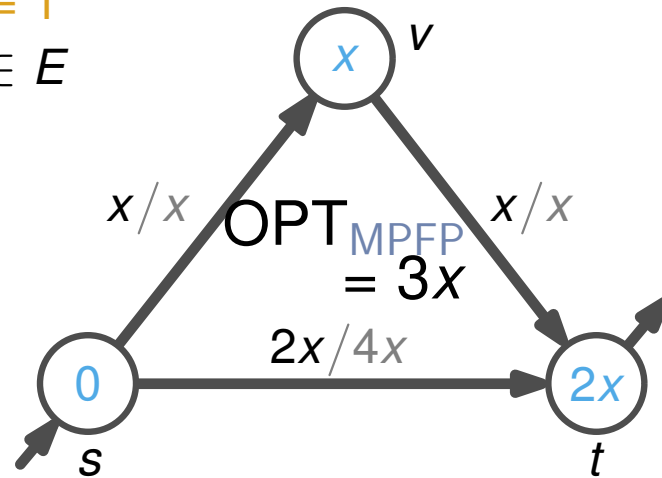
Flussmodell

obere Schranke

Das MTSF Problem

$$b(i, j) := 1$$

$$\forall (i, j) \in E$$



physikalisches Modell
(AC-Linearisierung)

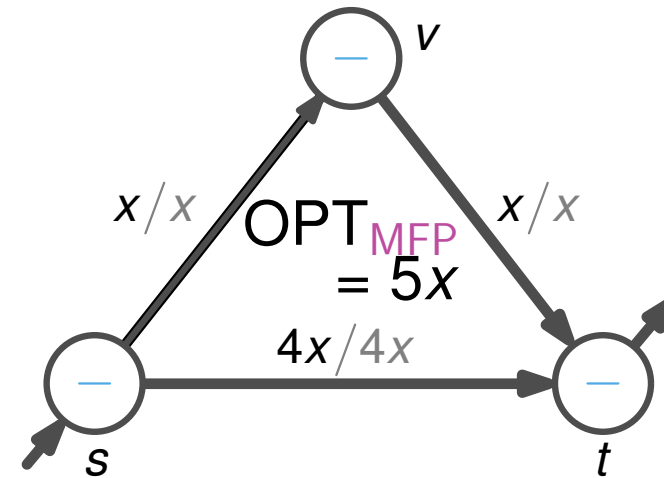
untere Schranke

Kapazitätseinschränkungen

Kirchhoff'sche Knotenregel (KCL)

DC Leistungsflusseinschränkung

$$\forall (u, v) \in E: f(u, v) = b(u, v) (\theta^v(v) - \theta^v(u))$$



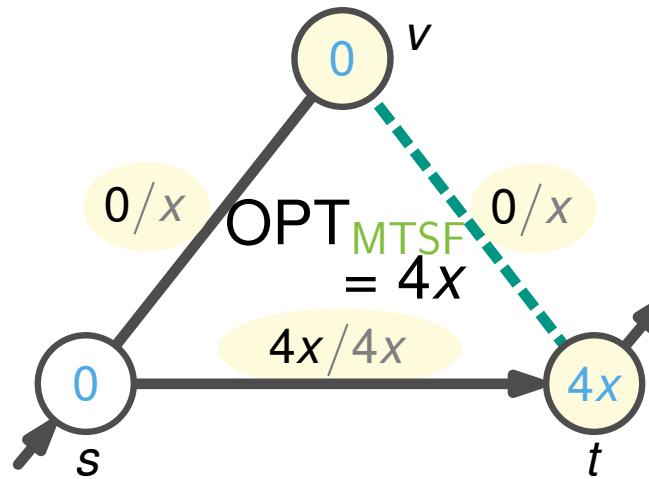
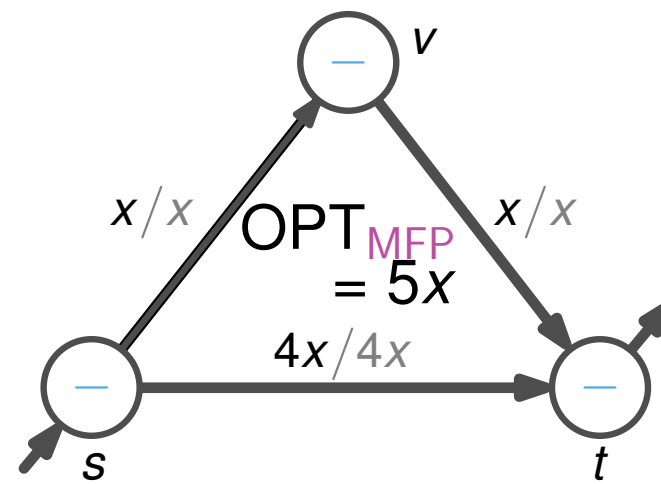
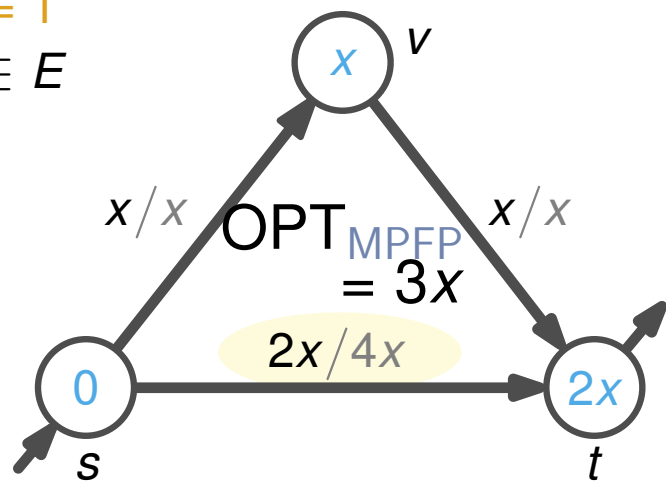
Flussmodell

obere Schranke

Das MTSF Problem

$$b(i, j) := 1$$

$$\forall (i, j) \in E$$

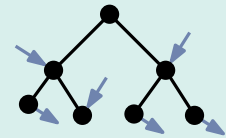
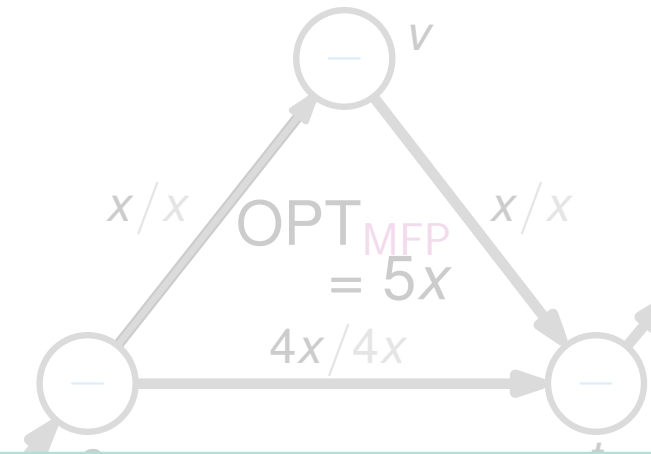
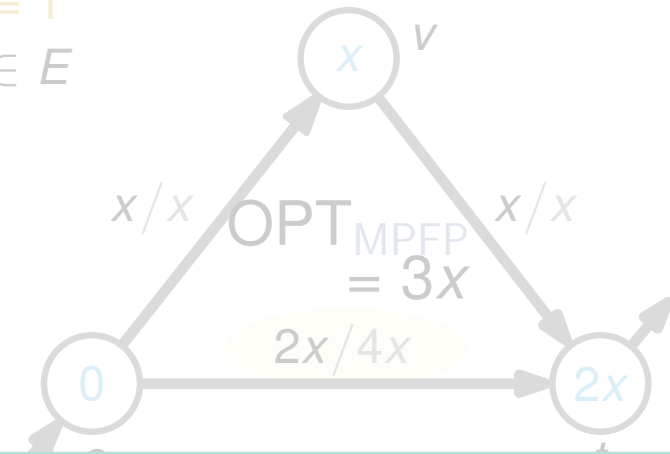


$$\forall (u, v) \in E: f(u, v) = b(u, v) (\theta^v(v) - \theta^v(u))$$

Das MTSF Problem

$$b(i,j) := 1$$

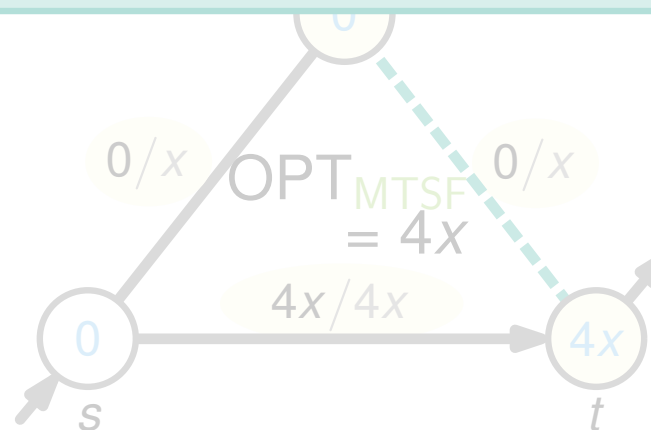
$$\forall (i,j) \in E$$



Phy. Modell
(MPFP)

= Maximaler Schaltfluss
(MTSFP)

= Flussmodell
(MFP)

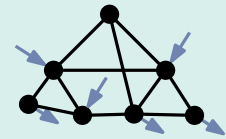
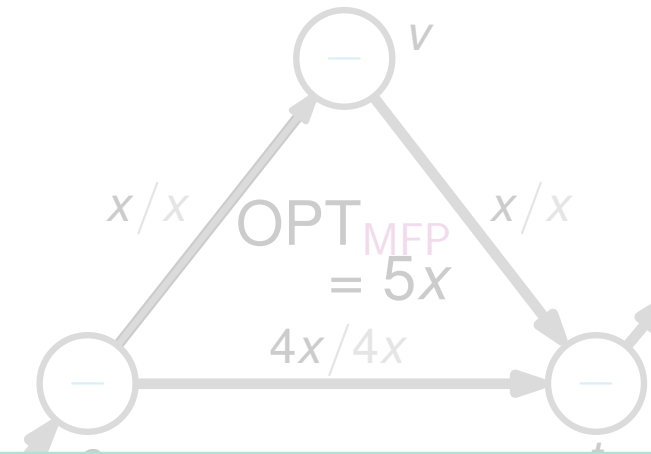
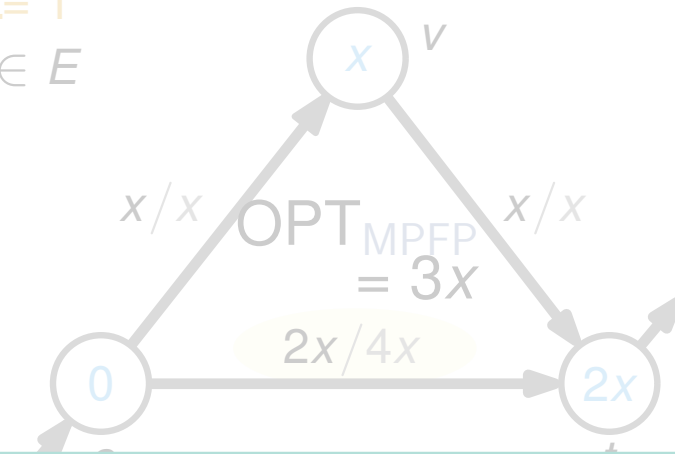


$$\forall (u, v) \in E: f(u, v) = b(u, v)(\theta^v(v) - \theta^v(u))$$

Das MTSF Problem

$$b(i,j) := 1$$

$$\forall (i,j) \in E$$

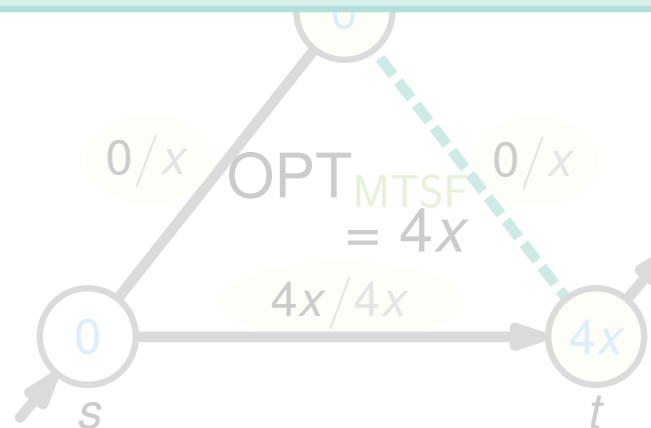


Phy. Modell
(MPFP)

\leq

Maximaler Schaltfluss
(MTSFP)

\leq
Flussmodell
(MFP)

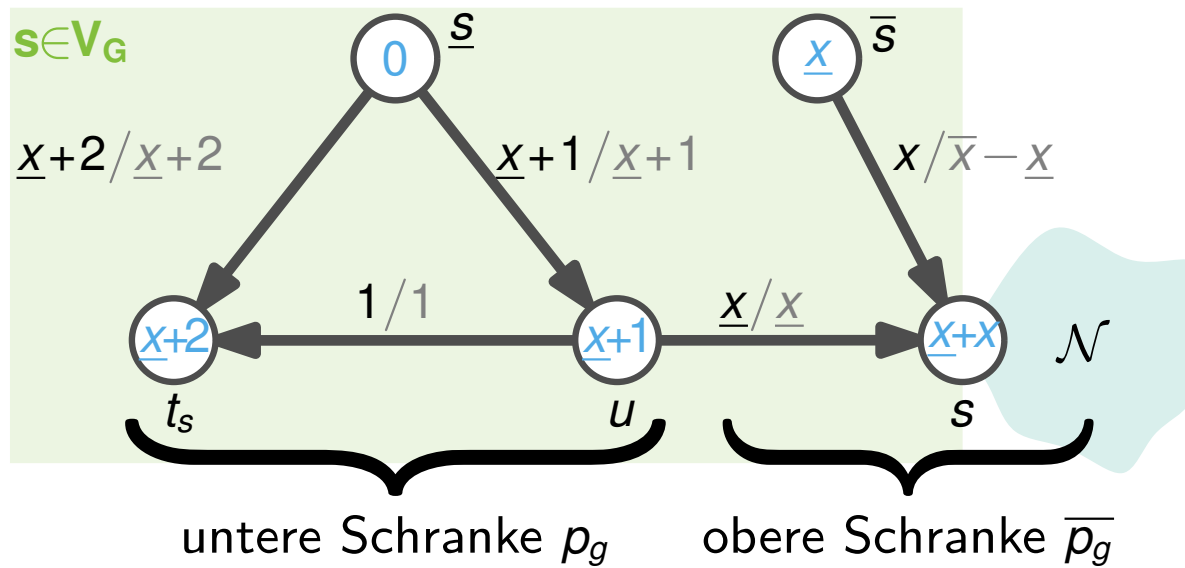


$$\forall (u, v) \in E: f(u, v) = b(u, v)(\theta^v(v) - \theta^v(u))$$

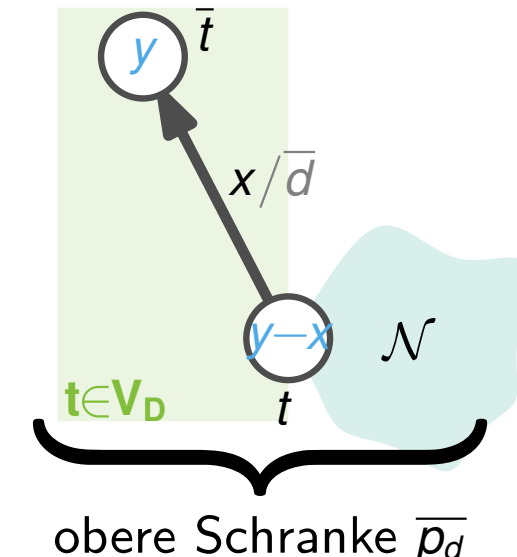
Netzwerkmodellierung – Beschränkt zu Unbeschränkt

- Transformation von einem beschränkten Netzwerk $\mathcal{N}_{\text{bounded}} = (G, V_G, V_D, \text{cap}, b, p_g, \bar{p}_g, p_d, \bar{p}_d)$ in ein unbeschränktes Netzwerk $\mathcal{N} = (G, V_G, \bar{V}_D, \text{cap}, b, \underline{p}_d)$

Modelliere Erzeugerschranken in \mathcal{N}



Modelliere Verbraucherschranken in \mathcal{N}



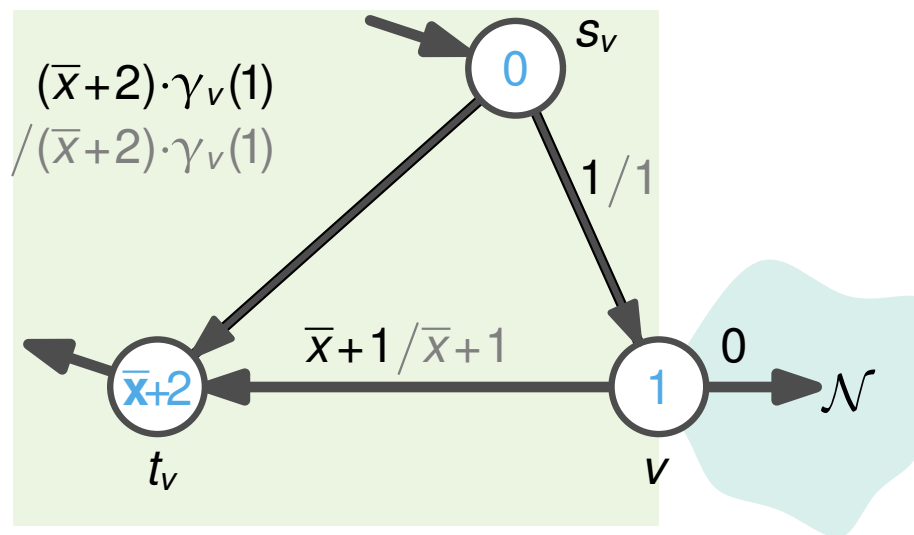
Lemma 1 [S.343; Grastien et al., 2018]

Jedes beschränkte MTSF kann transformiert werden in ein unbeschränktes MTSF auf ein Netzwerk mit einer Größe linear in $|V|$ und $|E|$.

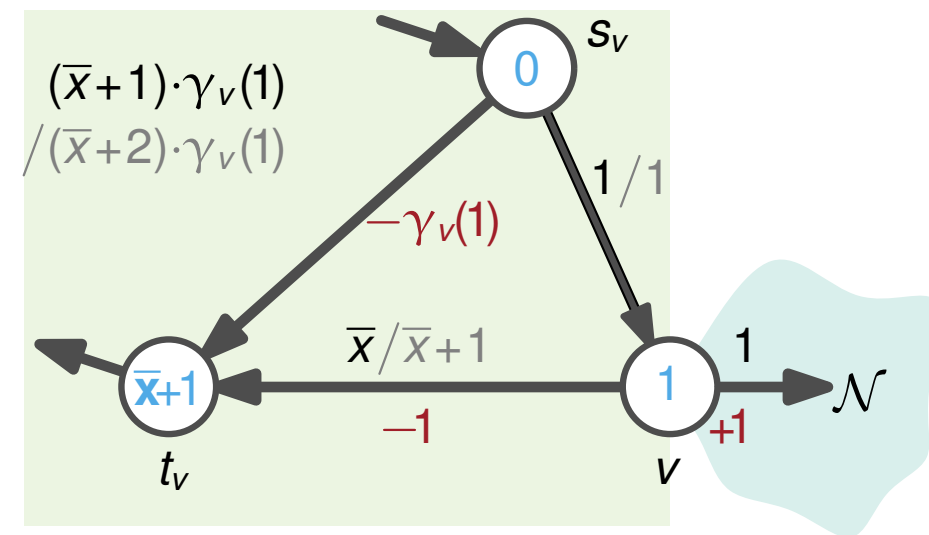
Netzwerkmodellierung – OTS zu MTSF

- OTS-Instanz $\mathcal{N} = (G, V_G, V_D, \text{cap}, \underline{b}, \underline{p_g}, \overline{p_g}, p_d)$
- $\gamma_v(1)$ Kosten pro erzeugter Leistungseinheit
- $b(s_v, t_v) := \gamma_v(1), b(s_v, v) := b(v, t_v) := 1$

**Knoten v speist keine Leistung
in das Netzwerk \mathcal{N} ein**



**Knoten v speist Leistung
in \mathcal{N} ein**



- Zulässiger Fluss in \mathcal{N} mit Kosten $k \rightarrow$ zulässiger Fluss in \mathcal{N}' mit Flusswert $M - k$
- $M = \sum_{v \in V_G} ((\bar{x} + 2) \cdot \gamma_v(1) + \bar{x}_v + 1)$

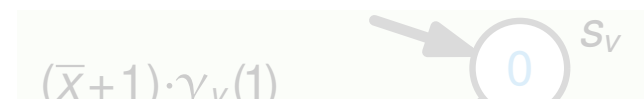
Netzwerkmodellierung – OTS zu MTSF

- OTS-Instanz $\mathcal{N} = (G, V_G, V_D, \text{cap}, b, p_g, \overline{p_g}, p_d)$
- $\gamma_v(1)$ Kosten pro erzeugter Leistungseinheit
- $b(s_v, t_v) := \gamma_v(1), b(s_v, v) := b(v, t_v) := 1$

Knoten v speist keine Leistung
in das Netzwerk \mathcal{N} ein

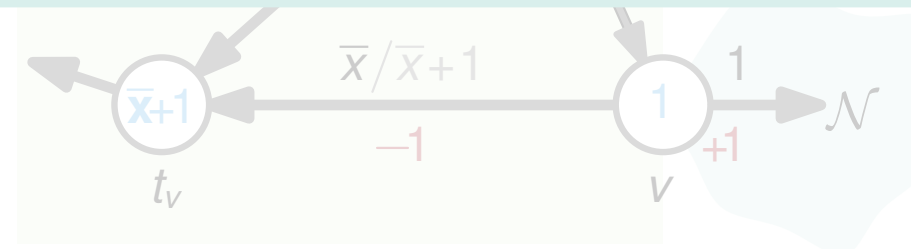
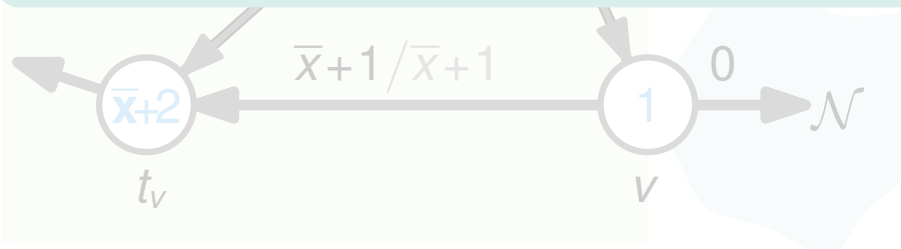


Knoten v speist Leistung
in \mathcal{N} ein



Lemma 2 [S.344; Grastien et al., 2018]

Für jede OTS-Instanz existiert eine äquivalente MTSF-Instanz.



- Zulässiger Fluss in \mathcal{N} mit Kosten $k \rightarrow$ zulässiger Fluss in \mathcal{N}' mit Flusswert $M - k$
- $M = \sum_{v \in V_G} ((\bar{x} + 2) \cdot \gamma_v(1) + \bar{x}_v + 1)$

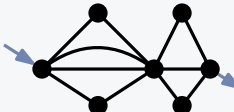
Überblick über MTSF Ergebnisse

Graphenstruktur

Komplexität

Algorithmen

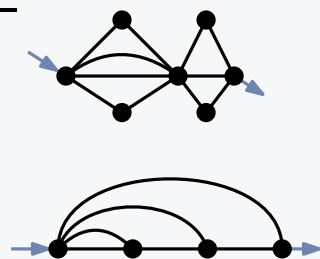
Überblick über MTSF Ergebnisse

Graphenstruktur	Komplexität	Algorithmen
<p>Penrose-Minoren-freie Graphen</p> <p>easy</p> <p>ein Erzeuger, ein Verbraucher</p> 	Polynomialzeit lösbar	DTP

Überblick über MTSF Ergebnisse

Graphenstruktur

Penrose-Minoren-freie Graphen
Serienparallele Graphen



Komplexität

Polynomialzeit lösbar
NP-schwer

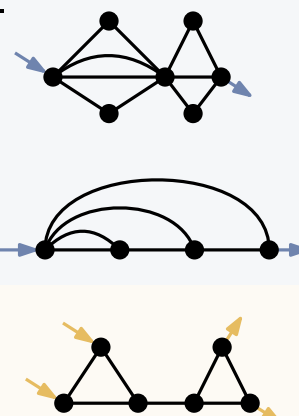
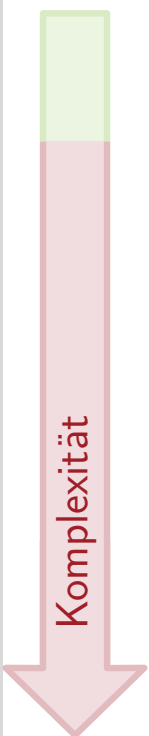
Algorithmen

DTP

X

Komplexität

Überblick über MTSF Ergebnisse

Graphenstruktur	Komplexität	Algorithmen
<p>Penrose-Minoren-freie Graphen Serienparallele Graphen Kakteen mit Maximalgrad 3</p> <p>ein Erzeuger, ein Verbraucher beliebige Erzeuger, beliebige Verbraucher</p> 	<p>Polynomialzeit lösbar NP-schwer</p> <p>NP-schwer [Lehmann et al., 2014]</p>	<p>DTP X</p> <p>2-approx.</p>
<p>Komplexität</p> 		

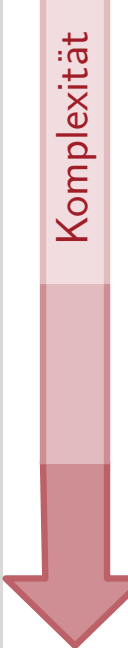
Überblick über MTSF Ergebnisse

Graphenstruktur	Komplexität	Algorithmen
Penrose-Minoren-freie Graphen Serienparallele Graphen	Polynomialzeit lösbar NP-schwer	DTP X
Kakteen mit Maximalgrad 3	NP-schwer <small>[Lehmann et al., 2014]</small>	2-approx. X
2-Level-Bäume	NP-schwer <small>[Lehmann et al., 2014]</small>	

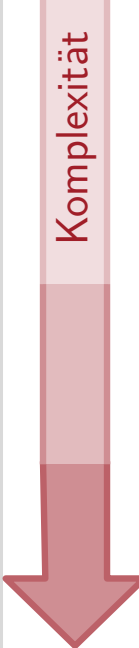
Überblick über MTSF Ergebnisse

Graphenstruktur	Komplexität	Algorithmen
Penrose-Minoren-freie Graphen Serienparallele Graphen	Polynomialzeit lösbar NP-schwer	DTP X
Kakteen mit Maximalgrad 3	NP-schwer <small>[Lehmann et al., 2014]</small>	2-approx. X
2-Level-Bäume	NP-schwer <small>[Lehmann et al., 2014]</small>	X
Planar Graphen mit Maximalgrad 3	stark NP-schwer <small>[Lehmann et al., 2014]</small>	X

Überblick über MTSF Ergebnisse

	Graphenstruktur	Komplexität	Algorithmen
Komplexität 	Penrose-Minoren-freie Graphen Serienparallele Graphen	Polynomialzeit lösbar NP-schwer	DTP X
	Kakteen mit Maximalgrad 3	NP-schwer <small>[Lehmann et al., 2014]</small>	2-approx. X
	2-Level-Bäume	NP-schwer <small>[Lehmann et al., 2014]</small>	X
	Planar Graphen mit Maximalgrad 3	stark NP-schwer <small>[Lehmann et al., 2014]</small>	X
	Beliebige Graphen $ V_G = 2, V_D = 2$	nicht-APX <small>[Lehmann et al., 2014]</small>	X

Überblick über MTSF Ergebnisse

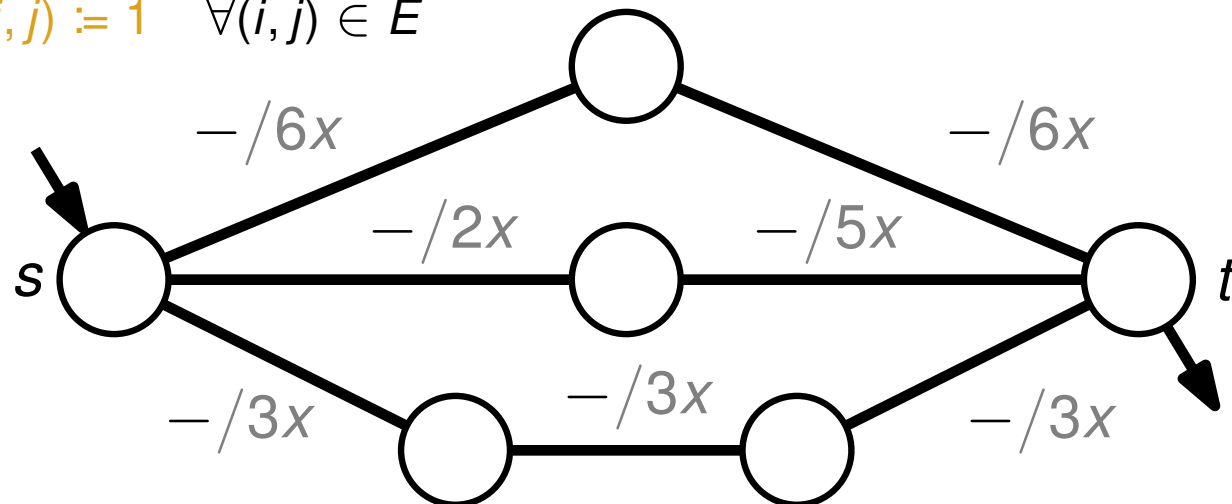
	Graphenstruktur	Komplexität	Algorithmen
Komplexität 	Penrose-Minoren-freie Graphen Serienparallele Graphen	Polynomialzeit lösbar	DTP 
	Kakteen mit Maximalgrad 3	NP-schwer	
	2-Level-Bäume	NP-schwer [Lehmann et al., 2014]	2-approx. 
	Planare Graphen mit Maximalgrad 3	NP-schwer [Lehmann et al., 2014]	
	Beliebige Graphen $ V_G = 2, V_D = 2$	stark NP-schwer [Lehmann et al., 2014]	
		nicht-APX [Lehmann et al., 2014]	

Überblick über MTSF Ergebnisse

	Graphenstruktur	Komplexität	Algorithmen
Komplexität $ V_G = 2, V_D = 2$	Penrose-Minoren-freie Graphen	Polynomialzeit lösbar	DTP
	Serienparallele Graphen	NP-schwer	
	Kakteen mit Maximalgrad 3	NP-schwer [Lehmann et al., 2014]	2-approx.
	2-Level-Bäume	NP-schwer [Lehmann et al., 2014]	
	Planare Graphen mit Maximalgrad 3	stark NP-schwer [Lehmann et al., 2014]	
	Beliebige Graphen	nicht-APX [Lehmann et al., 2014]	

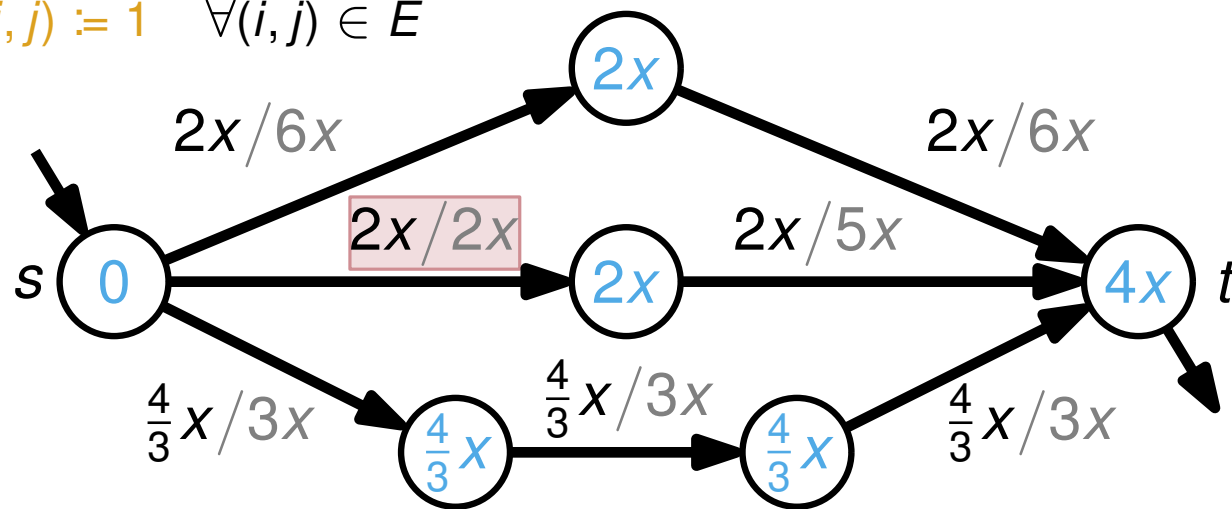
Schalten auf parallelen Pfaden

$$b(i, j) := 1 \quad \forall (i, j) \in E$$



Schalten auf parallelen Pfaden

$$b(i, j) := 1 \quad \forall (i, j) \in E$$



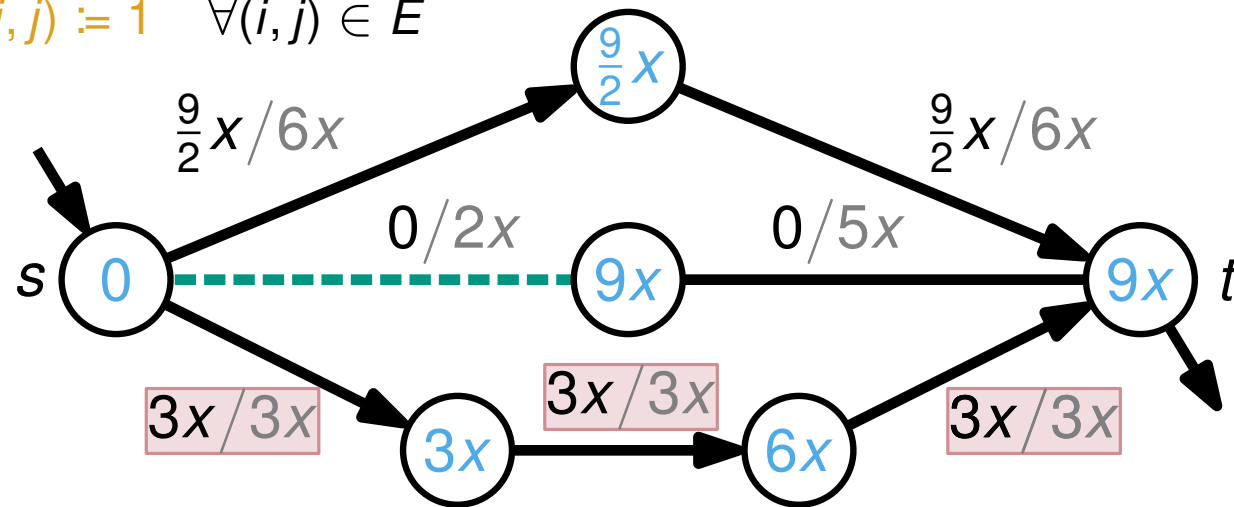
$$F = \frac{16}{3}x \approx 5.33x$$

$$\Delta\theta^v(\pi) := \underbrace{\|\pi\|_b}_{\text{elektrische Distanz}} \cdot \min_{e \in \pi} \text{cap}(e)$$

$$\Delta\theta^v(\pi_2) = 2 \cdot 2x = 4x$$

Schalten auf parallelen Pfaden

$$b(i, j) := 1 \quad \forall (i, j) \in E$$



$$F = \frac{15}{2}x = 7.5x$$

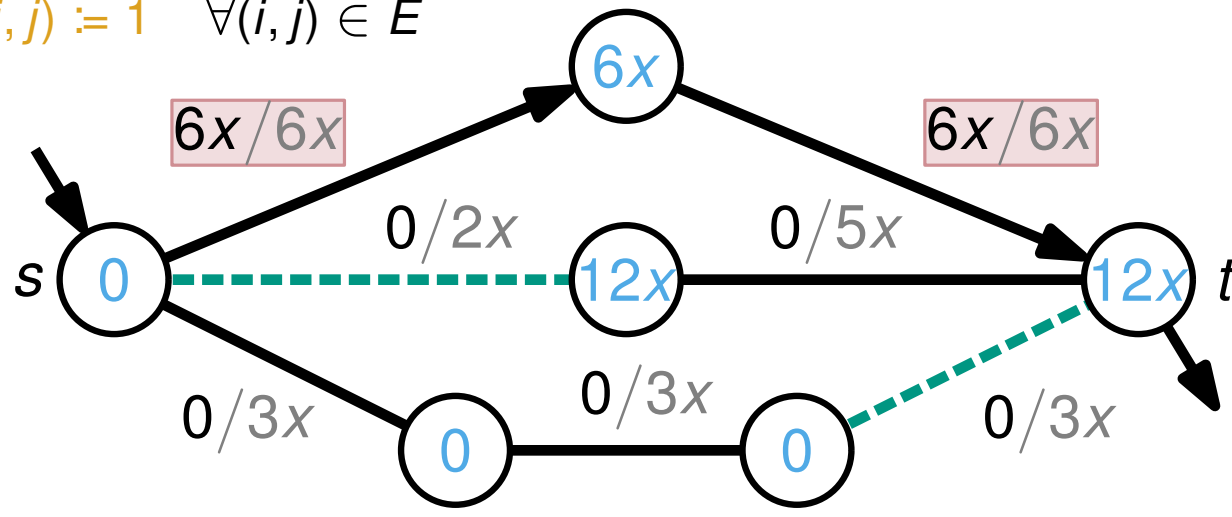
$$\Delta\theta^v(\pi) := \underbrace{\|\pi\|_b}_{\text{elektrische Distanz}} \cdot \min_{e \in \pi} \text{cap}(e)$$

$$\Delta\theta^v(\pi_2) = 2 \cdot 2x = 4x$$

$$\Delta\theta^v(\pi_3) = 3 \cdot 3x = 9x$$

Schalten auf parallelen Pfaden

$$b(i, j) := 1 \quad \forall (i, j) \in E$$



$$F = 6x$$

$$\Delta\theta^v(\pi) := \underbrace{\|\pi\|_b}_{\text{elektrische Distanz}} \cdot \min_{e \in \pi} \text{cap}(e)$$

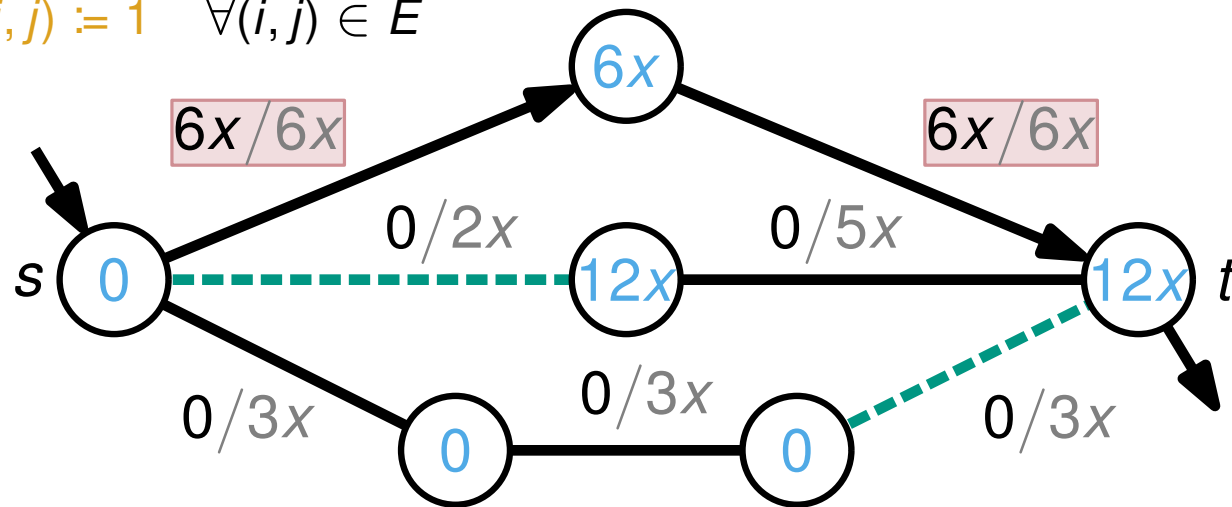
$$\Delta\theta^v(\pi_1) = 2 \cdot 6x = 12x$$

$$\Delta\theta^v(\pi_2) = 2 \cdot 2x = 4x$$

$$\Delta\theta^v(\pi_3) = 3 \cdot 3x = 9x$$

Schalten auf parallelen Pfaden

$$b(i, j) := 1 \quad \forall (i, j) \in E$$



$$F = 6x$$

$$\Delta\theta^v(\pi) := \underbrace{\|\pi\|_b}_{\text{elektrische Distanz}} \cdot \min_{e \in \pi} \text{cap}(e)$$

$$\Delta\theta^v(\pi_1) = 2 \cdot 6x = 12x$$

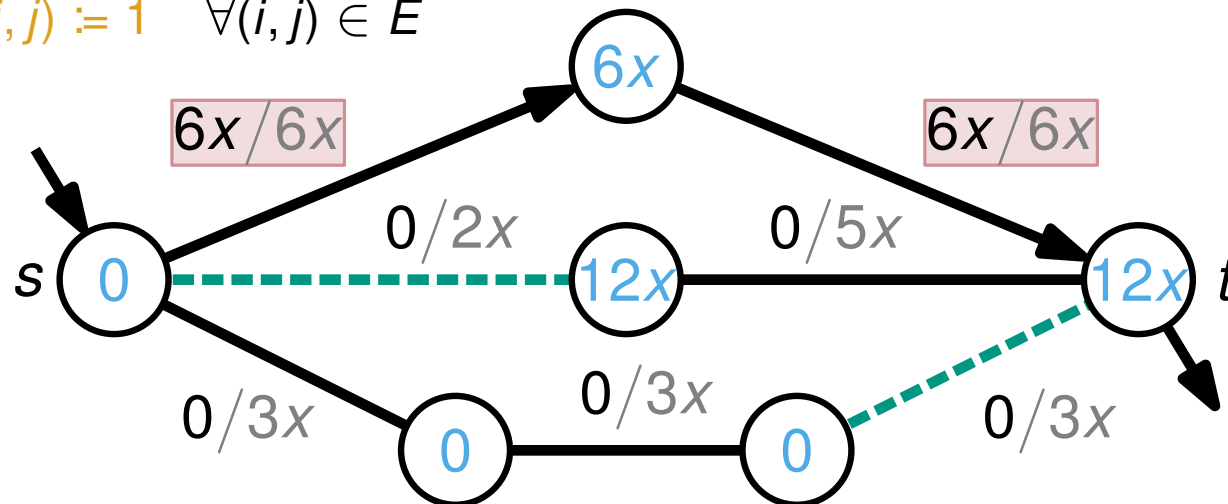
$$\Delta\theta^v(\pi_2) = 2 \cdot 2x = 4x$$

$$\Delta\theta^v(\pi_3) = 3 \cdot 3x = 9x$$

Auf parallelen Pfaden kann ein optimales Schalten in Polynomialzeit berechnet werden.

Schalten auf parallelen Pfaden

$$b(i, j) := 1 \quad \forall (i, j) \in E$$



$$F = 6x$$

$$\Delta\theta^v(\pi) := \underbrace{\|\pi\|_b}_{\text{elektrische Distanz}} \cdot \min_{e \in \pi} \text{cap}(e)$$

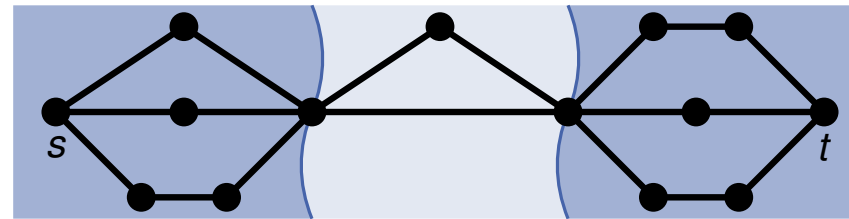
$$\Delta\theta^v(\pi_1) = 2 \cdot 6x = 12x$$

$$\Delta\theta^v(\pi_2) = 2 \cdot 2x = 4x$$

$$\Delta\theta^v(\pi_3) = 3 \cdot 3x = 9x$$

Auf parallelen Pfaden kann ein optimales Schalten in Polynomialzeit berechnet werden.

Das selbige gilt für Serienkompositionen von diesen Graphen.



Dominating Theta Path (DTP)

[Abschnitt 5; Grastien et al., 2018]

Gegeben seien $u, v \in V$ und ein u - v -Pfad π .

Suszeptanznorm:

$$\|\pi\|_b := \sum_{e \in E(\pi)} \frac{1}{b(e)}$$

Minimale Kapazität:

$$\underline{\text{cap}}(\pi) := \min\{\text{cap}(e) \mid e \in \pi\}$$

Dominating Theta Path (DTP)

[Abschnitt 5; Grastien et al., 2018]

Gegeben seien $u, v \in V$ und ein u - v -Pfad π .

Suszeptanznorm:

$$\|\pi\|_b := \sum_{e \in E(\pi)} \frac{1}{b(e)}$$

Minimale Kapazität:

$$\underline{\text{cap}}(\pi) := \min\{\text{cap}(e) \mid e \in \pi\}$$

Spannungswinkeldifferenz von π :

$$\Delta\theta^v(\pi) := \|\pi\|_b \cdot \underline{\text{cap}}(\pi)$$

Dominating Theta Path (DTP)

[Abschnitt 5; Grastien et al., 2018]

Gegeben seien $u, v \in V$ und ein u - v -Pfad π .

Suszeptanznorm:

$$\|\pi\|_b := \sum_{e \in E(\pi)} \frac{1}{b(e)}$$

Minimale Kapazität:

$$\underline{\text{cap}}(\pi) := \min\{\text{cap}(e) \mid e \in \pi\}$$

Spannungswinkeldifferenz von π :

$$\Delta\theta^v(\pi) := \|\pi\|_b \cdot \underline{\text{cap}}(\pi)$$

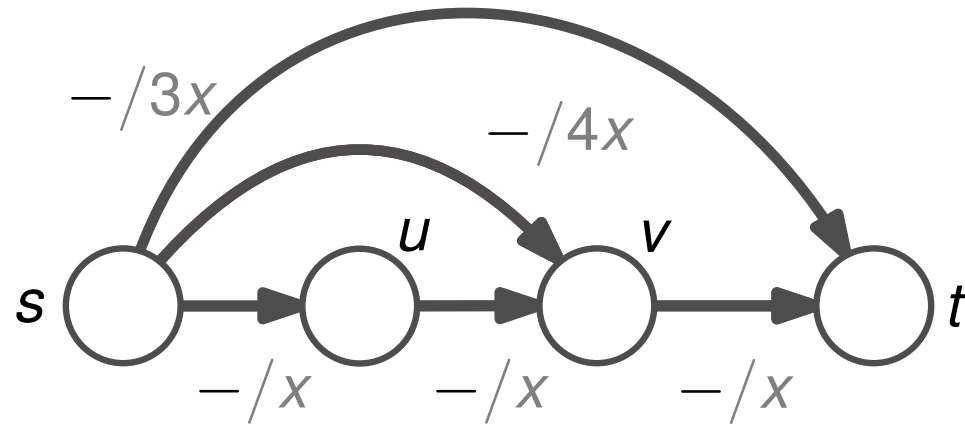
Dominating Theta Path (DTP):

$$\underline{\Delta\theta}^v(u, v) := \min\{\Delta\theta^v(\pi) \mid \pi \text{ ist ein } u\text{-}v\text{-Pfad}\}$$

Beschreibung:

- Bikriterieller Dijkstra mit Labeln ($\|\pi\|_b$, $\underline{\text{cap}}(\pi)$, V_i)
- maximal $|E|$ Label pro Knoten

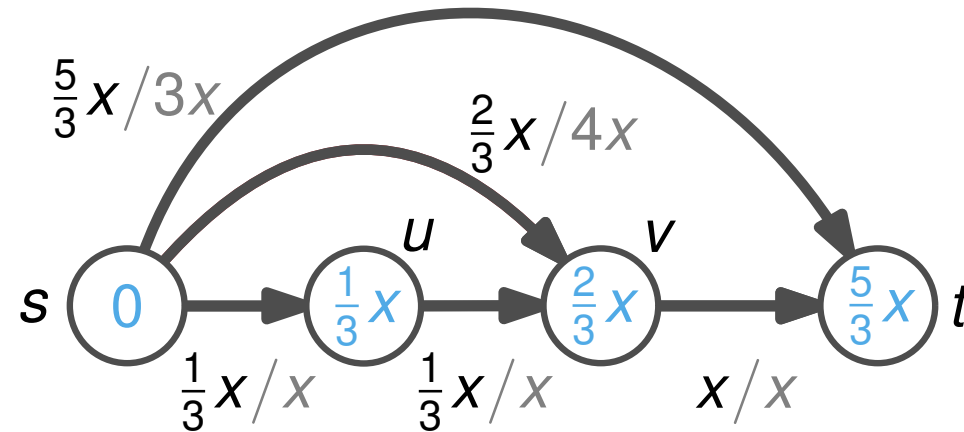
$$b(i, j) := 1 \quad \forall (i, j) \in E$$



Beschreibung:

- Bikriterieller Dijkstra mit Labeln ($\|\pi\|_b$, $\underline{\text{cap}}(\pi)$, V_i)
- maximal $|E|$ Label pro Knoten

$$b(i, j) := 1 \quad \forall (i, j) \in E$$

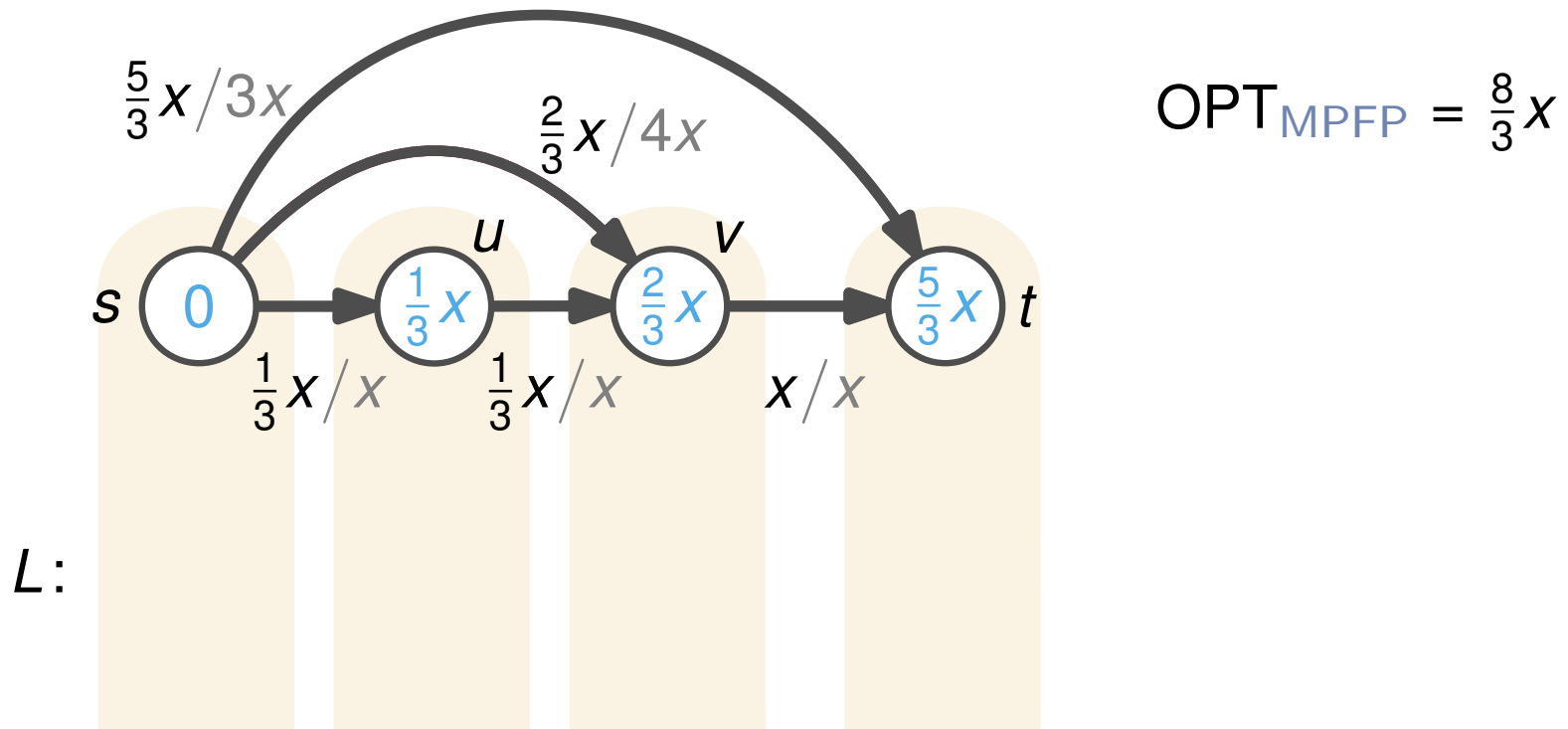


$$\text{OPT}_{\text{MPFP}} = \frac{8}{3}X$$

Beschreibung:

- Bikriterieller Dijkstra mit Labeln ($\|\pi\|_b$, $\underline{\text{cap}}(\pi)$, V_i)
- maximal $|E|$ Label pro Knoten

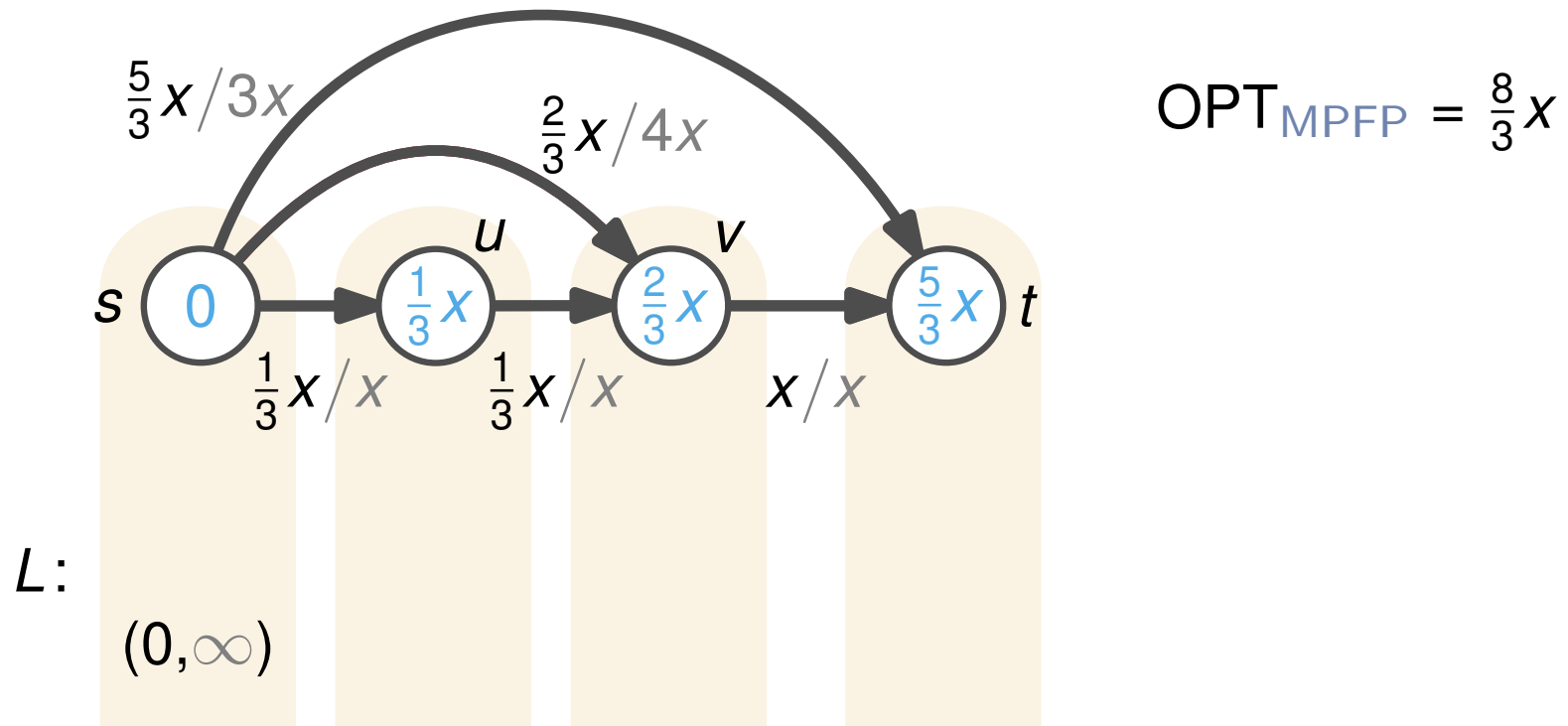
$$b(i, j) := 1 \quad \forall (i, j) \in E$$



Beschreibung:

- Bikriterieller Dijkstra mit Labeln ($\|\pi\|_b$, $\underline{\text{cap}}(\pi)$, V_i)
- maximal $|E|$ Label pro Knoten

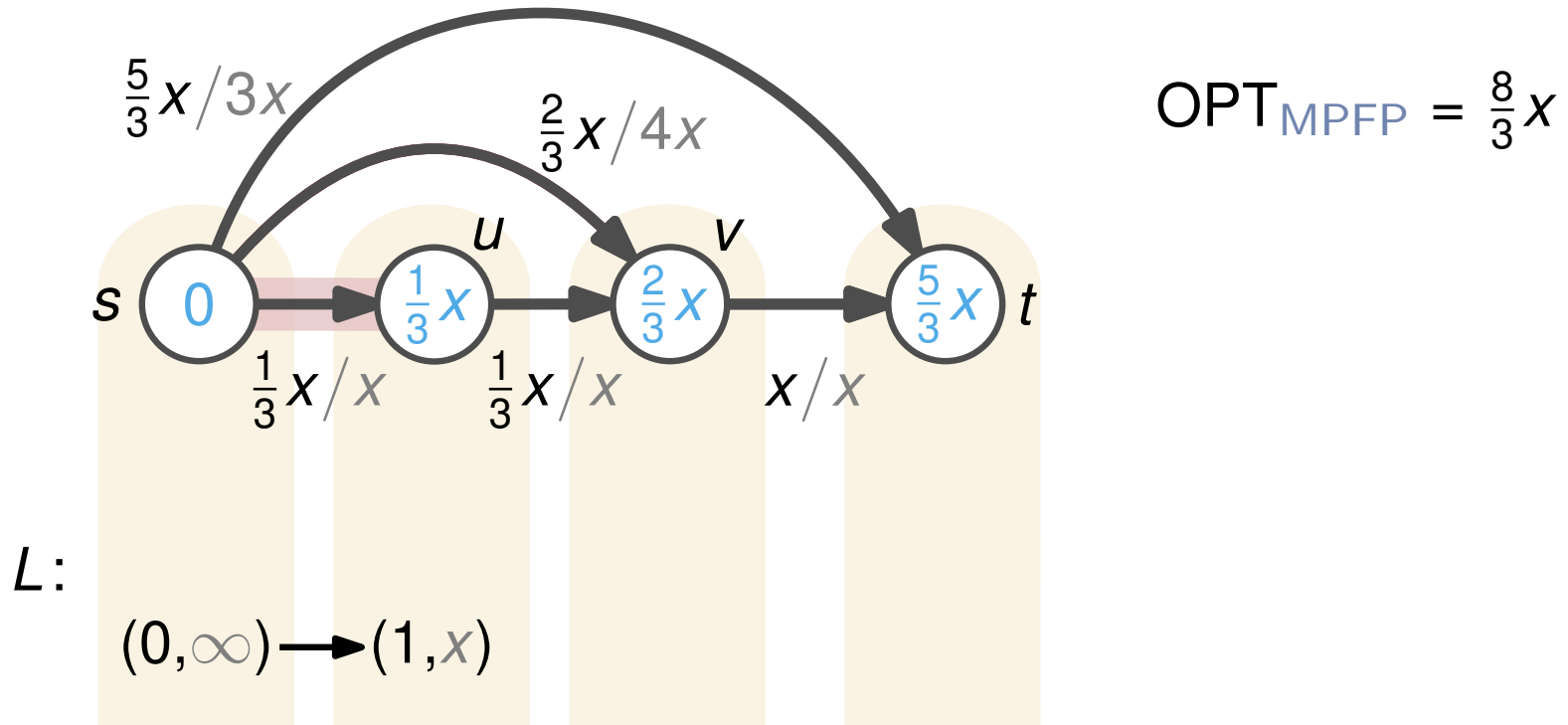
$$b(i, j) := 1 \quad \forall (i, j) \in E$$



Beschreibung:

- Bikriterieller Dijkstra mit Labeln ($\|\pi\|_b$, $\underline{\text{cap}}(\pi)$, V_i)
- maximal $|E|$ Label pro Knoten

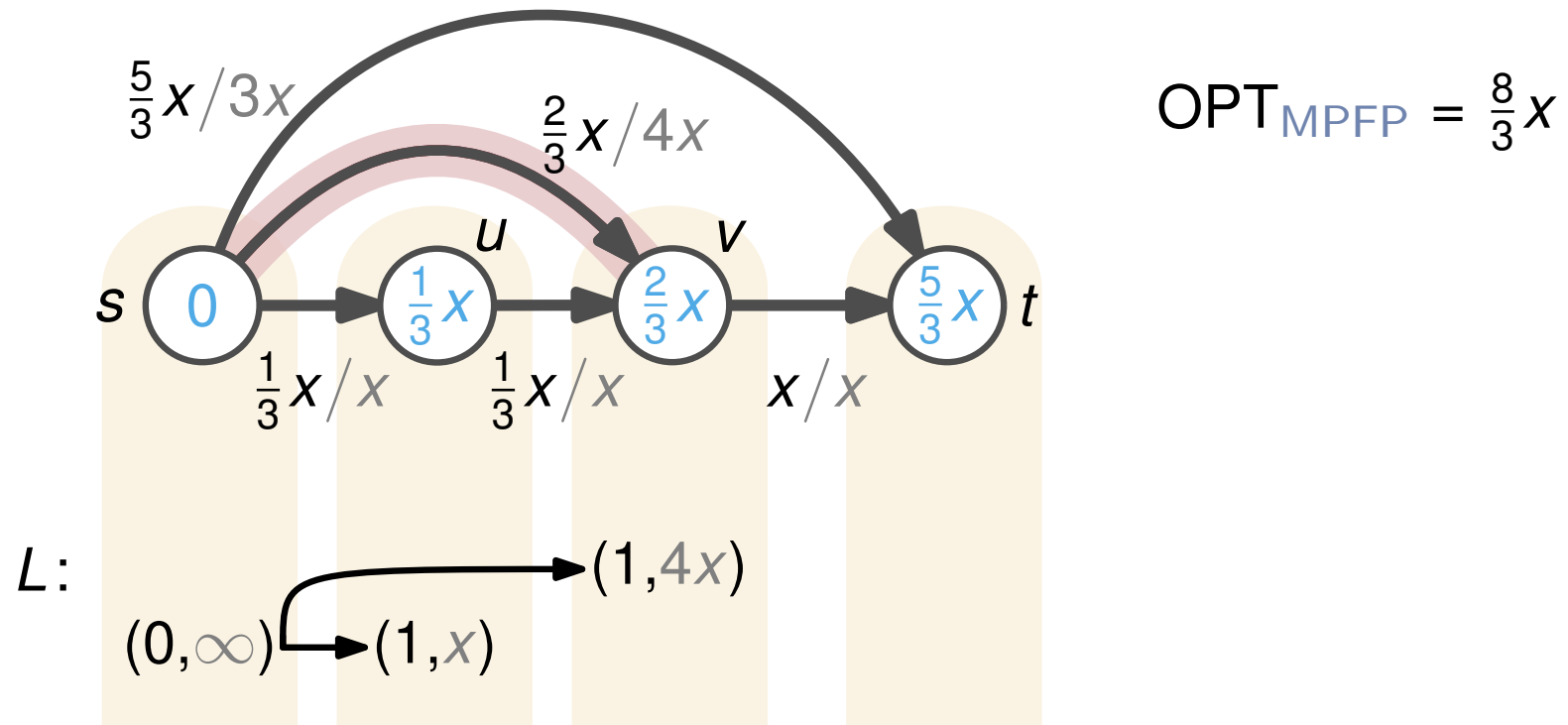
$$b(i, j) := 1 \quad \forall (i, j) \in E$$



Beschreibung:

- Bikriterieller Dijkstra mit Labeln ($\|\pi\|_b$, $\underline{\text{cap}}(\pi)$, V_i)
- maximal $|E|$ Label pro Knoten

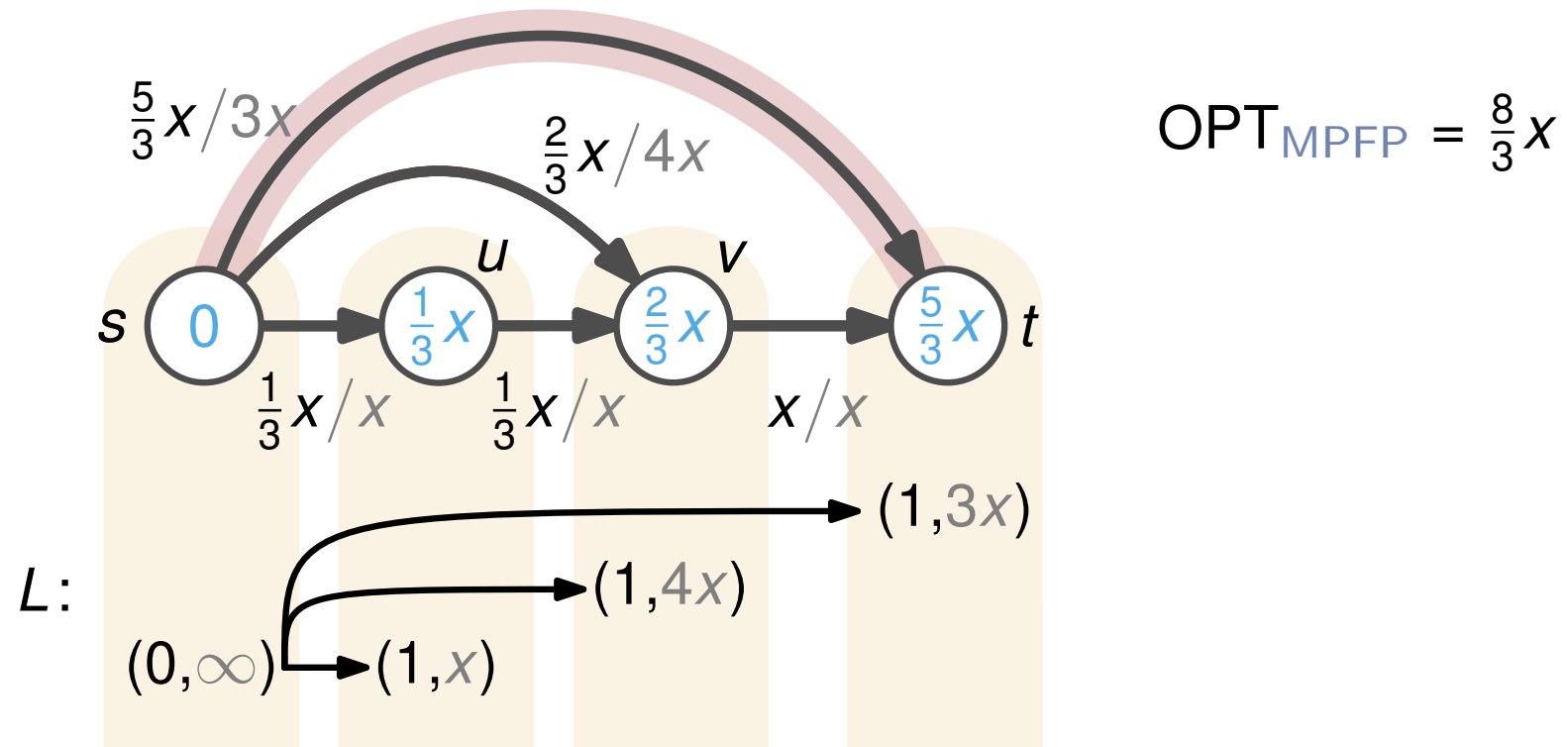
$$b(i, j) := 1 \quad \forall (i, j) \in E$$



Beschreibung:

- Bikriterieller Dijkstra mit Labeln ($\|\pi\|_b$, $\underline{\text{cap}}(\pi)$, V_i)
- maximal $|E|$ Label pro Knoten

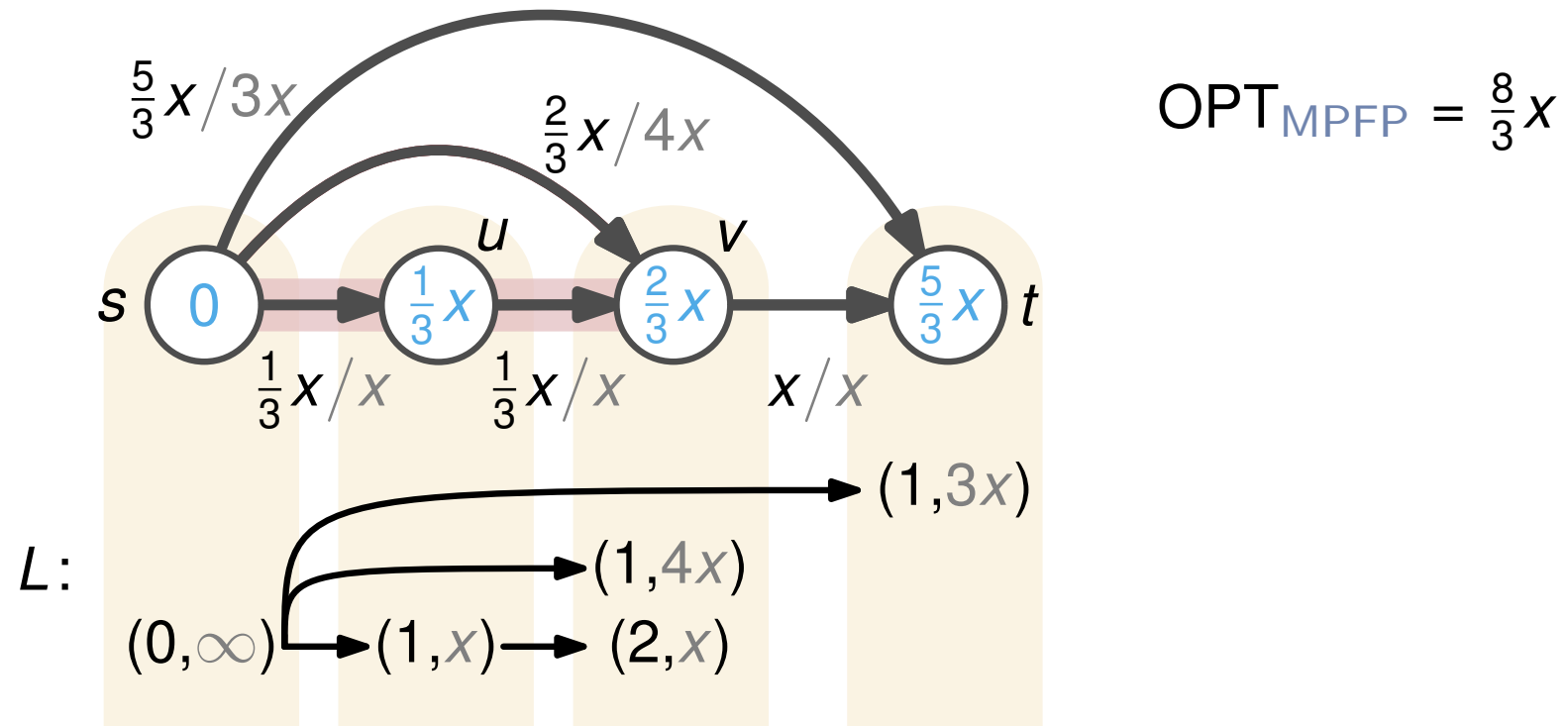
$$b(i, j) := 1 \quad \forall (i, j) \in E$$



Beschreibung:

- Bikriterieller Dijkstra mit Labeln ($\|\pi\|_b$, $\underline{\text{cap}}(\pi)$, V_i)
- maximal $|E|$ Label pro Knoten

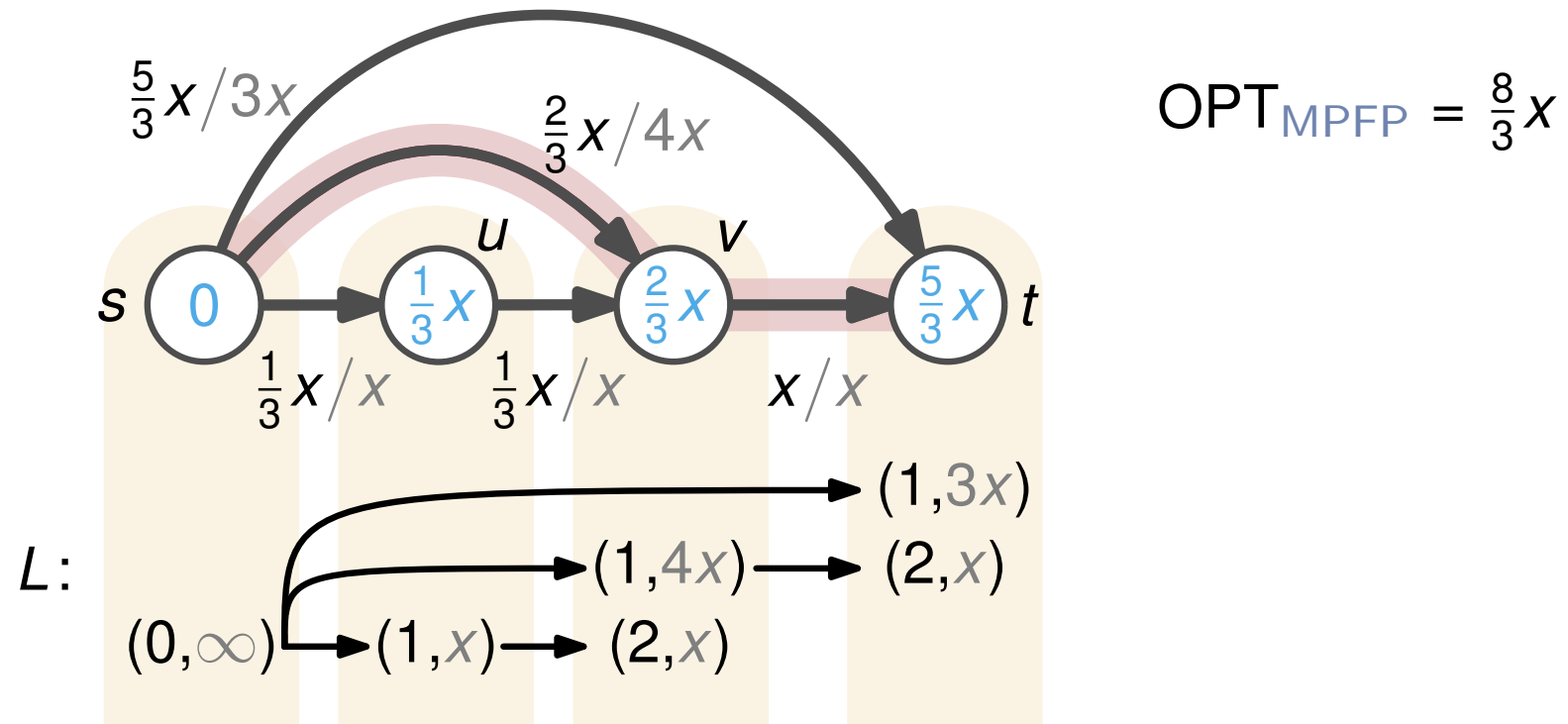
$$b(i, j) := 1 \quad \forall (i, j) \in E$$



Beschreibung:

- Bikriterieller Dijkstra mit Labeln ($\|\pi\|_b$, $\underline{\text{cap}}(\pi)$, V_i)
- maximal $|E|$ Label pro Knoten

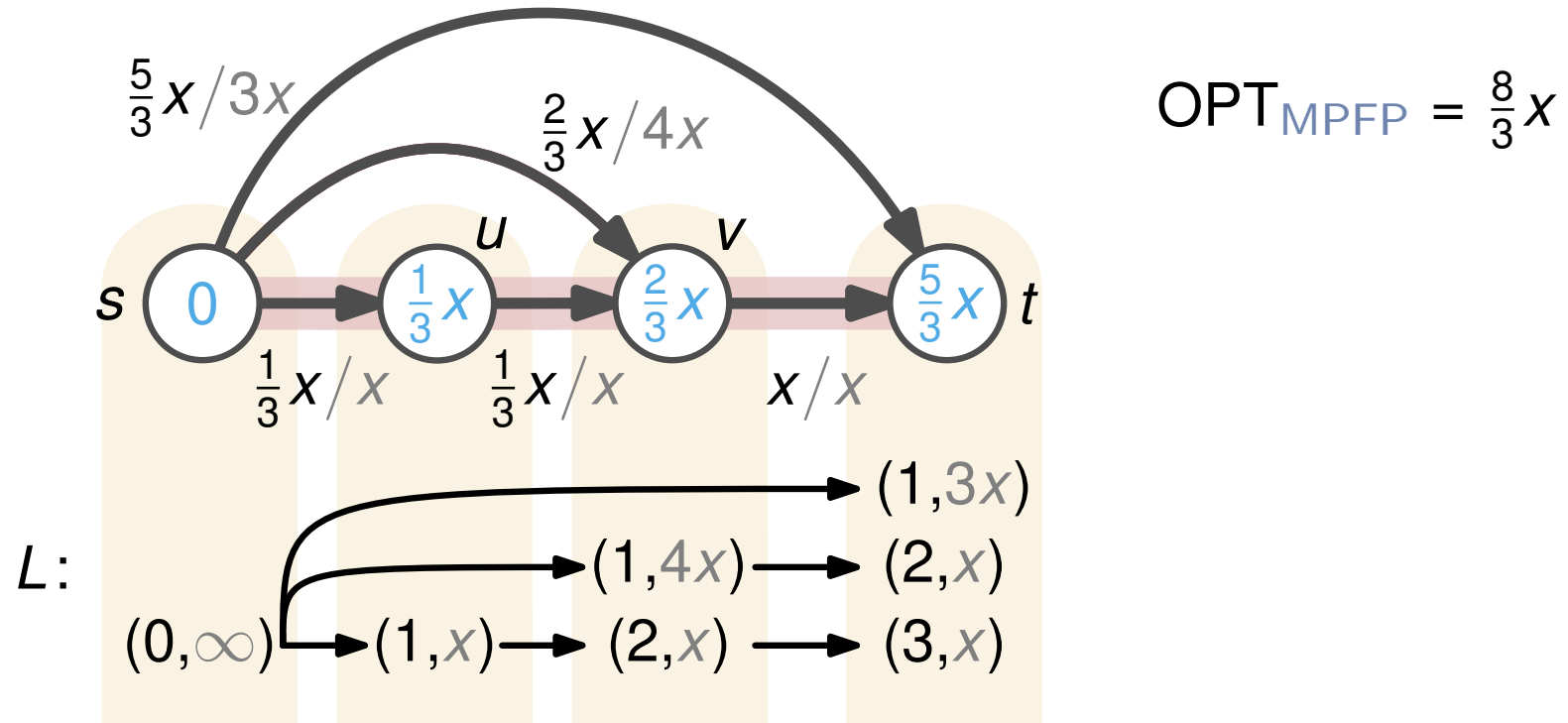
$$b(i, j) := 1 \quad \forall (i, j) \in E$$



Beschreibung:

- Bikriterieller Dijkstra mit Labeln ($\|\pi\|_b$, $\underline{\text{cap}}(\pi)$, V_i)
- maximal $|E|$ Label pro Knoten

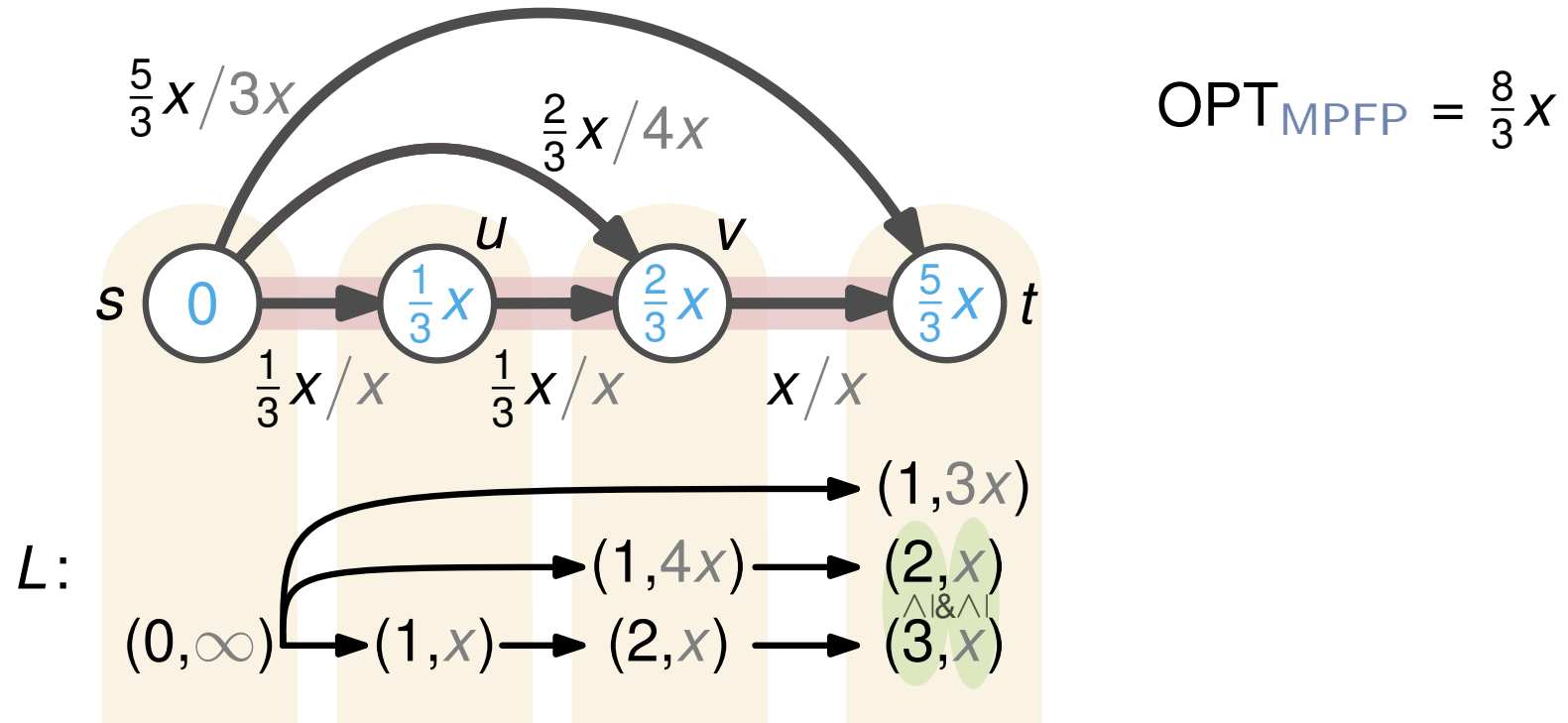
$$b(i, j) := 1 \quad \forall (i, j) \in E$$



Beschreibung:

- Bikriterieller Dijkstra mit Labeln ($\|\pi\|_b$, $\underline{\text{cap}}(\pi)$, V_i)
- maximal $|E|$ Label pro Knoten

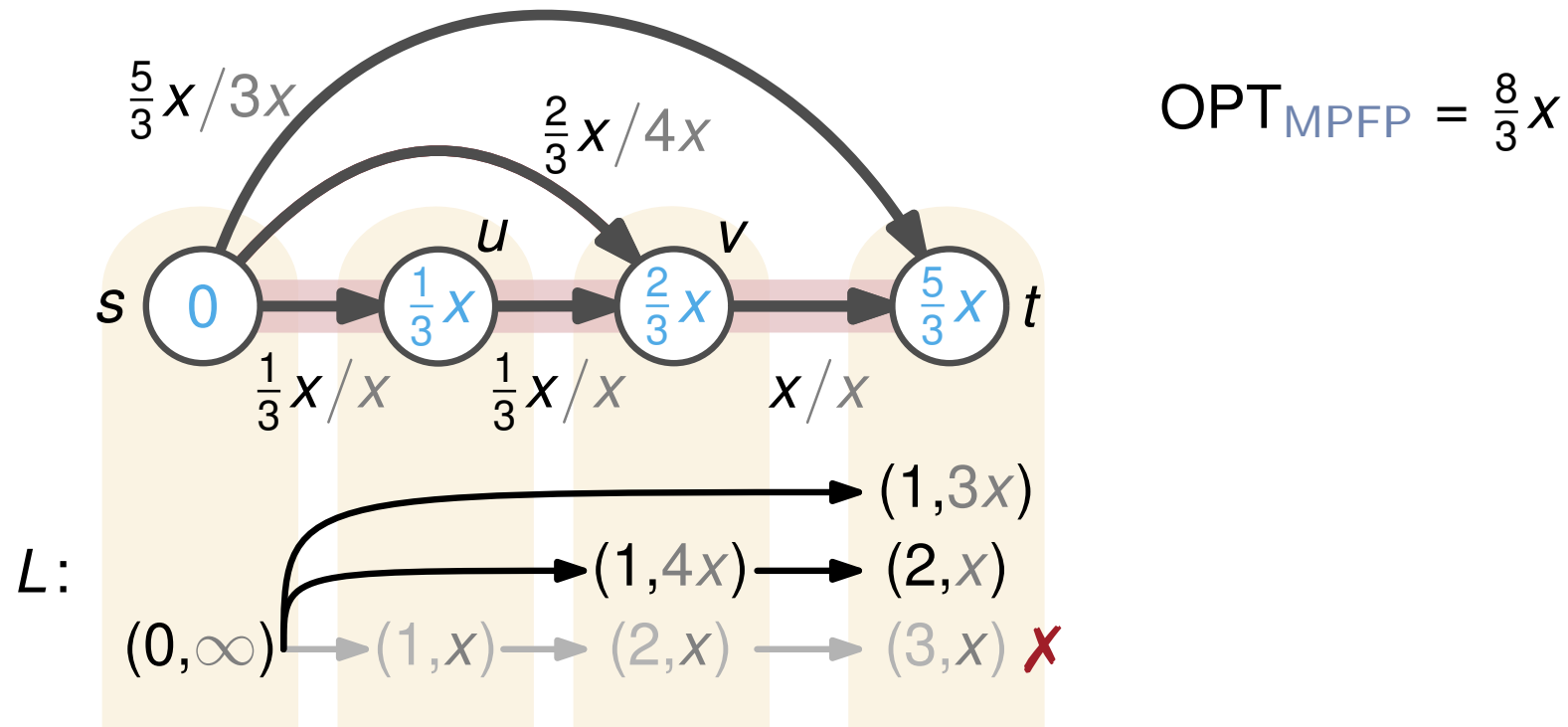
$$b(i, j) := 1 \quad \forall (i, j) \in E$$



Beschreibung:

- Bikriterieller Dijkstra mit Labeln ($\|\pi\|_b$, $\underline{\text{cap}}(\pi)$, V_i)
- maximal $|E|$ Label pro Knoten

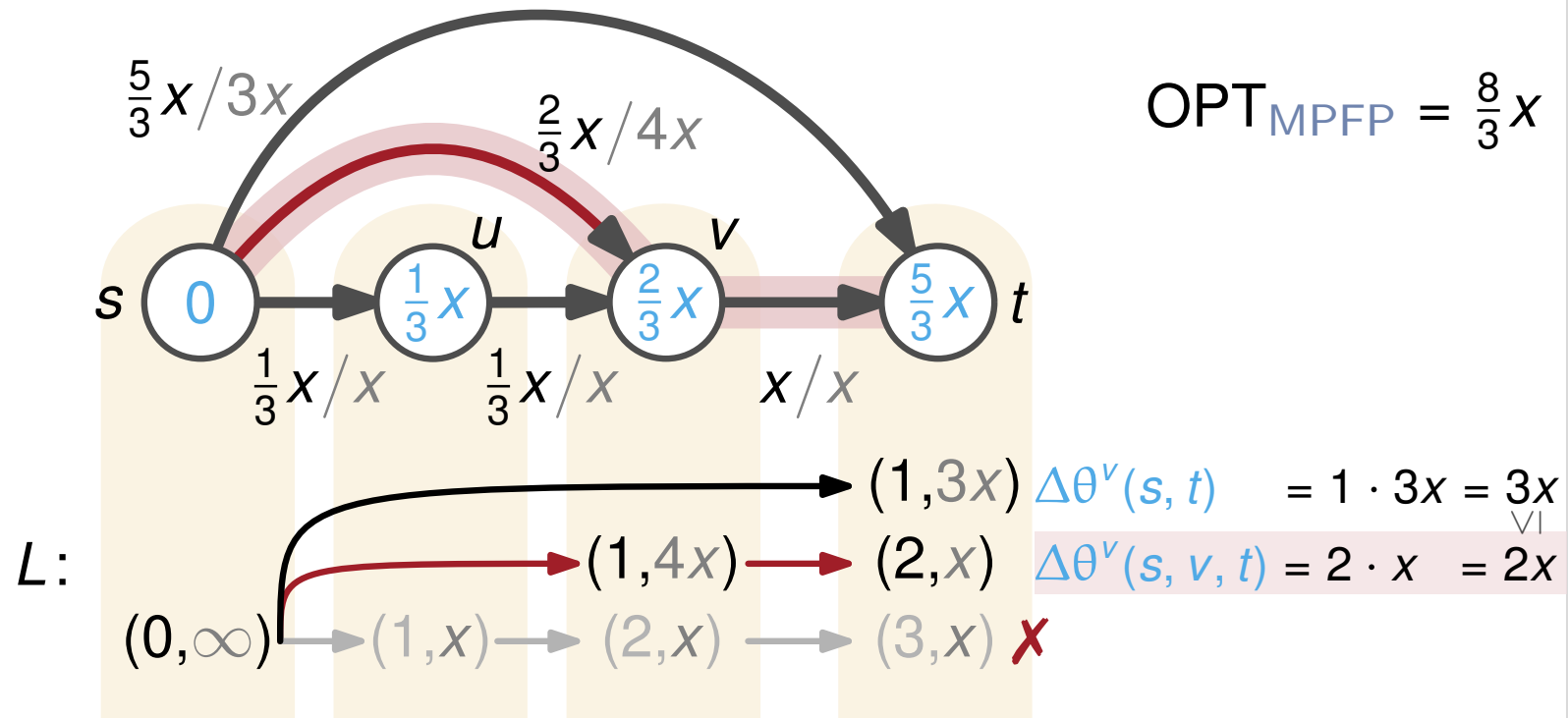
$$b(i, j) := 1 \quad \forall (i, j) \in E$$



Beschreibung:

- Bikriterieller Dijkstra mit Labeln ($\|\pi\|_b$, $\underline{\text{cap}}(\pi)$, V_i)
- maximal $|E|$ Label pro Knoten

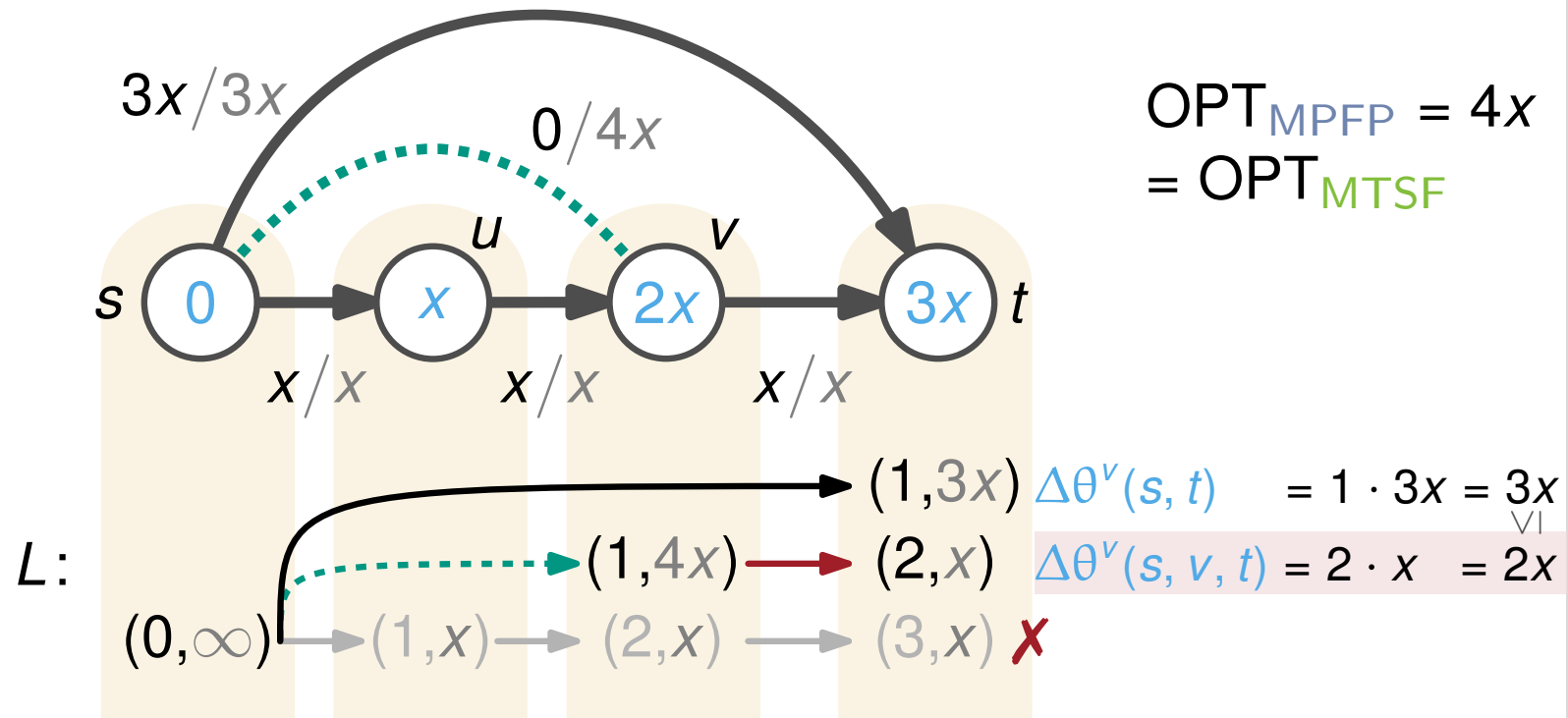
$$b(i, j) := 1 \quad \forall (i, j) \in E$$



Beschreibung:

- Bikriterieller Dijkstra mit Labeln ($\|\pi\|_b$, $\underline{\text{cap}}(\pi)$, V_i)
- maximal $|E|$ Label pro Knoten

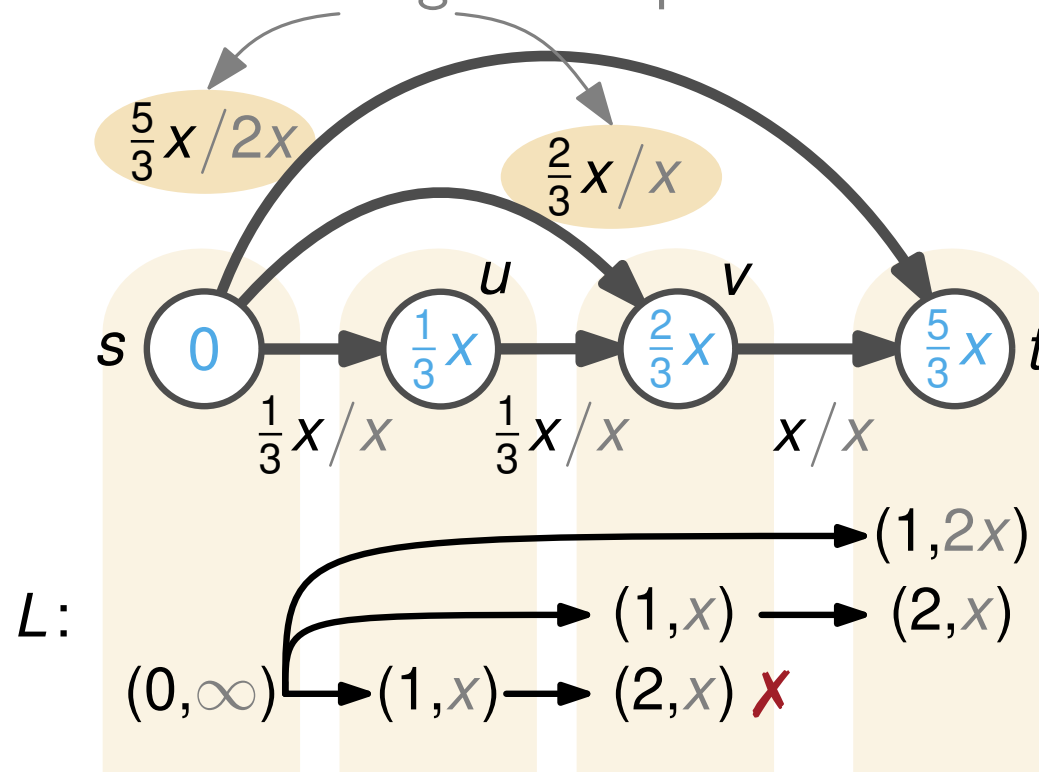
$$b(i, j) := 1 \quad \forall (i, j) \in E$$



Beschreibung:

- Bikriterieller Dijkstra mit Labeln ($\|\pi\|_b$, $\underline{\text{cap}}(\pi)$, V_i)
- maximal $|E|$ Label pro Knoten

$b(i,j) := 1 \quad \forall (i,j) \in E$ Veränderung der Kapazitäten



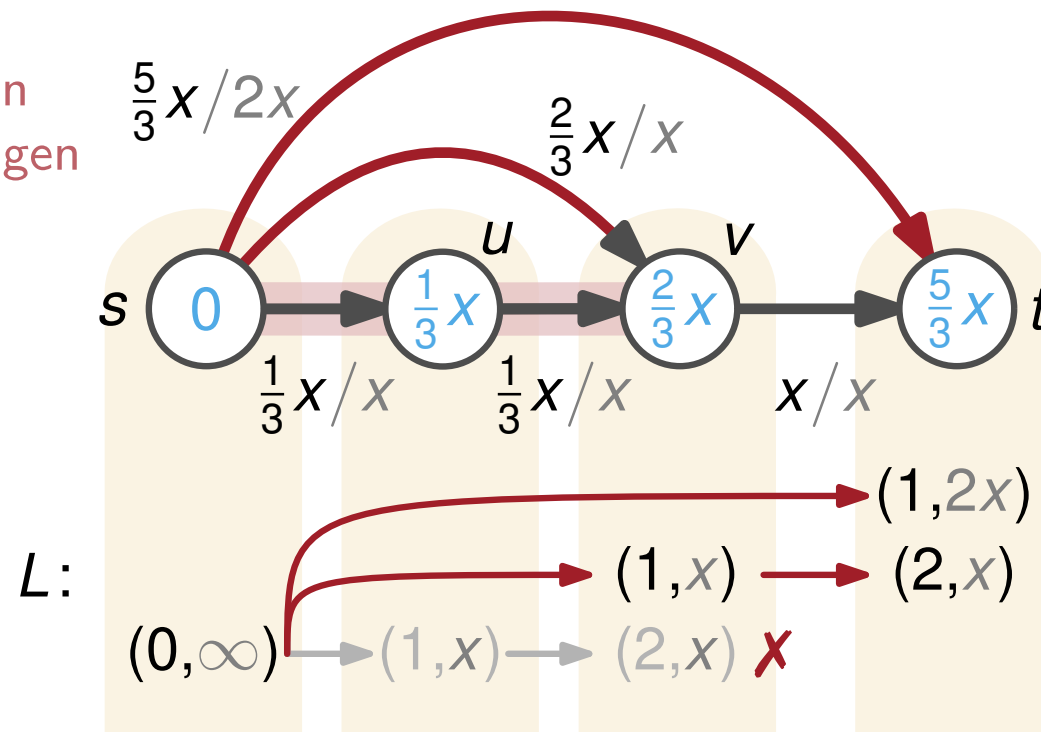
$$\text{OPT}_{\text{MPF}} = \frac{8}{3}x$$

Beschreibung:

- Bikriterieller Dijkstra mit Labeln ($\|\pi\|_b$, $\underline{\text{cap}}(\pi)$, V_i)
- maximal $|E|$ Label pro Knoten

$$b(i, j) := 1 \quad \forall (i, j) \in E$$

- DTPs von s müssen keinen Baum erzeugen



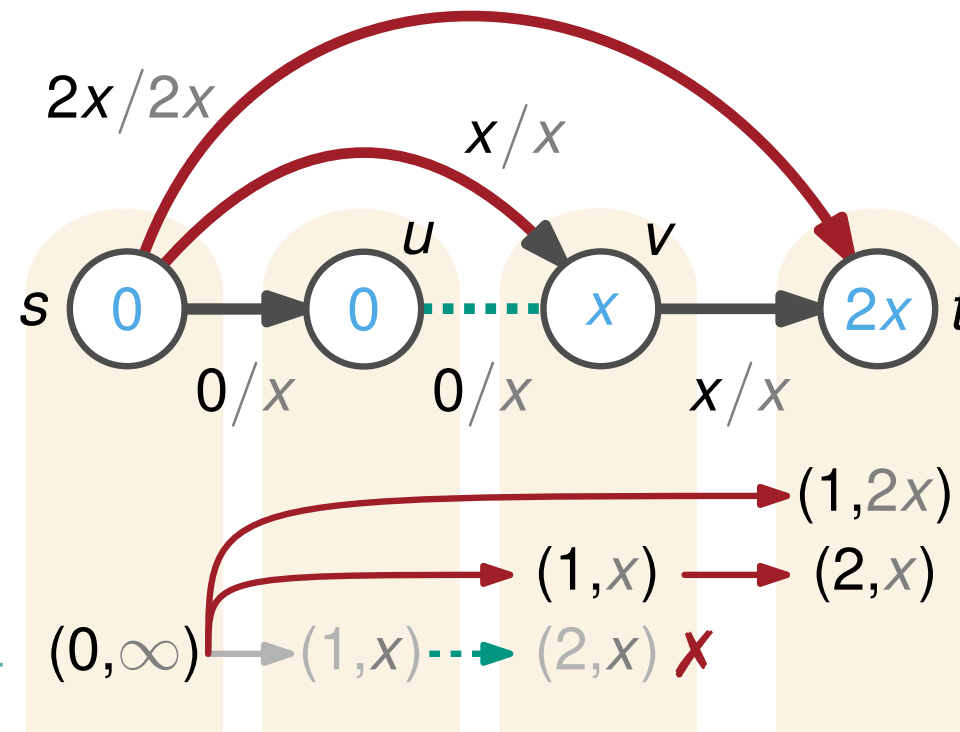
$$\text{OPT}_{\text{MPF}} = \frac{8}{3}x$$

Beschreibung:

- Bikriterieller Dijkstra mit Labeln ($\|\pi\|_b$, $\underline{\text{cap}}(\pi)$, V_i)
- maximal $|E|$ Label pro Knoten

$$b(i, j) := 1 \quad \forall (i, j) \in E$$

- DTPs von s müssen keinen Baum erzeugen
- Optimal platzierte Schalter müssen nicht auf dem DTP liegen, wenn die zugrundeliegende Struktur kein Penrose-Minoren-freier Graph ist



$$\text{OPT}_{\text{MPFP}} = 3x \\ = \text{OPT}_{\text{MTSFP}}$$

Laufzeitanalyse für den DTP Algorithmus

[S.345; Grastien et al., 2018]

Daten: Ein Netzwerk $\mathcal{N} = (G, V_G, V_D, \text{cap}, b)$.

Ergebnis: $\pi_{\text{DTP}}(s, t)$, $\Delta\theta^V(s, t)$, und $D(v)$ mit $v \in V$.

1	$D(u) \coloneqq L(u) \coloneqq \emptyset; \forall u \in V;$	\triangleright Initialisierung	$\mathcal{O}(V)$
2	$Q \coloneqq \emptyset;$		
3	$L(s) \coloneqq \{(0, \infty)\}$	\triangleright Spezielles Label für die Quelle s	
4	$Q.\text{insert}((0, \infty), s, \text{key}((0, \infty)))$;		
5	while $Q \neq \emptyset$ do	\triangleright Besuche alle Knoten	$ V \cdot E $
6	$(\ell, u, \text{key}) \coloneqq Q.\text{deleteMin}();$		$ V \cdot E \cdot \mathcal{O}(\log V)$
7	$D(u) \coloneqq D(u) \cup \{\ell\}$;		
8	for $\forall \{u, v\} \in \overleftrightarrow{E}$ do	\triangleright Überprüfe adjazente Knoten	$ E ^2$
9	$\underline{\text{cap}}(\pi(s, u, v)) \coloneqq \min(\ell[1], \text{cap}(u, v));$		$ E ^2 \cdot \mathcal{O}(1)$
10	$\ell_{\text{new}}(v) \coloneqq \left(\ell[0] + \frac{1}{b(u, v)}, \underline{\text{cap}}(\pi(s, u, v))\right);$		$ E ^2 \cdot \mathcal{O}(1)$
11	If $\text{isReachable}(V \setminus \{v\}, \ell, s)$ then		$ E ^2 \cdot \mathcal{O}(2^{ V } V \cdot E)$
12	If $\ell_{\text{new}}(v) \in L(v)$ then		$ E ^2 \cdot \mathcal{O}(1)$
13	$\text{parent}(\ell_{\text{new}}(v)) \coloneqq \text{parent}(\ell_{\text{new}}(v)) \cup \{\ell\};$		
14	else if $\ell_{\text{new}}(v)$ dominates ℓ then		
15	$L(v).\text{deleteDominatedLabels}(\ell_{\text{new}}(v));$		$ E ^2 \cdot \mathcal{O}(E)$
16	$Q.\text{deleteDominatedLabels}(\ell_{\text{new}}(v), v);$		$ E ^2 \cdot \mathcal{O}(E)$
17	$L(v).\text{insert}(\ell_{\text{new}}(v));$		$ E ^2 \cdot \mathcal{O}(1)$
18	$Q.\text{insert}(\ell_{\text{new}}(v), v, \text{key}(\ell_{\text{new}}(v)))$;		$ E ^2 \cdot \mathcal{O}(1)$
19	$\text{parent}(\ell_{\text{new}}(v)) \coloneqq \{\ell\};$		$ E ^2 \cdot \mathcal{O}(1)$
20		\rightarrow iteriere über alle Label im Beutel, $ E $ Tests pro Beutel	
21			
22		Fibonacci-heap Q	
23		insert $\mathcal{O}(1)$	
24	return $\left(\begin{array}{l} \pi_{\text{DTP}}(s, t) \coloneqq \text{getPaths}(s, t), \triangleright \text{Baue Pfad von den Eltern} \\ \underline{\Delta\theta^V}(s, t) \coloneqq \min_{\ell \in D(t)} \{\ell[0] \cdot \ell[1]\}, \\ D(\cdot) \end{array} \right)$	decreaseKey $\mathcal{O}(1)$	<i>amortized</i>
		delMin $\mathcal{O}(\log V)$	<i>amortized</i>

Jeder Knoten besitzt maximal $|E|$ Label
 $\sum_{v \in V} \deg(v) = 2|E|$

Laufzeitanalyse für den DTP Algorithmus

Daten: Ein Netzwerk $\mathcal{N} = (G, V_G, V_D, \text{cap}, b)$.

Ergebnis: $\pi_{\text{DTP}}(s, t)$, $\Delta\theta^V(s, t)$, und $D(v)$ mit $v \in V$.

```

1  $D(u) := L(u) := \emptyset; \forall u \in V;$                                 ▷ Initialisierung
2  $Q := \emptyset;$ 
3  $L(s) := \{(0, \infty)\}$                                               ▷ Spezielles Label für die Quelle s
4  $Q.\text{insert}((0, \infty), s, \text{key}((0, \infty)))$ ;
5 while  $Q \neq \emptyset$  do
6    $(\ell, u, \text{key}) := Q.\text{deleteMin}();$                                ▷ Besuche alle Knoten
7    $D(u) := D(u) \cup \{\ell\};$ 
8 bei  $\forall \{u, v\} \in \overleftrightarrow{E}$  do                                         ▷ Überprüfe adjazente Knoten

```

$$\left. \begin{array}{l} \\ \\ \\ \\ \\ \\ \end{array} \right\} \mathcal{O}(|V|)$$

$$\left. \begin{array}{l} |V| \cdot |E| \\ |V| \cdot |E| \cdot \mathcal{O}(\log |V|) \end{array} \right.$$

$$|E|^2$$

Auf allgemeinen Graphen läuft der DTP Algorithmus in $\mathcal{O}(2^{|V|}|V| \cdot |E|^3)$ Zeit.

```

12 Königsberg-Brücken-Problem
13  $\sum_{v \in V} \deg(v) = 2$ 
14 for  $\ell_{\text{new}}(v) \in L(v)$  do                                         If  $\ell_{\text{new}}(v) \in L(v)$  then
15    $\text{parent}(\ell_{\text{new}}(v)) := \text{parent}(\ell_{\text{new}}(v)) \cup \{\ell\};$            $|E|^2 \cdot \mathcal{O}(1)$ 
16   else if not  $L(v)$  dominates  $\ell_{\text{new}}(v)$  then
17      $L(v).\text{deleteDominatedLabels}(\ell_{\text{new}}(v));$                        $|E|^2 \cdot \mathcal{O}(|E|)$ 
18      $Q.\text{deleteDominatedLabels}(\ell_{\text{new}}(v), v);$                        $|E|^2 \cdot \mathcal{O}(|E|)$ 
19      $L(v).\text{insert}(\ell_{\text{new}}(v));$                                           $|E|^2 \cdot \mathcal{O}(1)$ 
20      $Q.\text{insert}(\ell_{\text{new}}(v), v, \text{key}(\ell_{\text{new}}(v)));$                    $|E|^2 \cdot \mathcal{O}(1)$ 
21      $\text{parent}(\ell_{\text{new}}(v)) := \{\ell\};$                                           $|E|^2 \cdot \mathcal{O}(1)$ 
22 end                                                               iteriere über alle Label im Beutel,  $|E|$  Tests pro Beutel
23 end                                                               Fibonacci-heap  $Q$ 
24 return  $\left( \begin{array}{l} \pi_{\text{DTP}}(s, t) := \text{getPaths}(s, t), \triangleright \text{Baue Pfad von den Eltern} \\ \Delta\theta^V(s, t) := \min_{\ell \in D(t)} \{\ell[0] \cdot \ell[1]\}, \\ D(\cdot) \end{array} \right)$ 

```

$\mathcal{O}(1)$	$\mathcal{O}(1)$	$\mathcal{O}(1)$
$\mathcal{O}(1)$	$\mathcal{O}(1)$	$\mathcal{O}(\log V)$
$\mathcal{O}(1)$	$\mathcal{O}(1)$	<i>amortized</i>

Laufzeitanalyse für den DTP Algorithmus



Daten: Ein Netzwerk $\mathcal{N} = (G, V_G, V_D, \text{cap}, b)$.

Ergebnis: $\pi_{\text{DTP}}(s, t)$, $\Delta\theta^v(s, t)$, und $D(v)$ mit $v \in V$.

$1 \ D(u) \models L(u) \models \emptyset; \forall u \in V;$

$$2 \mid Q \coloneqq \emptyset;$$

$$3 \ L(s) \ := \ \{(0, \infty)\}$$

```
4 Q.insert((0, infinity), s, key((0, infinity)));
```

5 while $Q \neq \emptyset$ do

$(\ell, u, \text{key}) \leftarrow Q.\text{deleteMin}();$

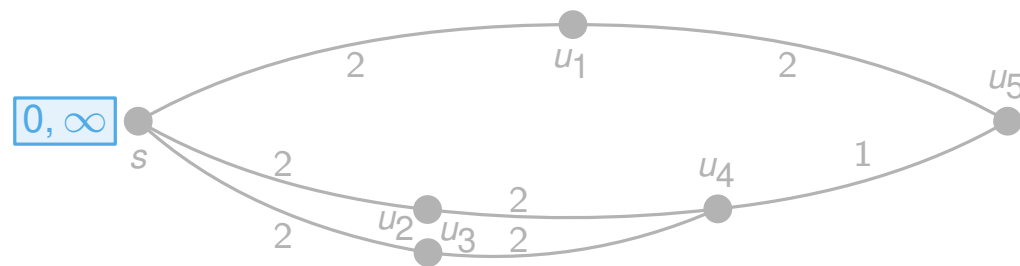
$$7 \qquad \qquad D(u) \coloneqq D(u) \cup \{\ell\};$$

$$\mathcal{O}(|V|)$$

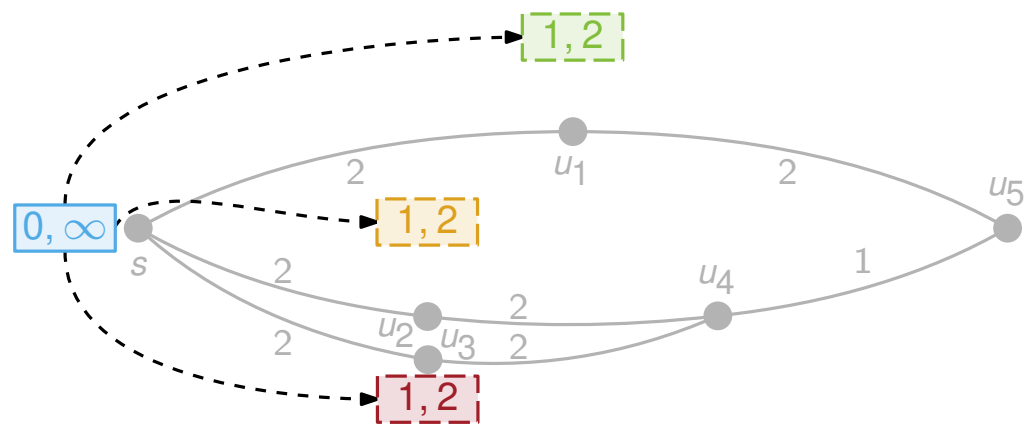
Auf allgemeinen Graphen existiert ein **DTP** Algorithmus, der in Polynomialzeit läuft und einen **DTP** zwischen jedem Paar von Knoten u und v berechnet.

$ E ^2 \cdot \mathcal{O}(1)$
$ E ^2 \cdot \mathcal{O}(E)$
$ E ^2 \cdot \mathcal{O}(E)$
$ E ^2 \cdot \mathcal{O}(1)$
$ E ^2 \cdot \mathcal{O}(1)$
$ E ^2 \cdot \mathcal{O}(1)$

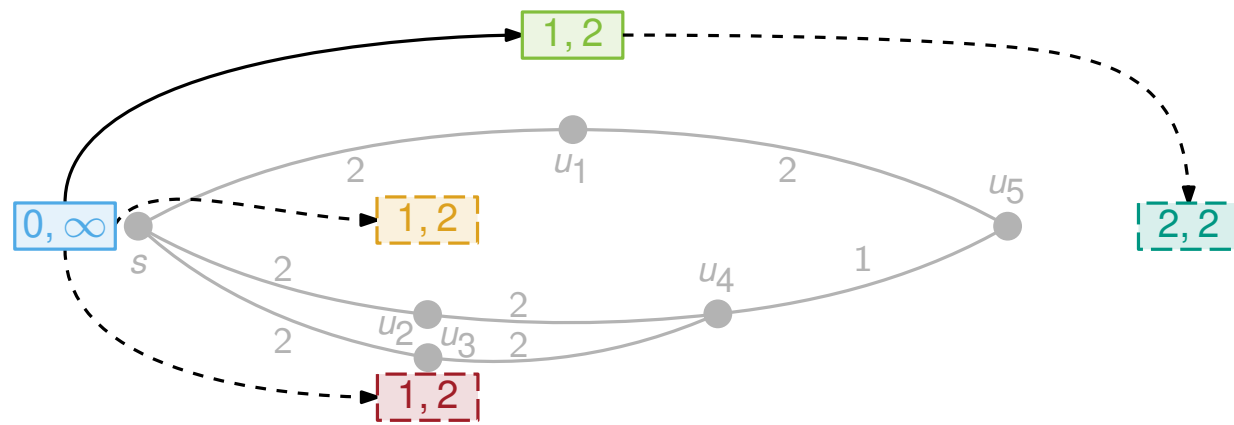
isReachable [S.354; Grastien et al., 2018]



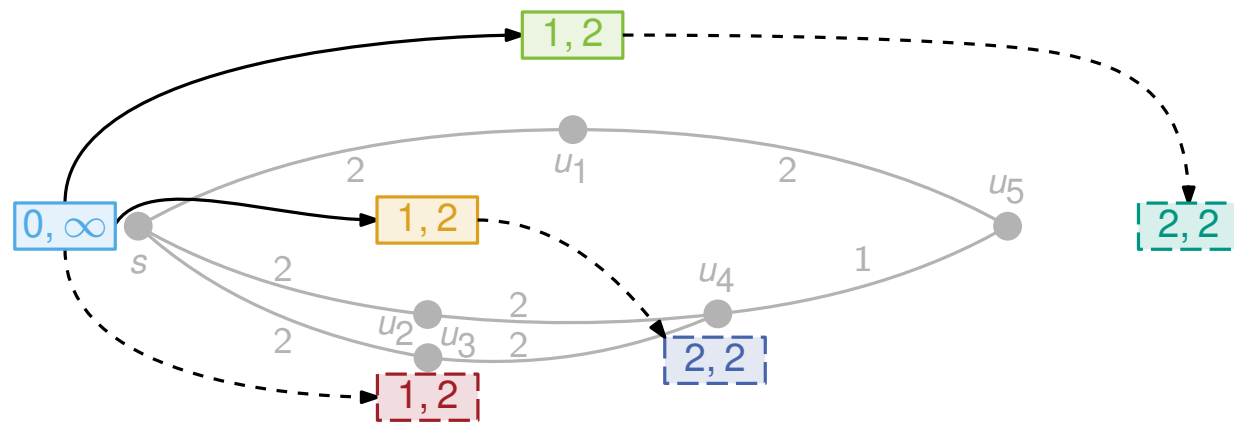
isReachable [S.354; Grastien et al., 2018]



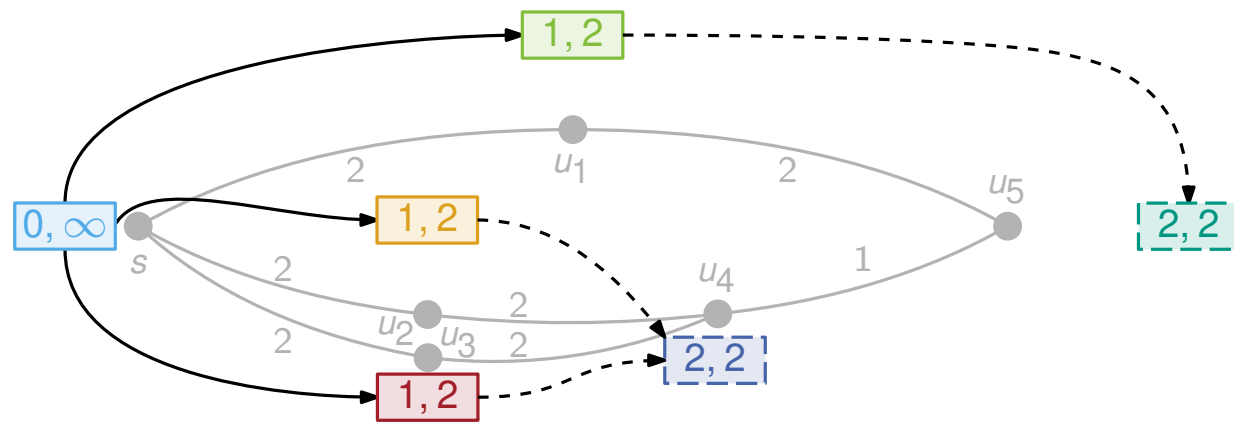
isReachable [S.354; Grastien et al., 2018]



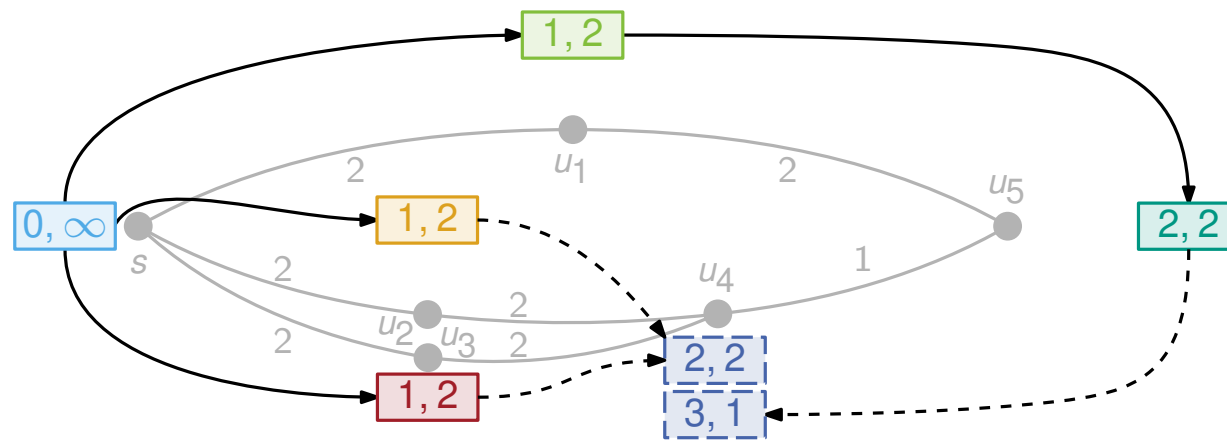
isReachable [S.354; Grastien et al., 2018]



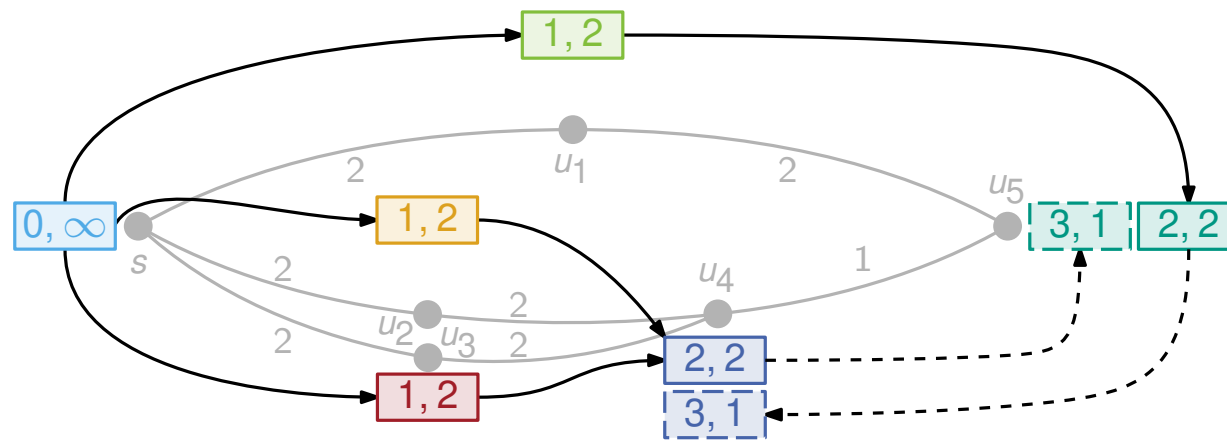
isReachable [S.354; Grastien et al., 2018]



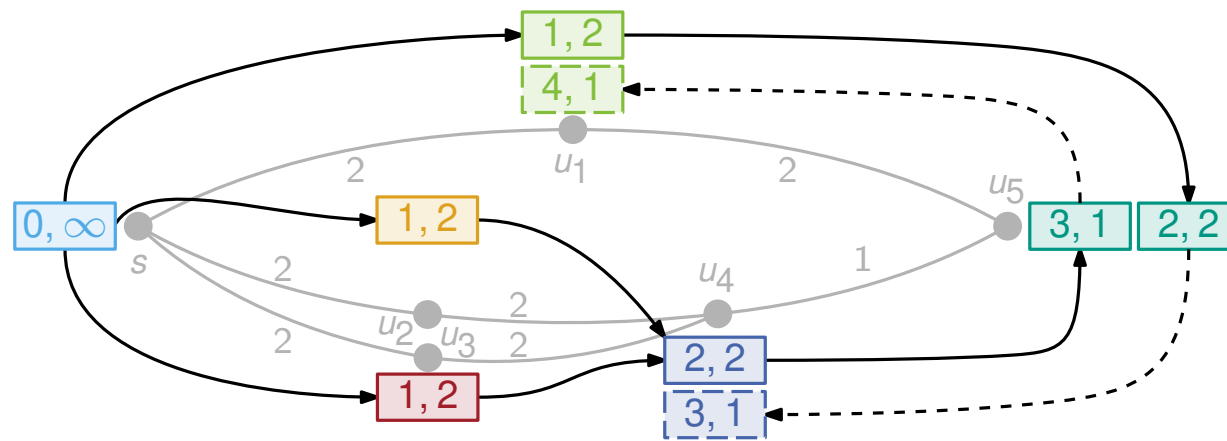
isReachable [S.354; Grastien et al., 2018]



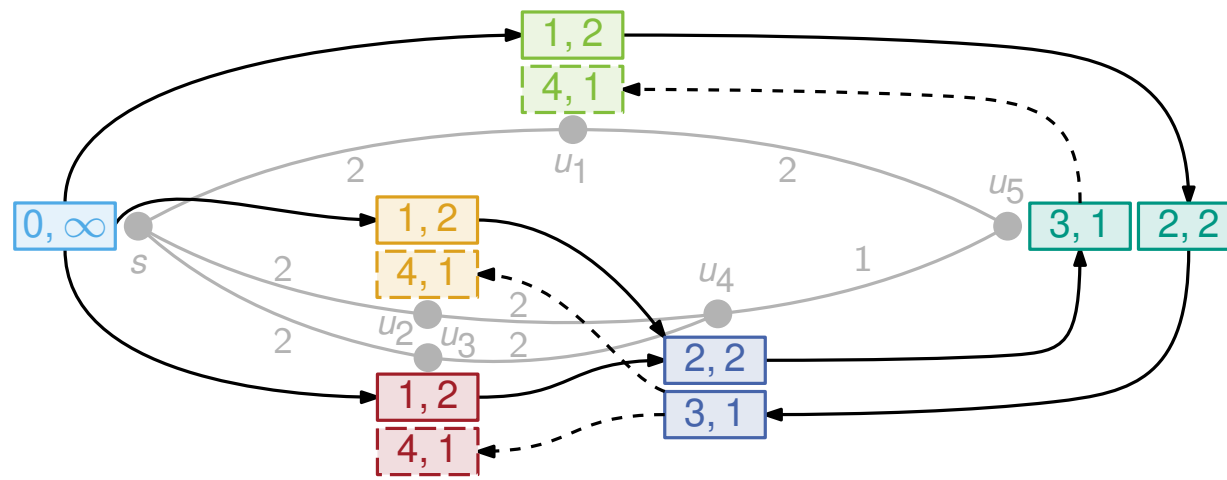
isReachable [S.354; Grastien et al., 2018]



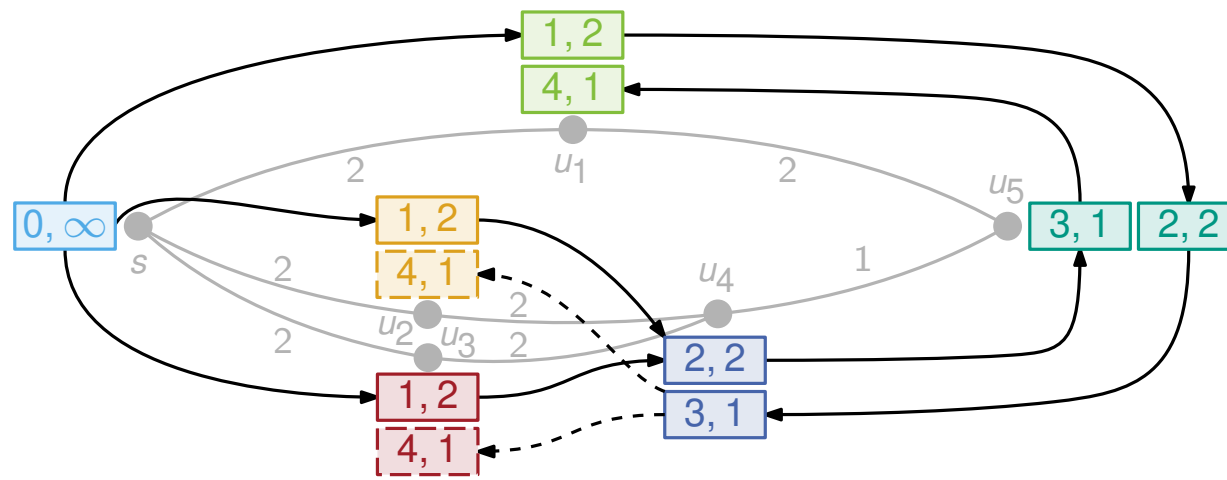
isReachable [S.354; Grastien et al., 2018]



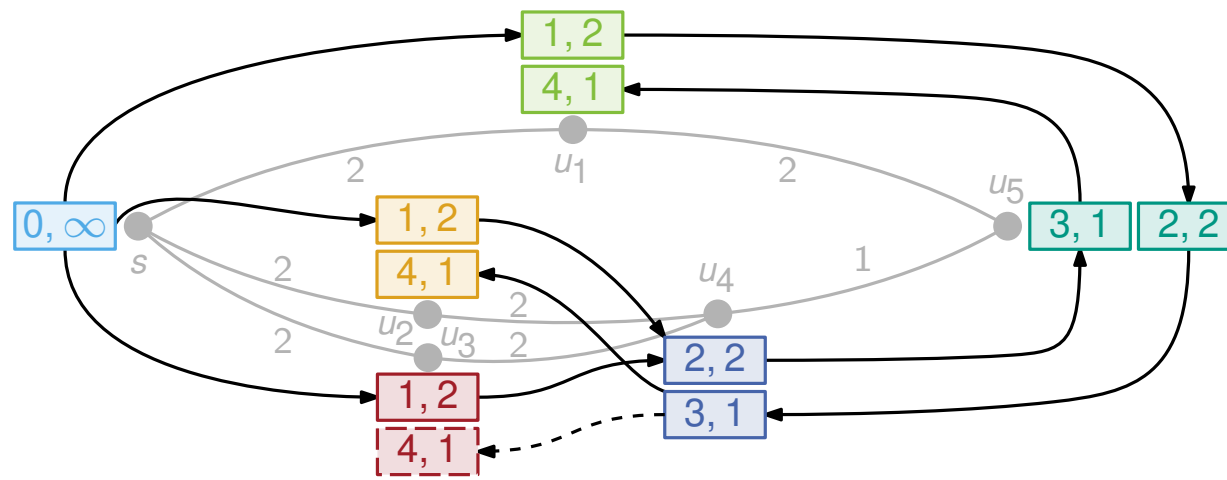
isReachable [S.354; Grastien et al., 2018]



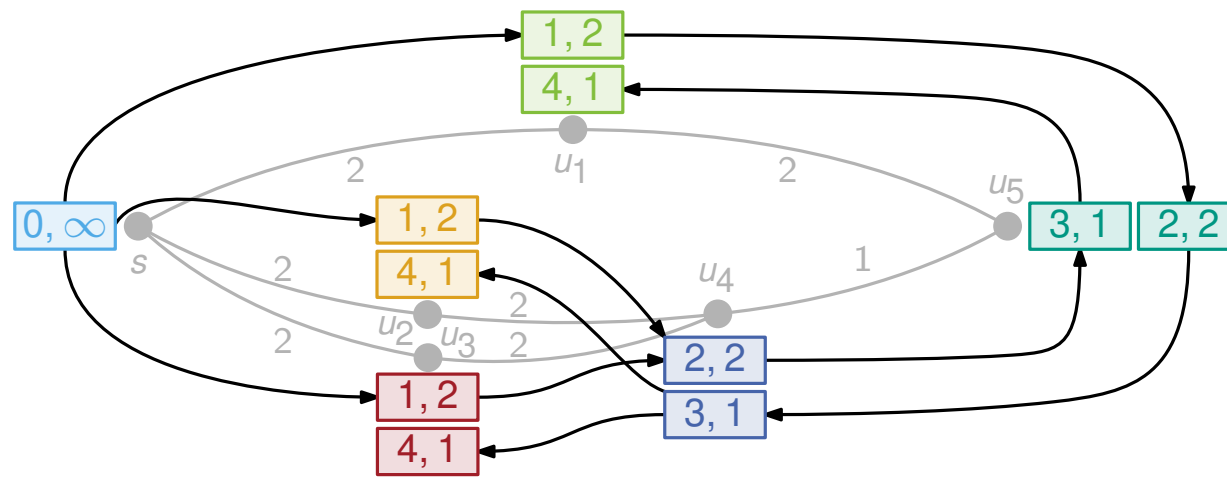
isReachable [S.354; Grastien et al., 2018]



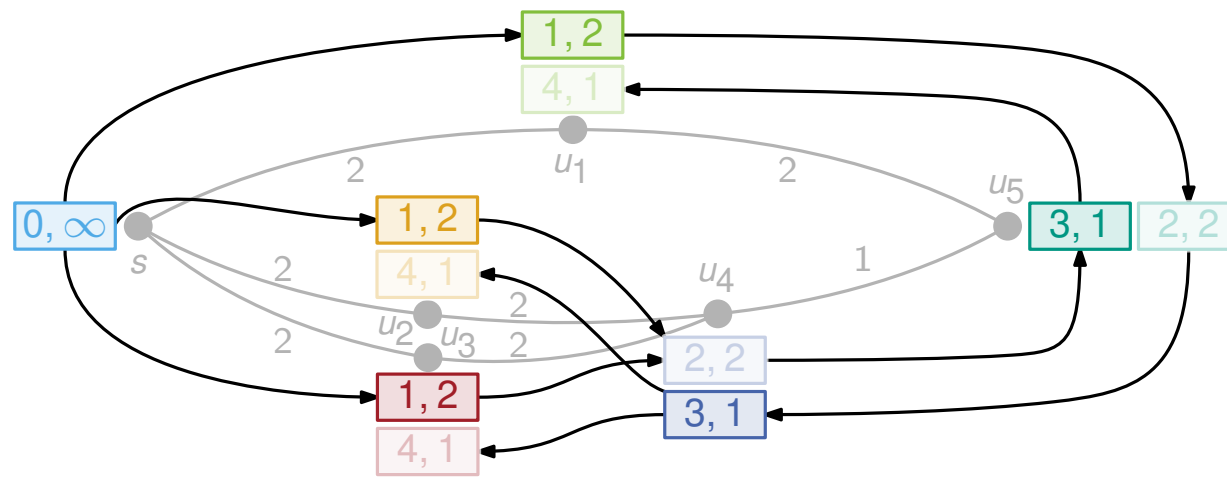
isReachable [S.354; Grastien et al., 2018]



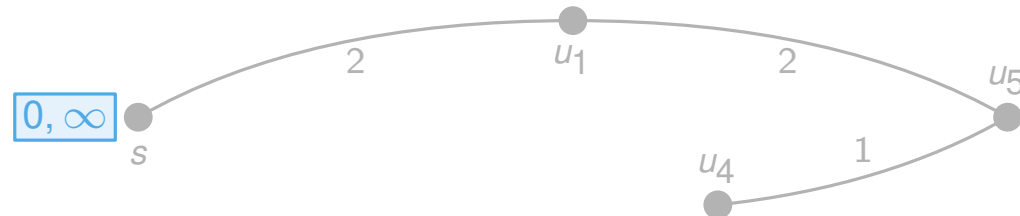
isReachable [S.354; Grastien et al., 2018]



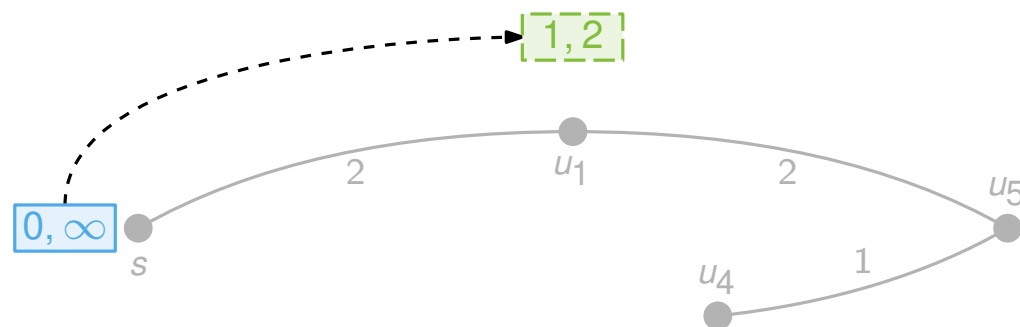
isReachable [S.354; Grastien et al., 2018]



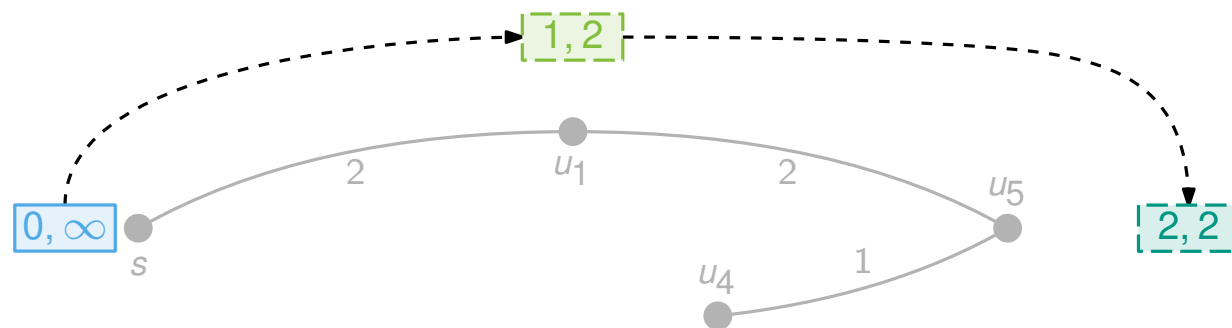
■ Funktioniert es immer?



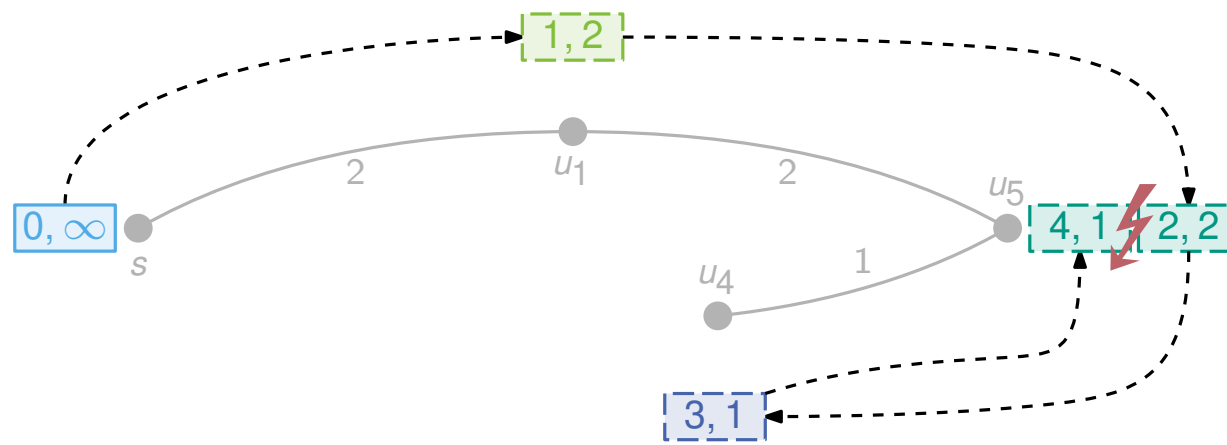
■ Funktioniert es immer?



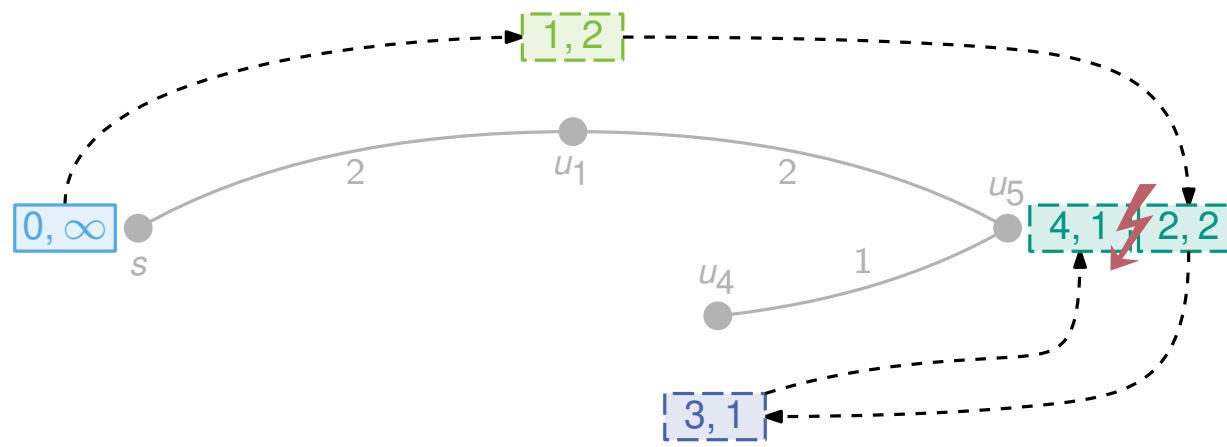
■ Funktioniert es immer?



■ Funktioniert es immer?



■ Funktioniert es immer?



⇒ Überprüfe, ob das Label einem einfachen Pfad entspricht

Regenbogenpfade – FPT Algorithmen

[Satz 11; Uchizawa et al., 2013]

■ FPT Algorithmus bzgl. der Farbenanzahl

Rainbow $s-t$ -Path ($s - t - \text{RP}$)

Instanz: Ein gerichteter azyklischer Graph $G = (V, E)$, eine Färbung $c: V \rightarrow \mathbb{N}$, und $s, t \in V$.

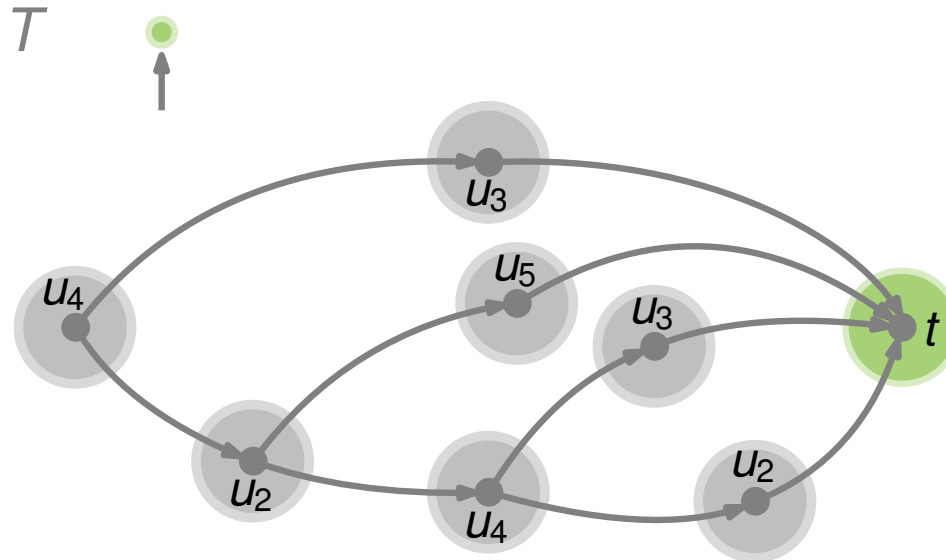
Frage: Existiert ein $s-t$ -Pfad π in G , sodass alle Knoten von π verschiedener Farben besitzen?

Aber: n Farben \Rightarrow kein Polynomialzeitalgorithmus(?)

Regenbogenpfade – FPT Algorithmen

[Satz 11; Uchizawa et al., 2013]

- FPT Algorithmus bzgl. der Farbenanzahl

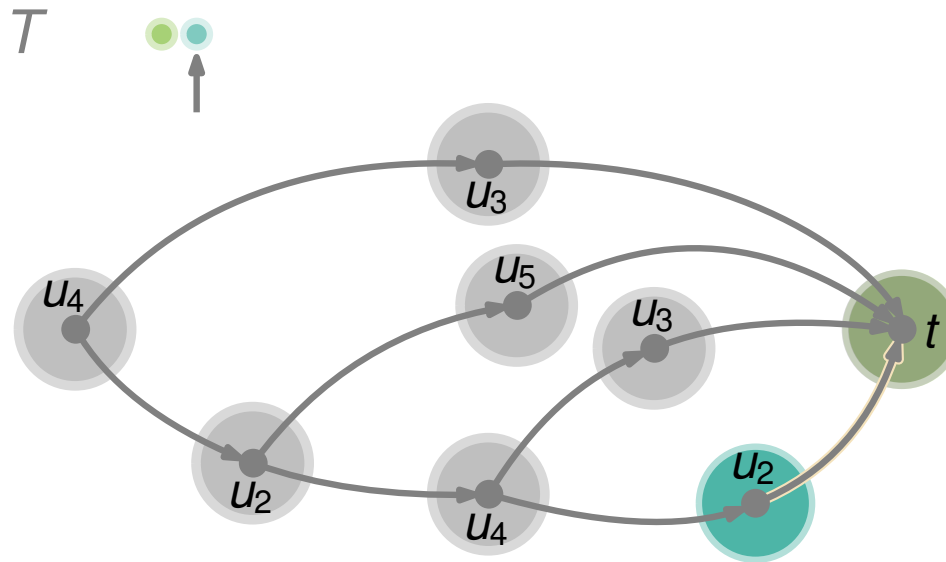


Aber: n Farben \Rightarrow kein Polynomialzeitalgorithmus(?)

Regenbogenpfade – FPT Algorithmen

[Satz 11; Uchizawa et al., 2013]

- FPT Algorithmus bzgl. der Farbenanzahl

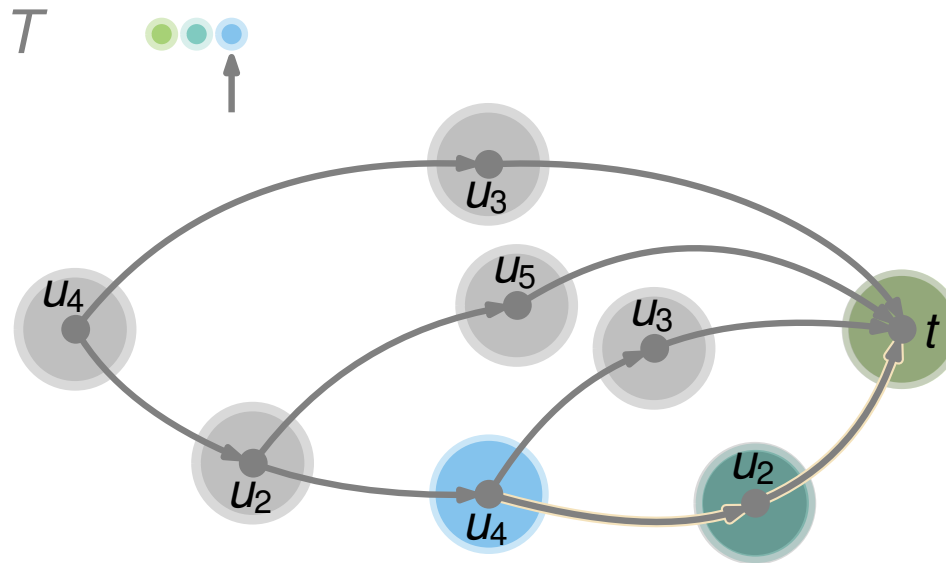


Aber: n Farben \Rightarrow kein Polynomialzeitalgorithmus(?)

Regenbogenpfade – FPT Algorithmen

[Satz 11; Uchizawa et al., 2013]

- FPT Algorithmus bzgl. der Farbenanzahl

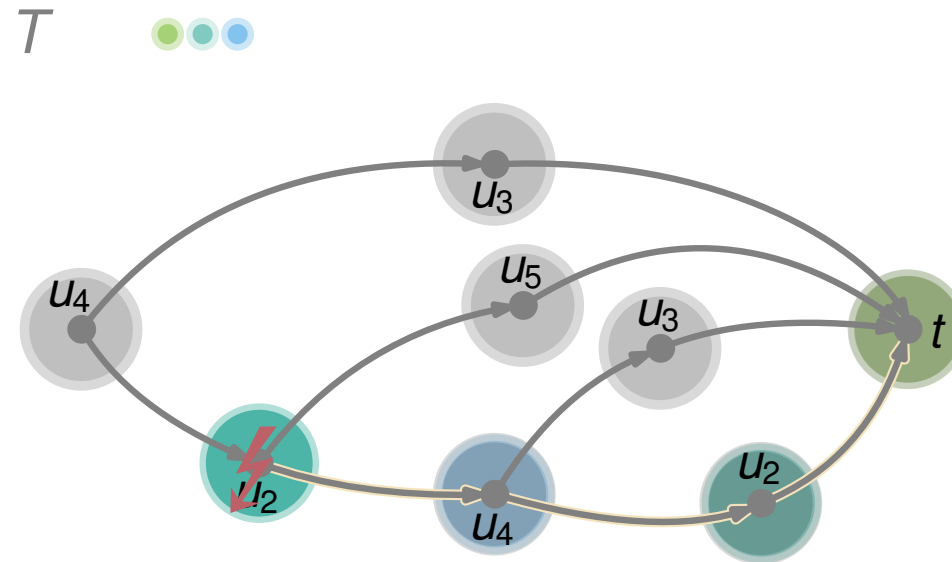


Aber: n Farben \Rightarrow kein Polynomialzeitalgorithmus(?)

Regenbogenpfade – FPT Algorithmen

[Satz 11; Uchizawa et al., 2013]

- FPT Algorithmus bzgl. der Farbenanzahl

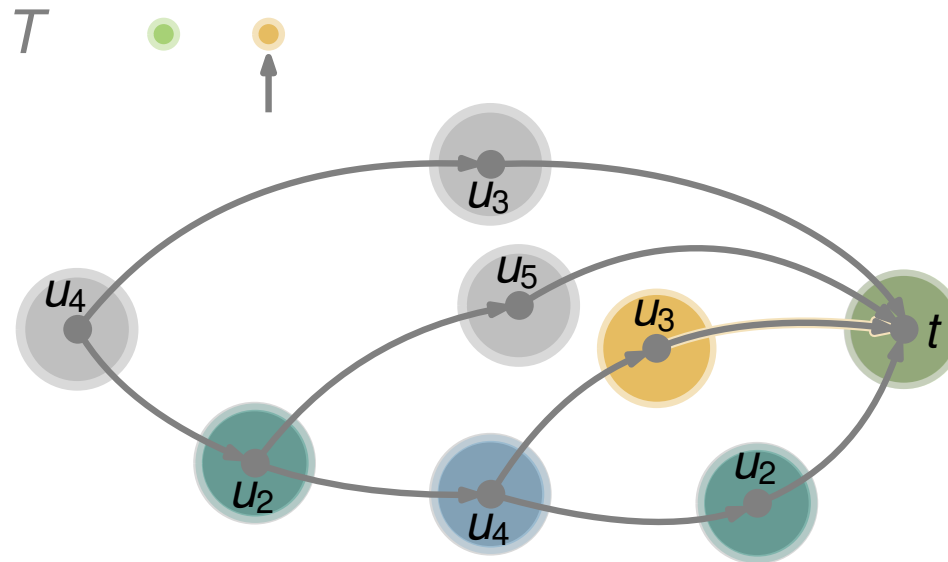


Aber: n Farben \Rightarrow kein Polynomialzeitalgorithmus(?)

Regenbogenpfade – FPT Algorithmen

[Satz 11; Uchizawa et al., 2013]

- FPT Algorithmus bzgl. der Farbenanzahl

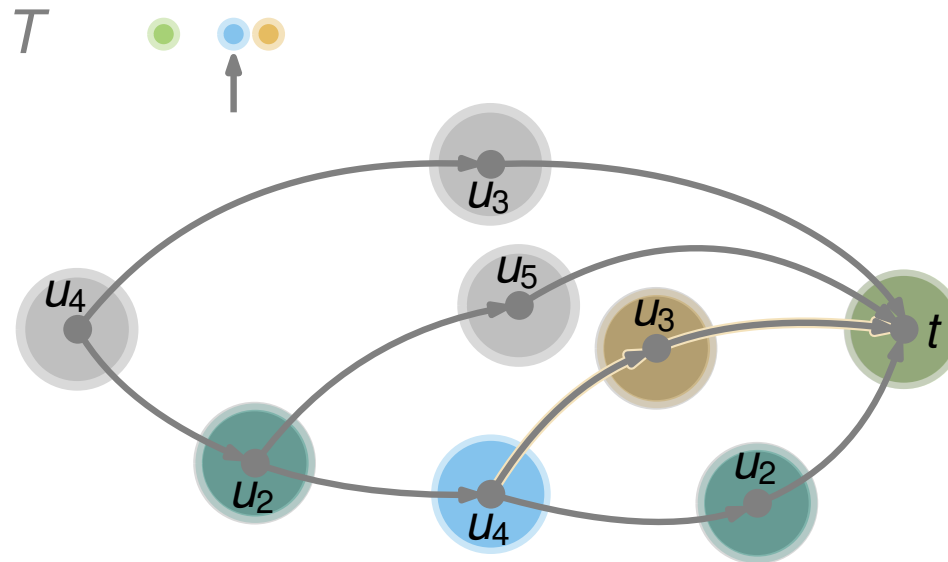


Aber: n Farben \Rightarrow kein Polynomialzeitalgorithmus(?)

Regenbogenpfade – FPT Algorithmen

[Satz 11; Uchizawa et al., 2013]

- FPT Algorithmus bzgl. der Farbenanzahl

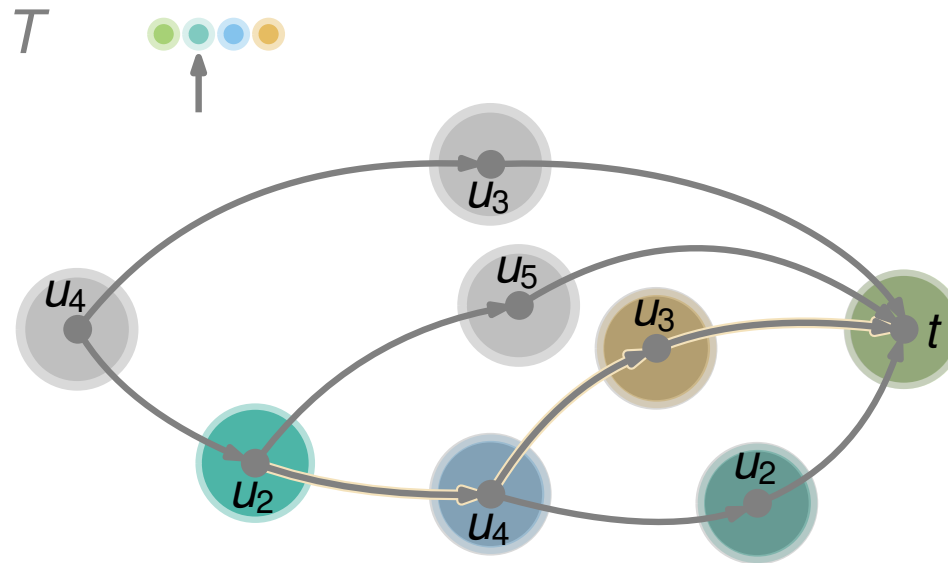


Aber: n Farben \Rightarrow kein Polynomialzeitalgorithmus(?)

Regenbogenpfade – FPT Algorithmen

[Satz 11; Uchizawa et al., 2013]

- FPT Algorithmus bzgl. der Farbenanzahl

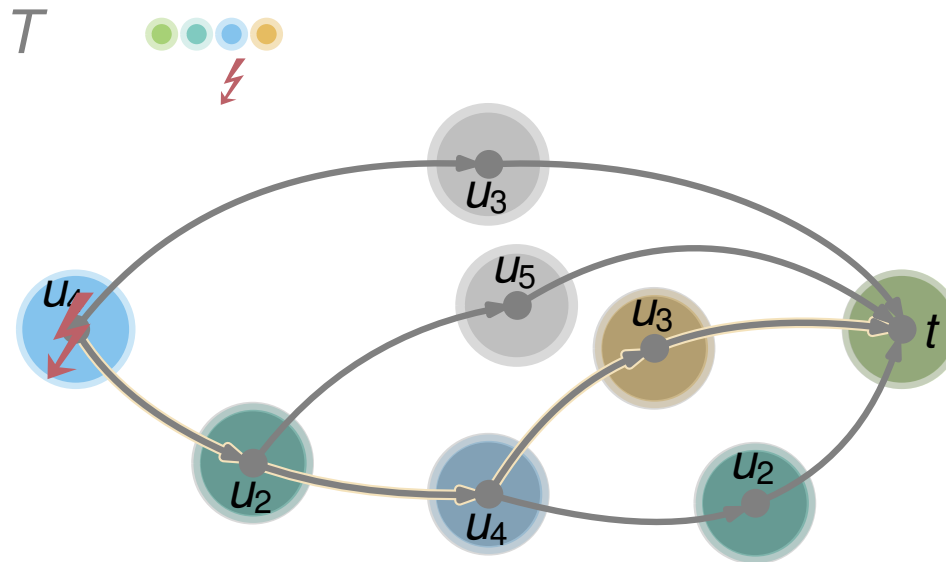


Aber: n Farben \Rightarrow kein Polynomialzeitalgorithmus(?)

Regenbogenpfade – FPT Algorithmen

[Satz 11; Uchizawa et al., 2013]

■ FPT Algorithmus bzgl. der Farbenanzahl

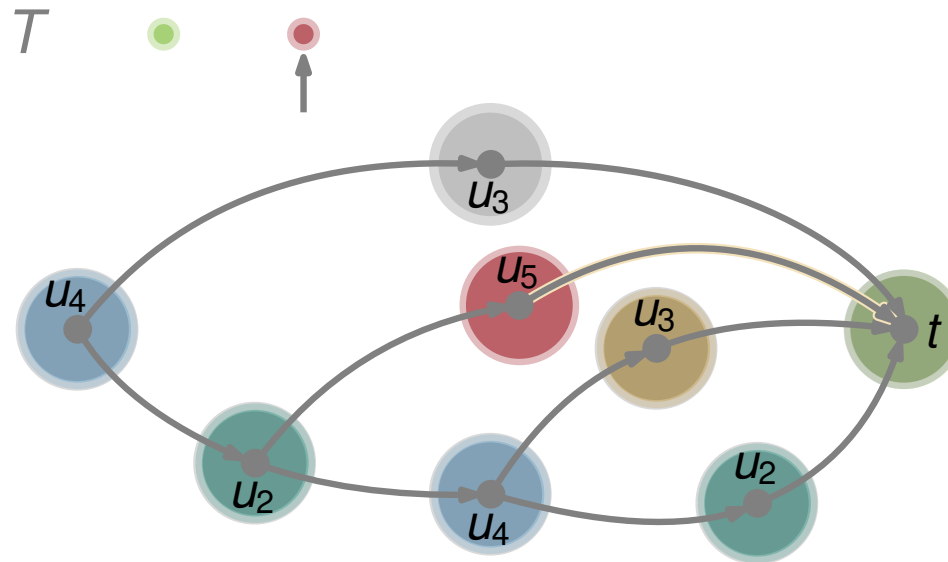


Aber: n Farben \Rightarrow kein Polynomialzeitalgorithmus(?)

Regenbogenpfade – FPT Algorithmen

[Satz 11; Uchizawa et al., 2013]

- FPT Algorithmus bzgl. der Farbenanzahl

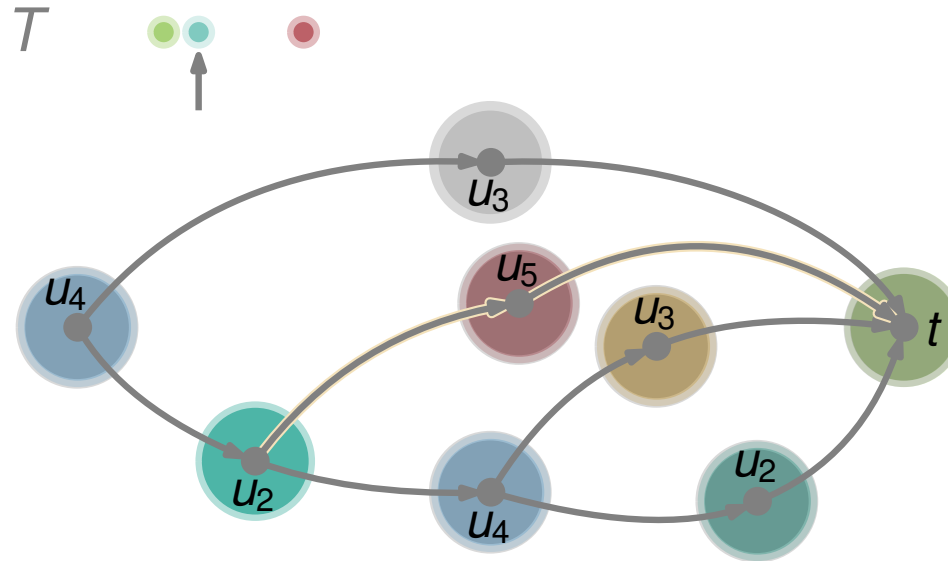


Aber: n Farben \Rightarrow kein Polynomialzeitalgorithmus(?)

Regenbogenpfade – FPT Algorithmen

[Satz 11; Uchizawa et al., 2013]

■ FPT Algorithmus bzgl. der Farbenanzahl

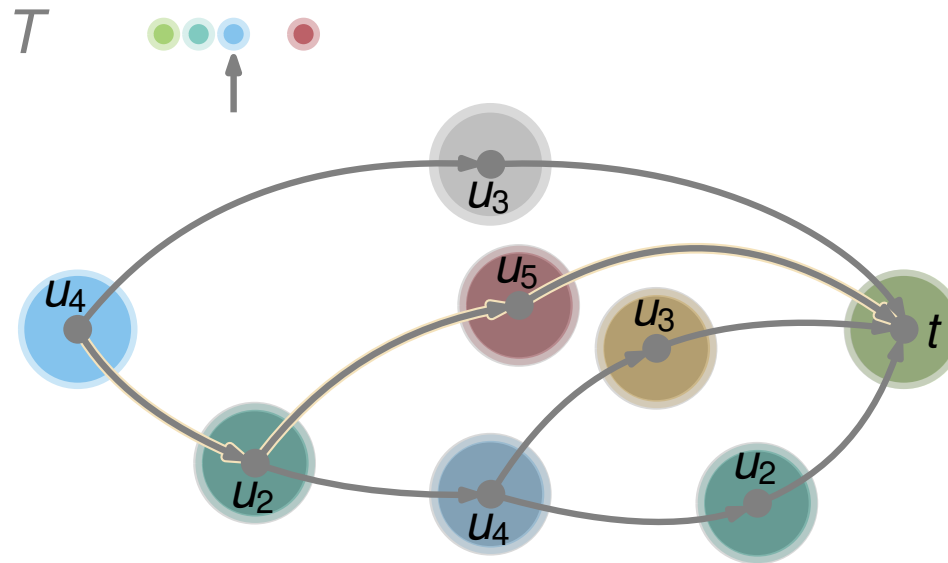


Aber: n Farben \Rightarrow kein Polynomialzeitalgorithmus(?)

Regenbogenpfade – FPT Algorithmen

[Satz 11; Uchizawa et al., 2013]

- FPT Algorithmus bzgl. der Farbenanzahl

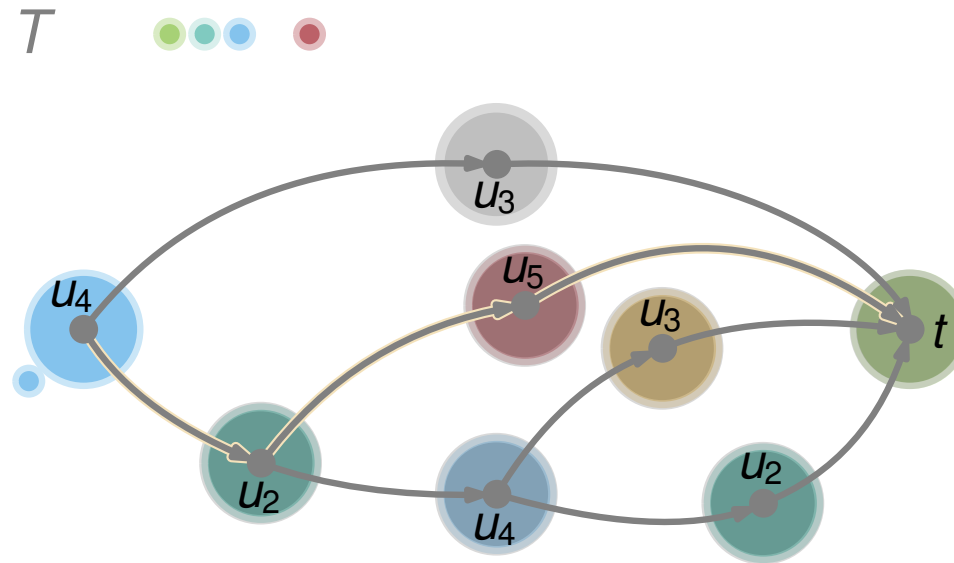


Aber: n Farben \Rightarrow kein Polynomialzeitalgorithmus(?)

Regenbogenpfade – FPT Algorithmen

[Satz 11; Uchizawa et al., 2013]

■ FPT Algorithmus bzgl. der Farbenanzahl

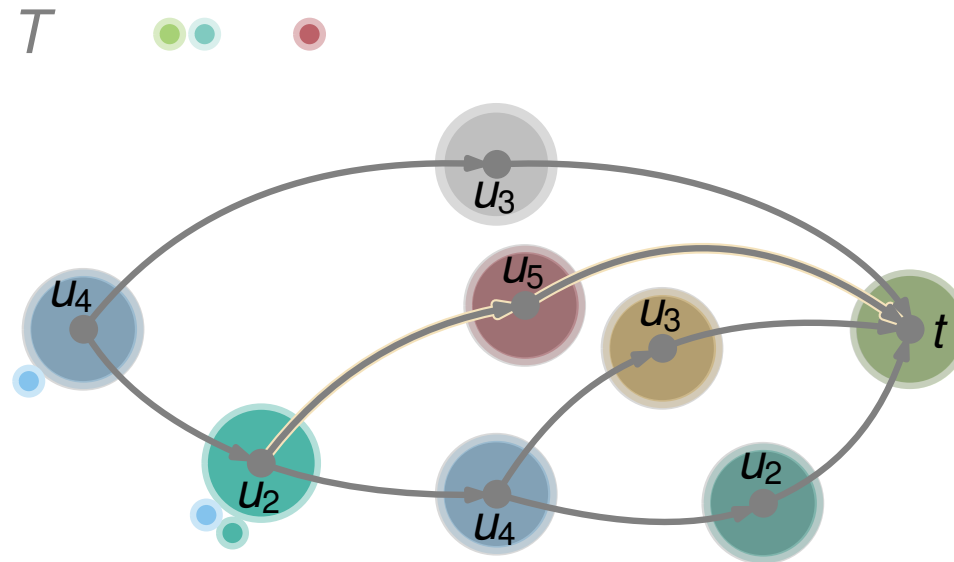


Aber: n Farben \Rightarrow kein Polynomialzeitalgorithmus(?)

Regenbogenpfade – FPT Algorithmen

[Satz 11; Uchizawa et al., 2013]

■ FPT Algorithmus bzgl. der Farbenanzahl

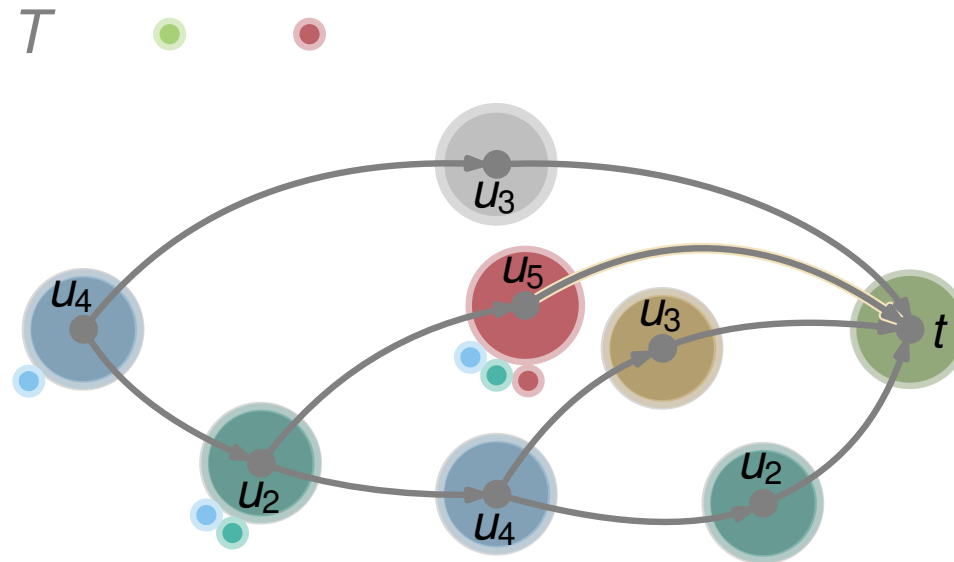


Aber: n Farben \Rightarrow kein Polynomialzeitalgorithmus(?)

Regenbogenpfade – FPT Algorithmen

[Satz 11; Uchizawa et al., 2013]

- FPT Algorithmus bzgl. der Farbenanzahl

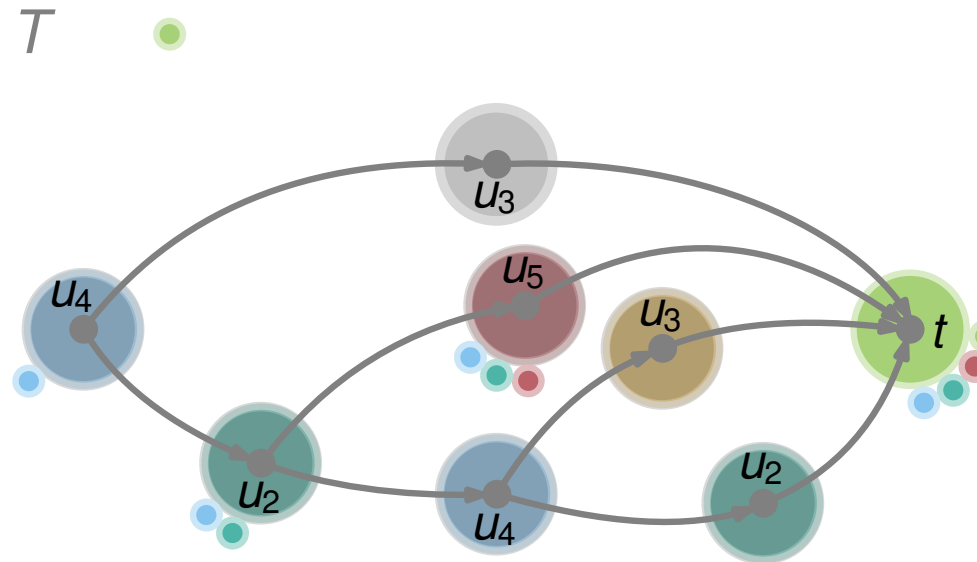


Aber: n Farben \Rightarrow kein Polynomialzeitalgorithmus(?)

Regenbogenpfade – FPT Algorithmen

[Satz 11; Uchizawa et al., 2013]

- FPT Algorithmus bzgl. der Farbenanzahl

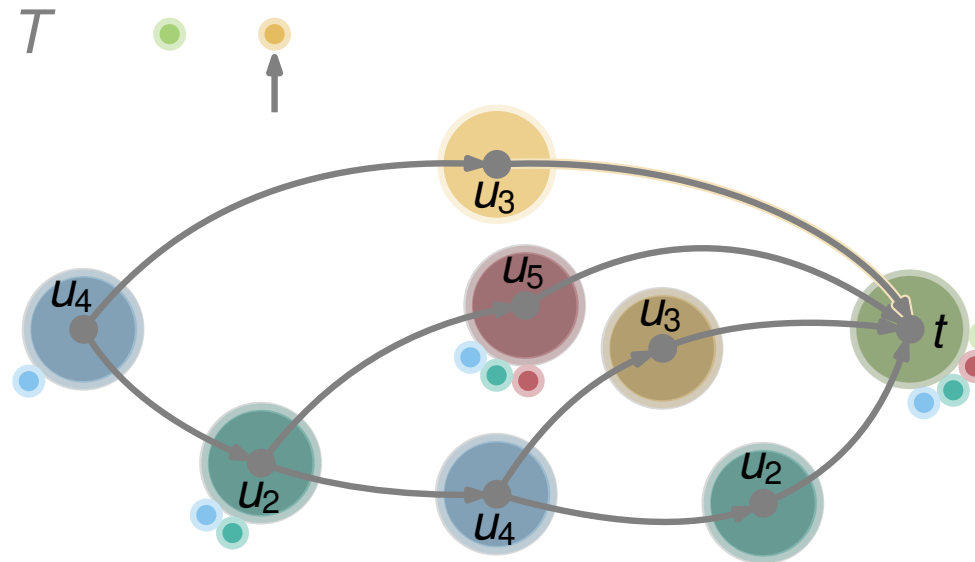


Aber: n Farben \Rightarrow kein Polynomialzeitalgorithmus(?)

Regenbogenpfade – FPT Algorithmen

[Satz 11; Uchizawa et al., 2013]

■ FPT Algorithmus bzgl. der Farbenanzahl

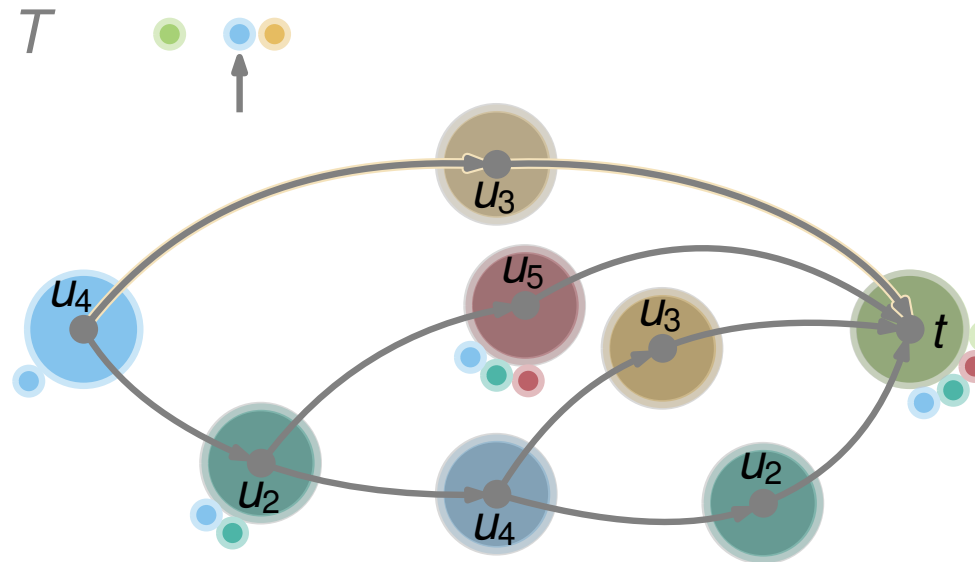


Aber: n Farben \Rightarrow kein Polynomialzeitalgorithmus(?)

Regenbogenpfade – FPT Algorithmen

[Satz 11; Uchizawa et al., 2013]

- FPT Algorithmus bzgl. der Farbenanzahl

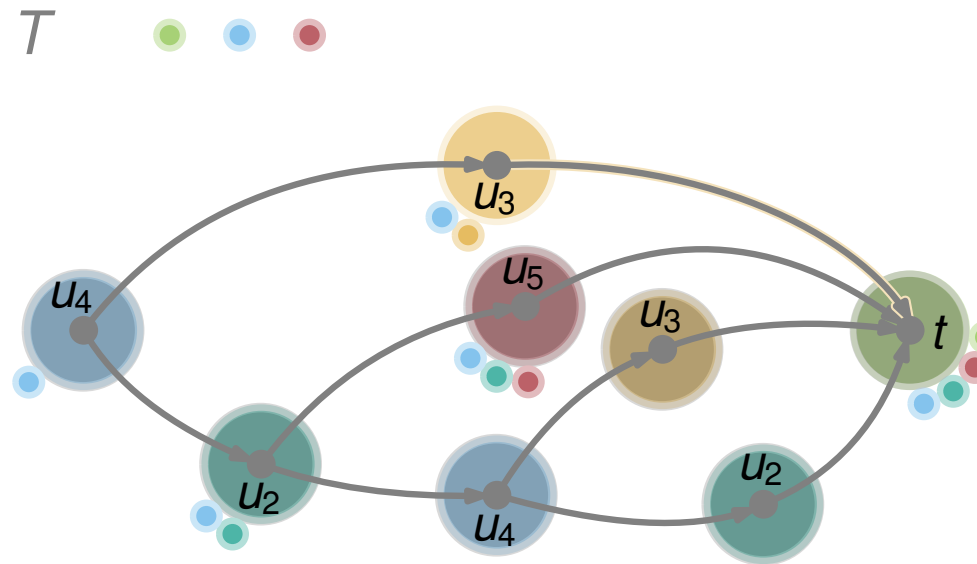


Aber: n Farben \Rightarrow kein Polynomialzeitalgorithmus(?)

Regenbogenpfade – FPT Algorithmen

[Satz 11; Uchizawa et al., 2013]

- FPT Algorithmus bzgl. der Farbenanzahl

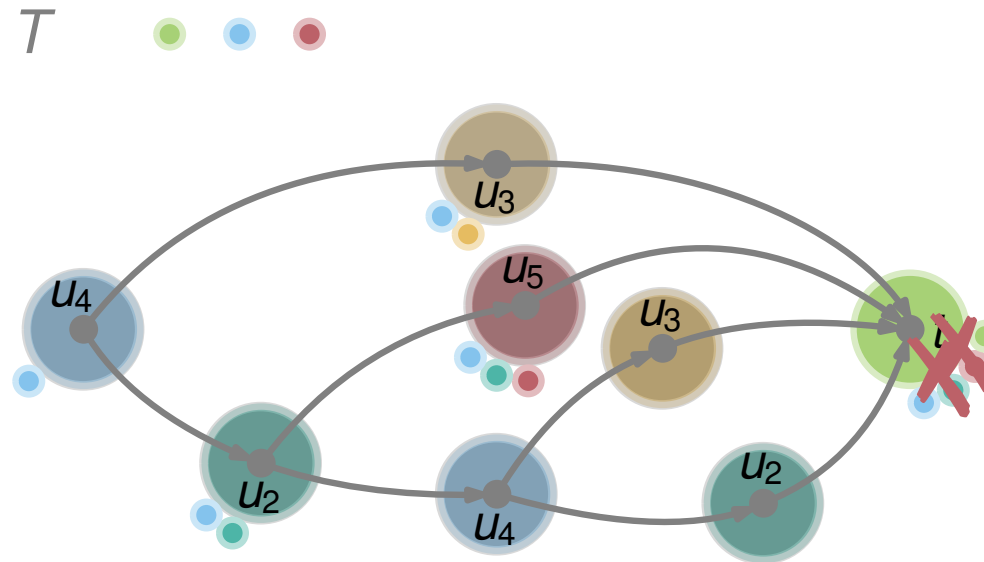


Aber: n Farben \Rightarrow kein Polynomialzeitalgorithmus(?)

Regenbogenpfade – FPT Algorithmen

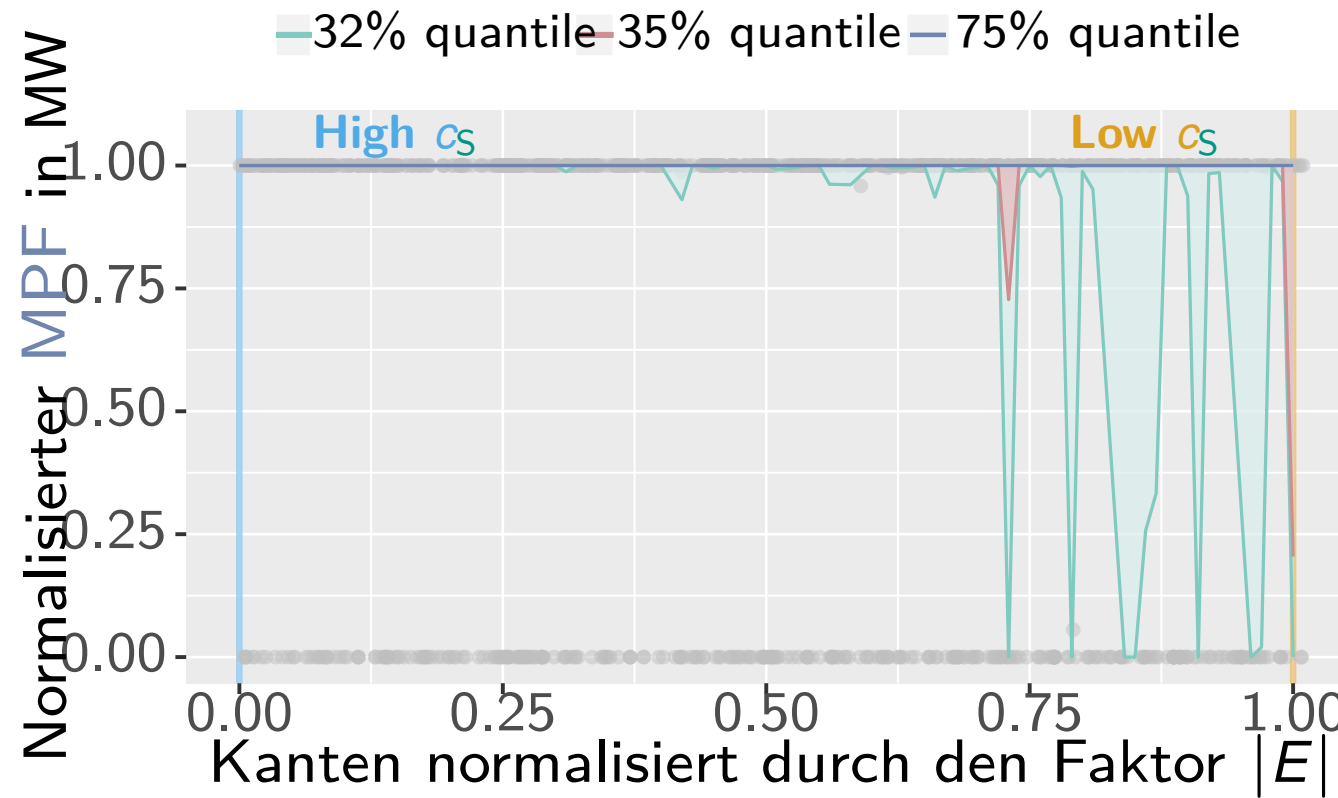
[Satz 11; Uchizawa et al., 2013]

- FPT Algorithmus bzgl. der Farbenanzahl



Aber: n Farben \Rightarrow kein Polynomialzeitalgorithmus(?)

- Simulationen auf dem NESTA Benchmarksets, die realistischer als die IEEE Benchmarksets sind, z.B., mit Hinblick auf thermische Leitungsbegrenzungen



Der MPF sinkt hauptsächlich für Kanten mit kleiner Zentralität c_S .

- Simulationen auf dem NESTA Benchmarksets, die realistischer als die IEEE Benchmarksets sind, z.B., mit Hinblick auf thermische Leitungsbegrenzungen

Auf **allgemeinen Netzwerken** ist die *Schaltzentralität* $c_S : E \rightarrow \mathbb{R}_{\geq 0}$ definiert durch

$$c_S(e) := \frac{1}{m_B} \sum_{s \in V} \sum_{t \in V \setminus \{s\}} \frac{\sigma_{\text{DTP}}(s, t, e)}{\sigma_{\text{DTP}}(s, t)},$$

wobei $\sigma_{\text{DTP}}(s, t, e)$ die Anzahl von **DTP**-Pfaden zwischen s und t ist, die die Kante e nutzen, $\sigma_{\text{DTP}}(s, t)$ ist die Gesamtanzahl von **DTP**-Pfaden von s nach t , und $m_B = |V|(|V| - 1)$ wird zur Normalisierung verwendet.

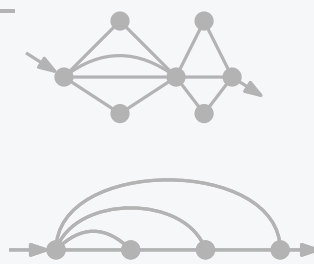
Kanten normalisiert durch den Faktor $|V|(|V| - 1)$

Der MPF sinkt hauptsächlich für Kanten mit kleiner Zentralität c_S .

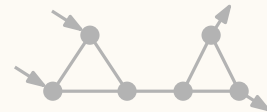
Überblick über die MTSF Ergebnisse

Graphstruktur

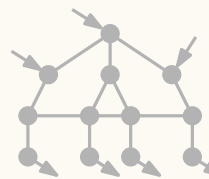
Penrose-Minoren-freie Graphen
Serienparallele Graphen



Kakteen mit Maximalgrad 3



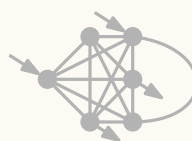
2-Level-Bäume



Planare Graphen mit Maximalgrad 3



Beliebige Graphen



Komplexität

Polynomialzeit lösbar

NP-schwer

NP-schwer
[Lehmann et al., 2014]

NP-schwer
[Lehmann et al., 2014]

stark NP-schwer
[Lehmann et al., 2014]

nicht-APX
[Lehmann et al., 2014]

Algorithmen

DTP

X

2-approx.

X

X

X

Komplexität

ein Erzeuger,
ein Verbraucher

beliebige Erzeuger,
beliebige Verbraucher

$|V_G|=2$,
 $|V_D|=2$



Überblick über die MTSF Ergebnisse

	Graphstruktur	Komplexität	Algorithmen
Komplexität 	Penrose-Minoren-freie Graphen Serienparallele Graphen	Polynomialzeit lösbar NP-schwer	DTP ✓ X
	Kakteen mit Maximalgrad 3	NP-schwer [Lehmann et al., 2014]	2-approx. ✓
	2-Level-Bäume	NP-schwer [Lehmann et al., 2014]	X
	Planare Graphen mit Maximalgrad 3	stark NP-schwer [Lehmann et al., 2014]	X
	Beliebige Graphen	nicht-APX [Lehmann et al., 2014]	X

Lemma 3 [S.8; TGI, VL 19.11.2019]

Entscheidungsproblem \mathcal{P}_1 ist polynomial transformierbar in das Entscheidungsproblem \mathcal{P}_2 , wenn eine Funktion $f: D_{\mathcal{P}_1} \rightarrow D_{\mathcal{P}_2}$ existiert mit folgenden Eigenschaften

- f ist durch einen polynomialem Algorithmus berechenbar
- für alle $I \in D_{\mathcal{P}_1}: I \in J_{\mathcal{P}_1} \Leftrightarrow f(I) \in J_{\mathcal{P}_2}$

Wir schreiben dann $\mathcal{P}_1 \propto \mathcal{P}_2$.

Lemma 4 [S.8; TGI, VL 19.11.2019]

Ein Entscheidungsproblem \mathcal{P} heißt NP-vollständig, falls gilt

- $\mathcal{P} \in \text{NP}$ und
- für alle $\mathcal{P}' \in \text{NP}$ gilt $\mathcal{P}' \propto \mathcal{P}$.

Subset Sum Problem (SSP)

Entscheidungsproblem Subset Sum (SSP)

Instanz: Eine endliche Menge von Zahlen $W = \{w_1, w_2, \dots, w_n\}$ mit $w_i \in \mathbb{N}$ und $k \in \mathbb{N}$.

Frage: Existiert eine Menge von Elementen $x_1, x_2, \dots, x_n \in \{0, 1\}$, sodass $\sum_{j=1}^n w_j x_j = k$?

Entscheidungsproblem Subset Sum (SSP)

Instanz: Eine endliche Menge von Zahlen $W = \{w_1, w_2, \dots, w_n\}$ mit $w_i \in \mathbb{N}$ und $k \in \mathbb{N}$.

Frage: Existiert eine Menge von Elementen $x_1, x_2, \dots, x_n \in \{0, 1\}$, sodass $\sum_{j=1}^n w_j x_j = k$?

Beispielinstanz

- $W = \{1, 2, 3, 7, 37, 99\}$
- $k = 42$

Subset Sum Problem (SSP)

Entscheidungsproblem Subset Sum (SSP)

Instanz: Eine endliche Menge von Zahlen $W = \{w_1, w_2, \dots, w_n\}$ mit $w_i \in \mathbb{N}$ und $k \in \mathbb{N}$.

Frage: Existiert eine Menge von Elementen $x_1, x_2, \dots, x_n \in \{0, 1\}$, sodass $\sum_{j=1}^n w_j x_j = k$?

Beispielinstanz

- $W = \{1, 2, 3, 7, 37, 99\}$
- $k = 42$

Lösung

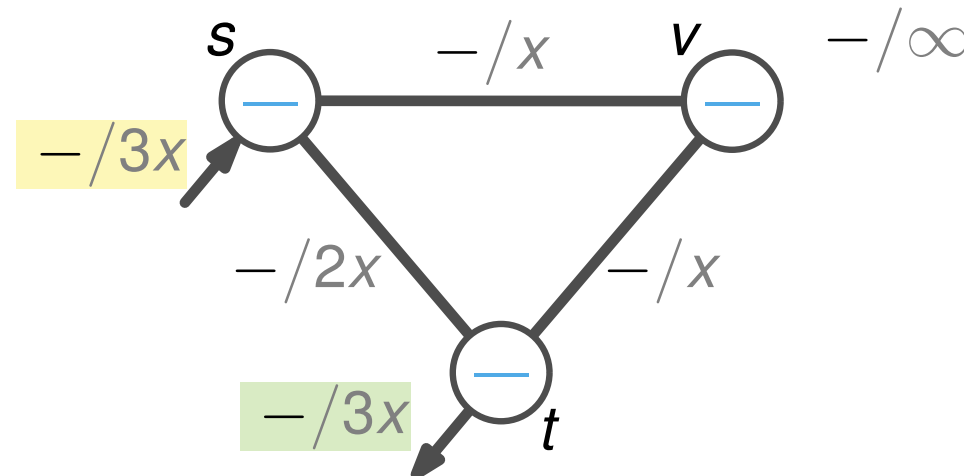
- $X = \{2, 3, 37\}$

MTSF auf Kakteen ist NP-schwer

[Lehmann et al., 2014]

- MTSF für Kaktusnetzwerke mit einem Maximalgrad von 3 ist NP-schwer
- Reduktion von Subset Sum
- Schaltungswahlnetzwerk (SCN) ist ein Gadget, welches Entscheidungen kodiert, die ein Netzwerk repräsentieren $\text{SCN}_{\ell,v} = (\{s, t, v\}, E, \underline{p_d} := 3\ell, \overline{p_d} := 3\ell, \bar{x} := 3\ell, \text{cap})$

Schaltungswahlnetzwerk SCN

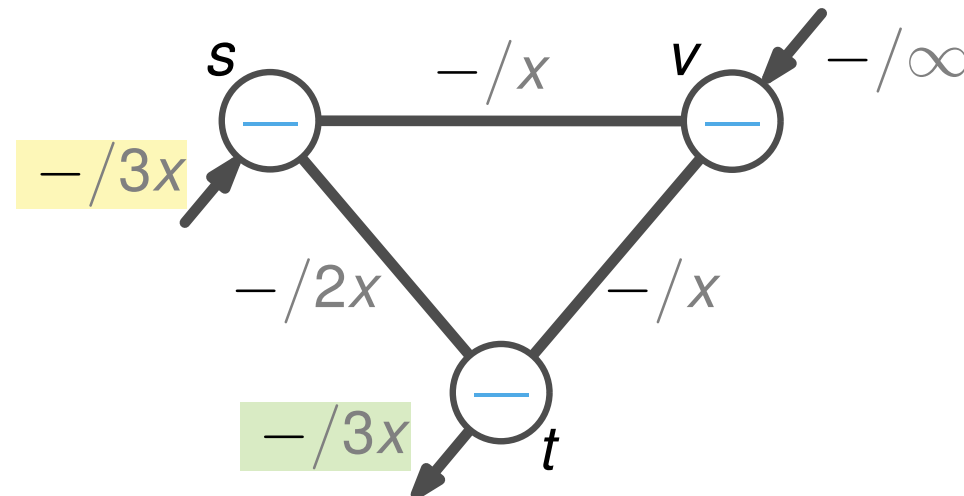


MTSF auf Kakteen ist NP-schwer

[Lehmann et al., 2014]

- MTSF für Kaktusnetzwerke mit einem Maximalgrad von 3 ist NP-schwer
- Reduktion von Subset Sum
- Schaltungswahlnetzwerk (SCN) ist ein Gadget, welches Entscheidungen kodiert, die ein Netzwerk repräsentieren $\text{SCN}_{\ell,v} = (\{s, t, v\}, E, \underline{p_d} := 3\ell, \overline{p_d} := 3\ell, \bar{x} := 3\ell, \text{cap})$

Schaltungswahlnetzwerk $\text{SCN}_{x,v}^-$

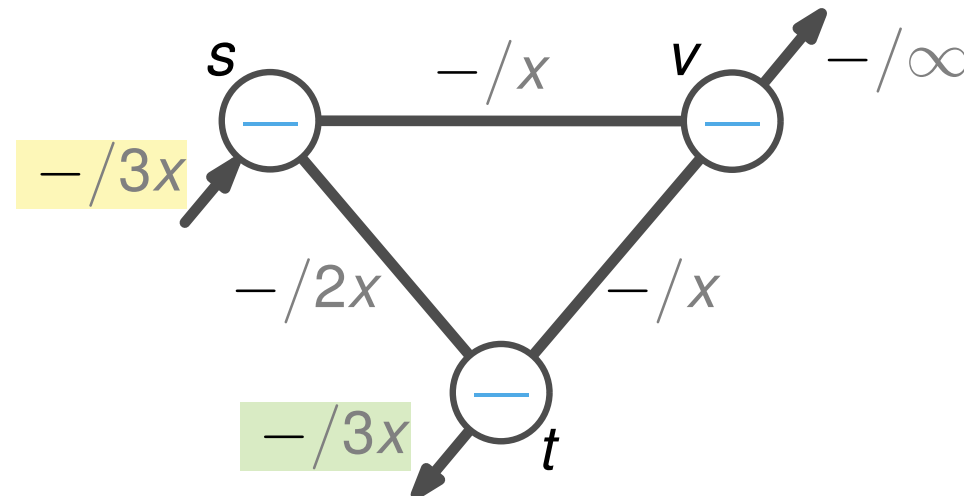


MTSF auf Kakteen ist NP-schwer

[Lehmann et al., 2014]

- MTSF für Kaktusnetzwerke mit einem Maximalgrad von 3 ist NP-schwer
- Reduktion von Subset Sum
- Schaltungswahlnetzwerk (SCN) ist ein Gadget, welches Entscheidungen kodiert, die ein Netzwerk repräsentieren $\text{SCN}_{\ell,v} = (\{s, t, v\}, E, \underline{p_d} := 3\ell, \overline{p_d} := 3\ell, \bar{x} := 3\ell, \text{cap})$

Schaltungswahlnetzwerk $\text{SCN}_{x,v}^+$

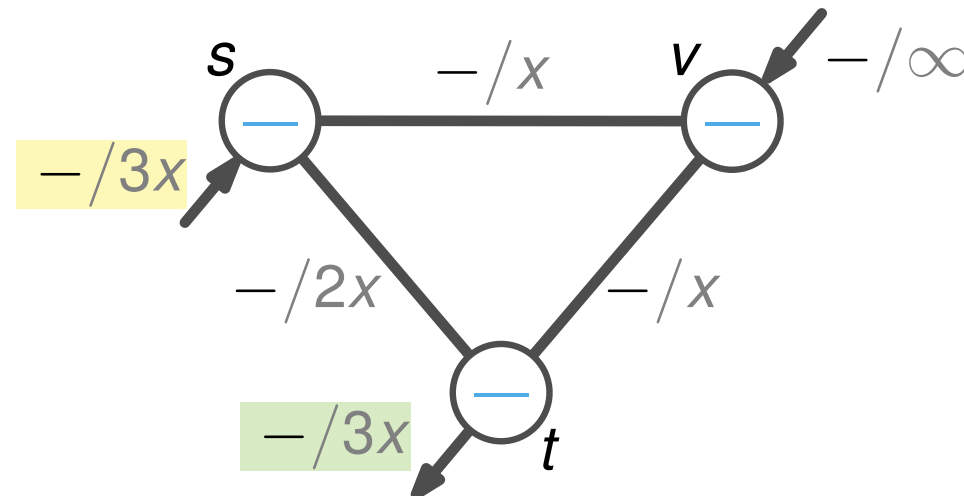


MTSF auf Kakteen ist NP-schwer

[Lehmann et al., 2014]

- MTSF für Kaktusnetzwerke mit einem Maximalgrad von 3 ist NP-schwer
- Reduktion von Subset Sum
- Schaltungswahlnetzwerk (SCN) ist ein Gadget, welches Entscheidungen kodiert, die ein Netzwerk repräsentieren $\text{SCN}_{\ell,v} = (\{s, t, v\}, E, \underline{p_d} := 3\ell, \overline{p_d} := 3\ell, \bar{x} := 3\ell, \text{cap})$

Schaltungswahlnetzwerk $\text{SCN}_{x,v}^-$

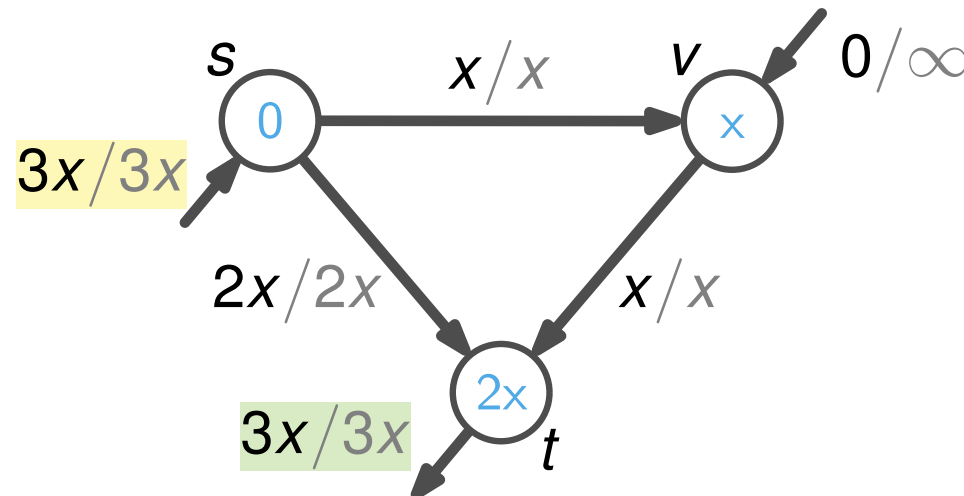


MTSF auf Kakteen ist NP-schwer

[Lehmann et al., 2014]

- MTSF für Kaktusnetzwerke mit einem Maximalgrad von 3 ist NP-schwer
- Reduktion von Subset Sum
- Schaltungswahlnetzwerk (SCN) ist ein Gadget, welches Entscheidungen kodiert, die ein Netzwerk repräsentieren $\text{SCN}_{\ell,v} = (\{s, t, v\}, E, \underline{p_d} := 3\ell, \overline{p_d} := 3\ell, \bar{x} := 3\ell, \text{cap})$

Schaltungswahlnetzwerk $\text{SCN}_{x,v}^-$

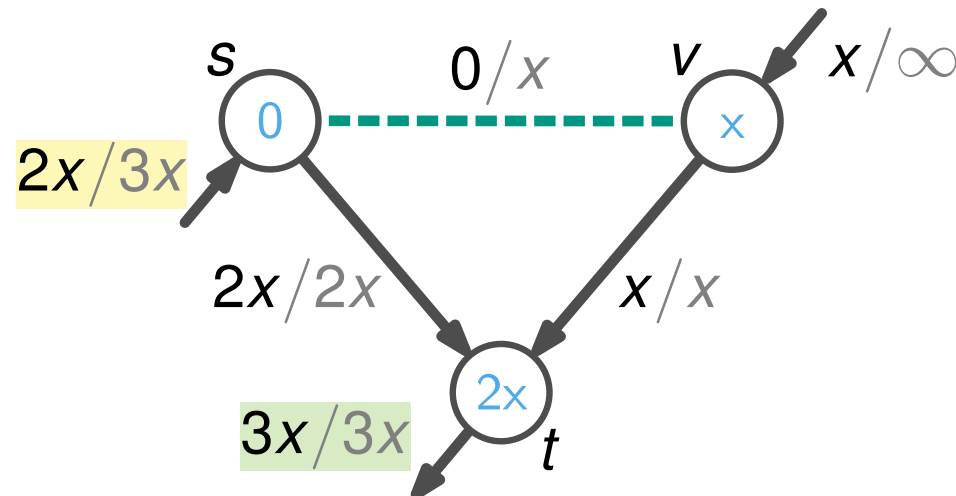


MTSF auf Kakteen ist NP-schwer

[Lehmann et al., 2014]

- MTSF für Kaktusnetzwerke mit einem Maximalgrad von 3 ist NP-schwer
- Reduktion von Subset Sum
- Schaltungswahlnetzwerk (SCN) ist ein Gadget, welches Entscheidungen kodiert, die ein Netzwerk repräsentieren $\text{SCN}_{\ell,v} = (\{s, t, v\}, E, \underline{p_d} := 3\ell, \overline{p_d} := 3\ell, \bar{x} := 3\ell, \text{cap})$

Schaltungswahlnetzwerk $\text{SCN}_{x,v}^-$

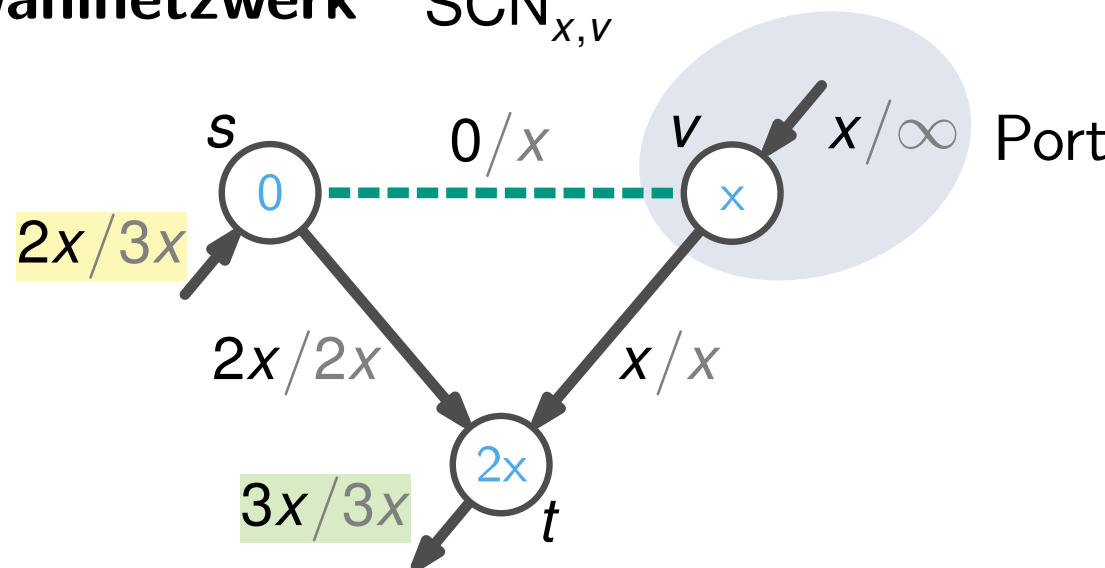


MTSF auf Kakteen ist NP-schwer

[Lehmann et al., 2014]

- MTSF für Kaktusnetzwerke mit einem Maximalgrad von 3 ist NP-schwer
- Reduktion von Subset Sum
- Schaltungswahlnetzwerk (SCN) ist ein Gadget, welches Entscheidungen kodiert, die ein Netzwerk repräsentieren $SCN_{\ell,v} = (\{s,t,v\}, E, \underline{p_d} := 3\ell, \overline{p_d} := 3\ell, \bar{x} := 3\ell, cap)$

Schaltungswahlnetzwerk $SCN_{x,v}^-$

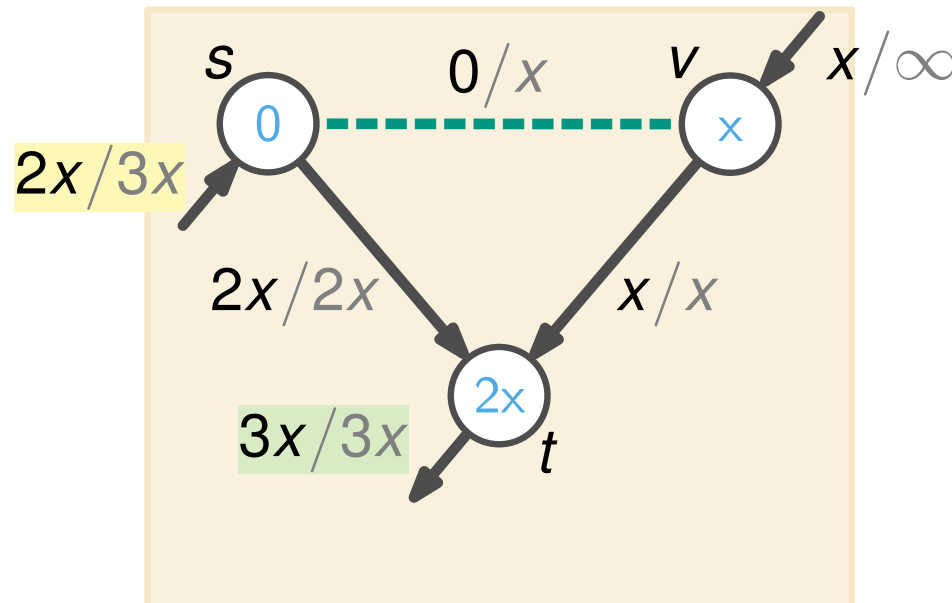


MTSF auf Kakteen ist NP-schwer

[Lehmann et al., 2014]

- MTSF für Kaktusnetzwerke mit einem Maximalgrad von 3 ist NP-schwer
- Reduktion von Subset Sum
- Schaltungswahlnetzwerk (SCN) ist ein Gadget, welches Entscheidungen kodiert, die ein Netzwerk repräsentieren $\text{SCN}_{\ell,v} = (\{s,t,v\}, E, \underline{p_d} := 3\ell, \overline{p_d} := 3\ell, \bar{x} := 3\ell, \text{cap})$

Schaltungswahlnetzwerk $\text{SCN}_{x,v}^-$

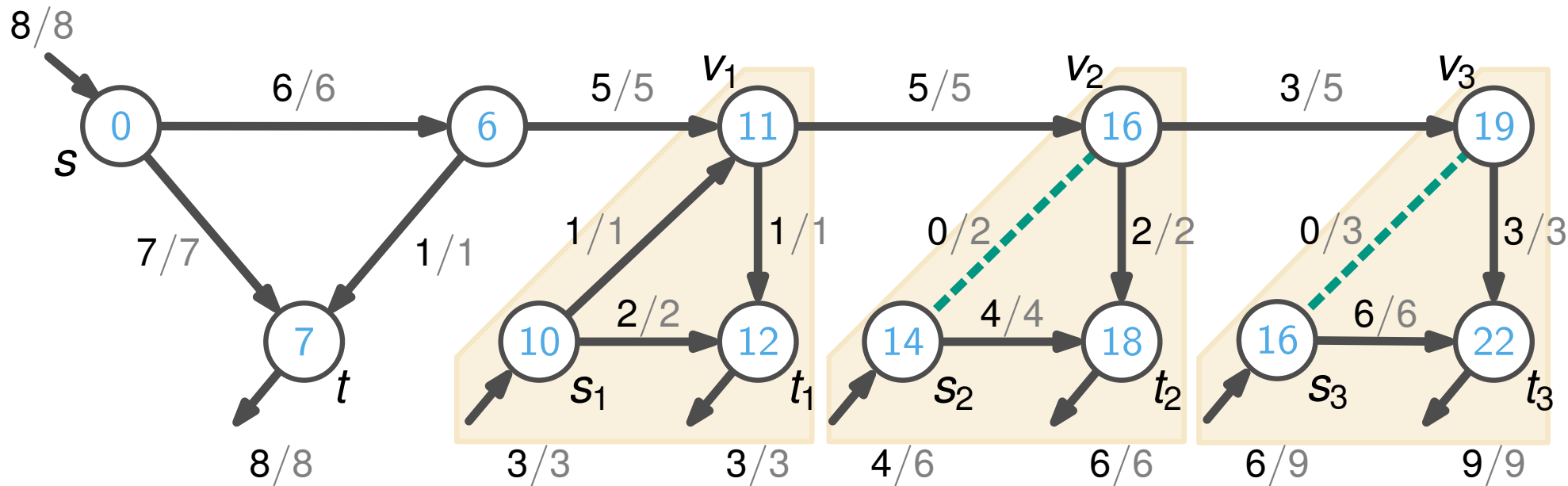


MTSF auf Kakteen ist NP-schwer

[Lehmann et al., 2014]

- MTSF für Kaktusnetzwerke mit einem Maximalgrad von 3 ist NP-schwer
- Reduktion von Subset Sum
- Schaltungswahlnetzwerk (SCN) ist ein Gadget, welches Entscheidungen kodiert, die ein Netzwerk repräsentieren $\text{SCN}_{\ell,v} = (\{s, t, v\}, E, \underline{p_d} := 3\ell, \overline{p_d} := 3\ell, \overline{x} := 3\ell, \text{cap})$

Transformation $W = \{1, 2, 3\}$, $k = 5$



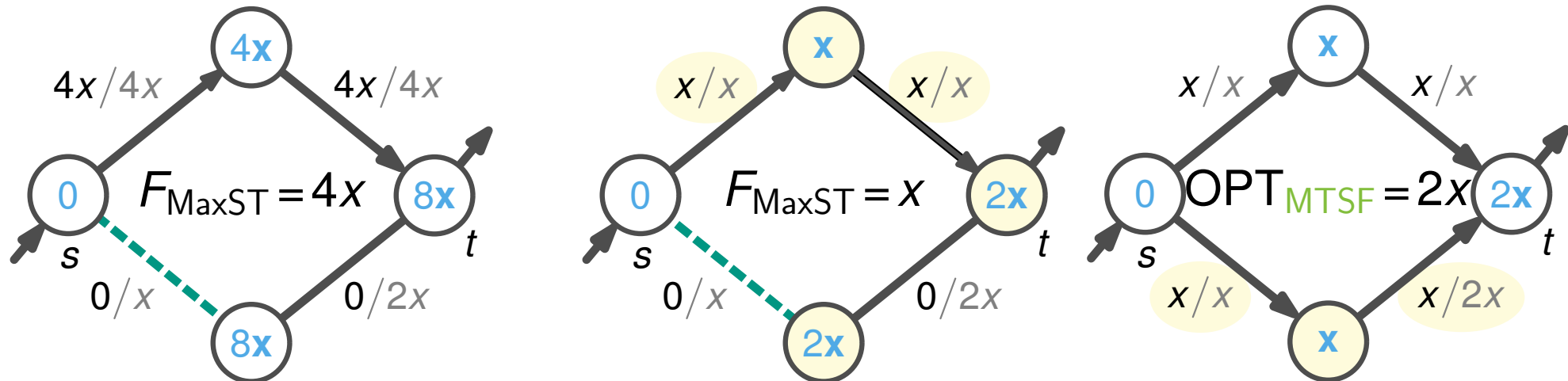
2-Approximation auf Kakteen

Beschreibung

- Entferne von jedem Kreis die Kante mit der kleinsten Kapazität
 \Leftrightarrow dem MAXIMUM SPANNING TREE (MaxST)

MaxST auf Kakteen

- MTSF ist NP-schwer auf Kakteen [Lehmann et al., 2014]



Satz 5 [Seite 348; Grastien et al., 2018]

MaxST ist ein 2-Approximationsalgorithmus für das MFP und MTSF-Problem auf Kakteen.

2-Approximation auf Kakteen

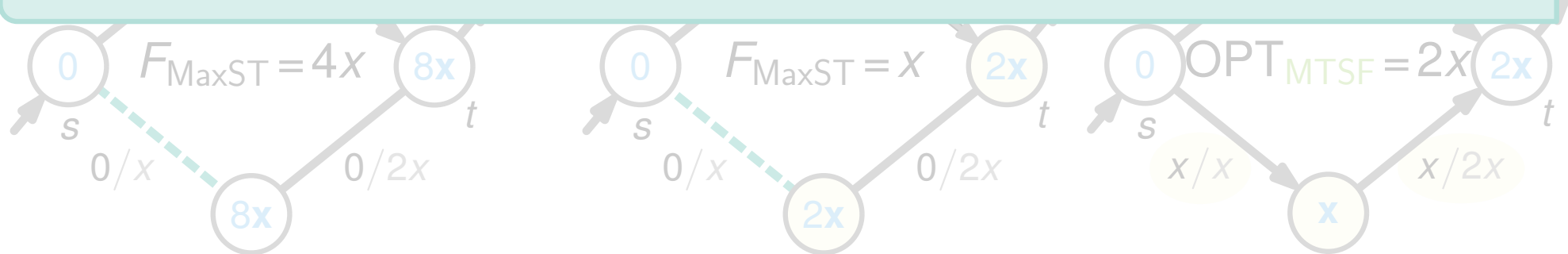
Beschreibung

- Entferne von jedem Kreis die Kante mit der kleinsten Kapazität
 \Leftrightarrow dem MAXIMUM SPANNING TREE (MaxST)

MaxST auf Kakteen

- MTSF ist NP-schwer auf Kakteen [Lehmann et al., 2014]

Auf Kakteen läuft der MaxST-Algorithmus in $\mathcal{O}(|V|)$ Zeit.



Satz 5 [Seite 348; Grastien et al., 2018]

MaxST ist ein 2-Approximationsalgorithmus für das MFP und MTSF-Problem auf Kakteen.

2-Approximation auf Kakteen

Daten: Ein Netzwerk $\mathcal{N} = (G, V_G, V_D, \text{cap}, b)$.

Ergebnis: $\text{OPT}_{\text{MPFP}}(\mathcal{N} - S)$, und geschaltete Kanten S .

```
1  $S = \emptyset$ ;  
2  $C = \text{dfs}(\mathcal{N})$ ;  
3 for  $c \in C$  do  
4    $S = S \cup \{\arg \min_{e \in c} (\text{cap}(e))\}$ ;  
5 end  
6 return ( $\text{OPT}_{\text{MFP}}(\mathcal{N} - S)$ ,  $S$ );
```

Lemma 6 [Seite 347; Grastien et al., 2018]

Sei $\mathcal{N} = (G, V_G, V_D, \text{cap}, b)$ ein Energienetz und sei S eine Menge $\arg \min_{e \in c} \text{cap}(e)$ von geschalteten Kanten für alle Kreise $c \in C$. Dann existiert ein elektrisch zulässiger Fluss f' auf $\mathcal{N} - S$, sodass $F(f') = \frac{1}{2} \text{OPT}_{\text{MFP}}(\mathcal{N})$.

BEWEIS.

$$|f(e)| = \left| \frac{1}{2} f^*(e) \right| \leq \frac{1}{2} \text{cap}(e),$$

$$|f(e_{\min})| \leq \frac{1}{2} \text{cap}(e_{\min}) \leq \frac{1}{2} \text{cap}(e),$$

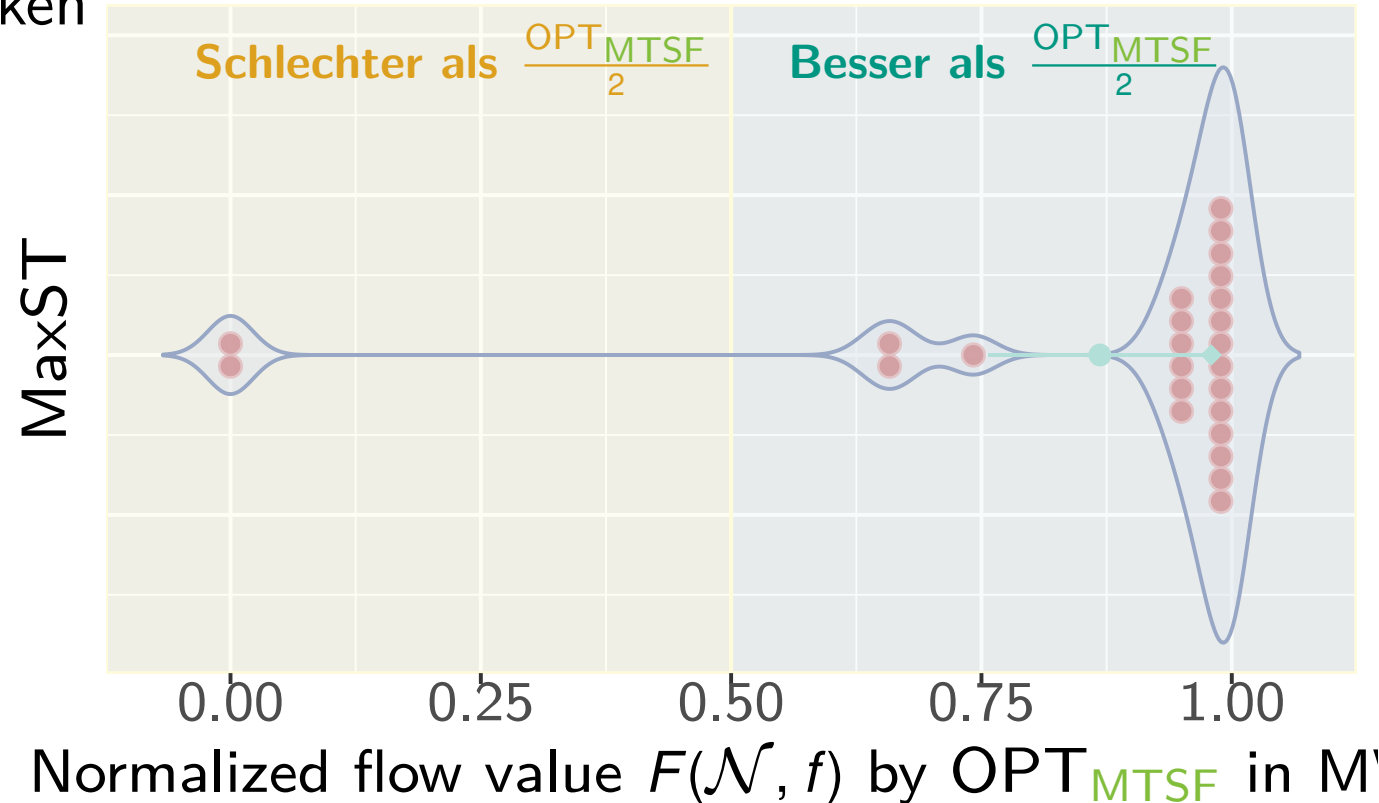
$$|f'(e)| = |f(e_{\min}) + f(e)| \leq \text{cap}(e).$$

□

Simulationen

[Seite 349; Grastien et al., 2018]

- Simulationen auf dem NESTA Benchmarksets, die realistischer sind als die IEEE-Benchmarksets, z.B., bzgl. der thermischen Leitungsschranken



MaxST auf **beliebigen Graphen** ist in den meisten Fällen sehr nah an einer optimalen Lösung OPT_{MTSF} .

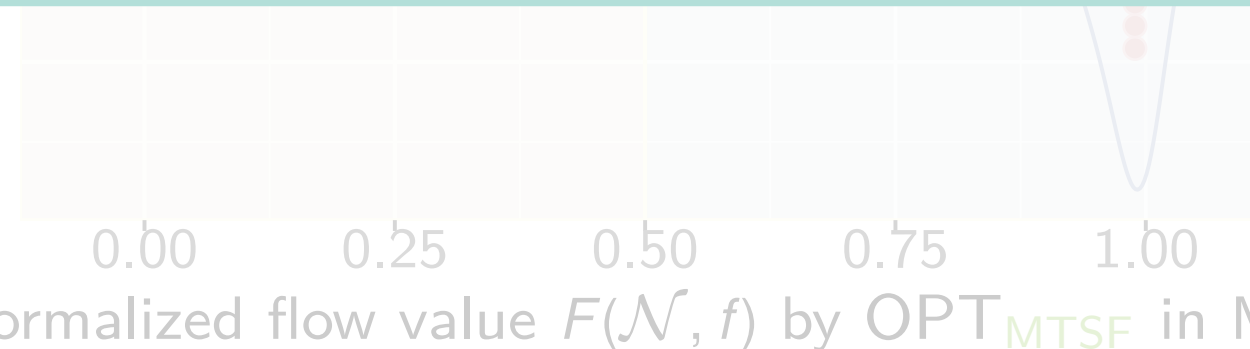
- Simulationen auf dem NESTA Benchmarksets, die realistischer sind als die IEEE-Benchmarksets, z.B., bzgl. der thermischen Leitungsschranken

Schlechter als $\frac{\text{OPT}_{\text{MTSF}}}{2}$

Besser als $\frac{\text{OPT}_{\text{MTSF}}}{2}$

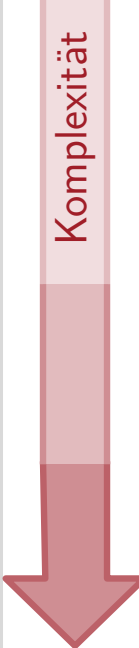


Auf beliebigen Graphen besitzt der MaxST-Algorithmus eine Laufzeit von $\mathcal{O}(|E| \alpha(|E|, |V|))$.



MaxST auf beliebigen Graphen ist in den meisten Fällen sehr nah an einer optimalen Lösung OPT_{MTSF} .

Überblick über MTSF Ergebnisse

	Graph Structure	Complexity	Algorithm
Komplexität 	Penrose-Minoren-freie Graphen Serienparallele Graphen	Polynomialzeit lösbar NP-schwer	DTP  X
	Kakteen mit Maximalgrad 3	NP-schwer [Lehmann et al., 2014]	2-approx.  X
	2-Level-Bäume	NP-schwer [Lehmann et al., 2014]	X
	planar graphs with max degree of 3	strongly NP-hard [Lehmann et al., 2014]	X
	beliebige Graphen	nicht-APX [Lehmann et al., 2014]	X

Überblick über MTSF Ergebnisse

	Graph Structure	Complexity	Algorithm
Komplexität 	Penrose-Minoren-freie Graphen Serienparallele Graphen	Polynomialzeit lösbar NP-schwer	DTP X
	Kakteen mit Maximalgrad 3	NP-schwer [Lehmann et al., 2014]	2-approx. X
	2-Level-Bäume	NP-schwer [Lehmann et al., 2014]	X
	planare Graphen mit Maximalgrad 3	stark NP-schwer [Lehmann et al., 2014]	X
	beliebige Graphen $ V_G = 2, V_D = 2$	nicht-APX [Lehmann et al., 2014]	X

Hamilton Path Problem (HPP) & Hamilton Cycle Problem (HCP)

[Seite 196; Skiena, 1990]

Hamilton Path Problem (HPP)

[Seiten 199–200; Garey und Johnson, 1983]

Instanz: Ein Graph $G_{\text{HPP}} = (V_{\text{HPP}}, E_{\text{HPP}})$.

Frage: Existiert ein Pfad $\pi^* \in \Pi$, der jeden Knoten genau einmal besucht.

Hamilton Cycle Problem (HCP)

Instanz: Ein Graph $G_{\text{HCP}} = (V_{\text{HCP}}, E_{\text{HCP}})$.

Frage: Existiert ein Graphkreis in G_{HCP} , der jeden Knoten genau einmal besucht.

- Ein Graph, der einen Hamiltonianpfad besitzt wird als *traceable Graph* bezeichnet.
- Hamiltoniankreis wird als *Hamiltoniangraph* bezeichnet
- HCP ist stark NP-vollständig selbst für planare und kubische Graphen

[Seite 95; Garey und Johnson, 1983]

[Lehmann et al., 2014]

Logische Folge 7 [Seite 13; Lehmann et al., 2014]

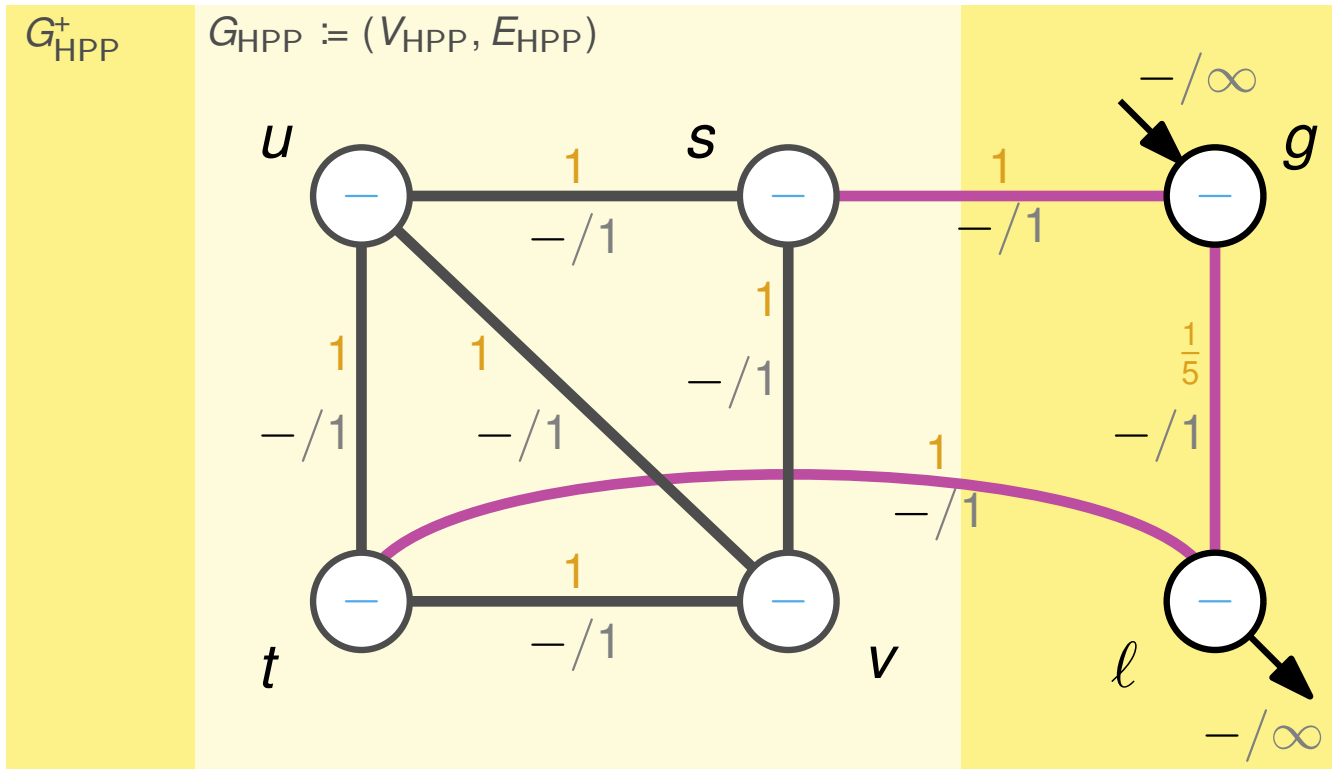
Das Zulässigkeitsproblem für planare Netzwerke mit einem maximalen Grad von 3 ist stark NP-schwer.

MTSF auf planaren Graphen ist stark NP-schwer

[Lehmann et al., 2014] 
Karlsruher Institut für Technologie

Instanz $\mathcal{N} = (G = (V \cup V_{\text{HPP}}, E \cup E_{\text{HPP}}), V_G = \{g\}, V_D = \{\ell\}, \text{cap}, b, \overline{p_g}, \overline{p_d})$

- Knotenmenge $V_{\text{HPP}} = \{v_1, v_2, \dots, v_n\}$, and $\overline{p_g} = \overline{p_d} = \infty$,
- Kantenmenge $E = E_{\text{HPP}} \cup \{(g, s), (t, \ell), (g, \ell)\}$,
- Kantenparameter $\text{cap}(e) := b(e) := 1$ $\forall e \in E \setminus \{(g, \ell)\}$,
 $\text{cap}(g, \ell) := 1, b(g, \ell) := \frac{1}{n+1}$,

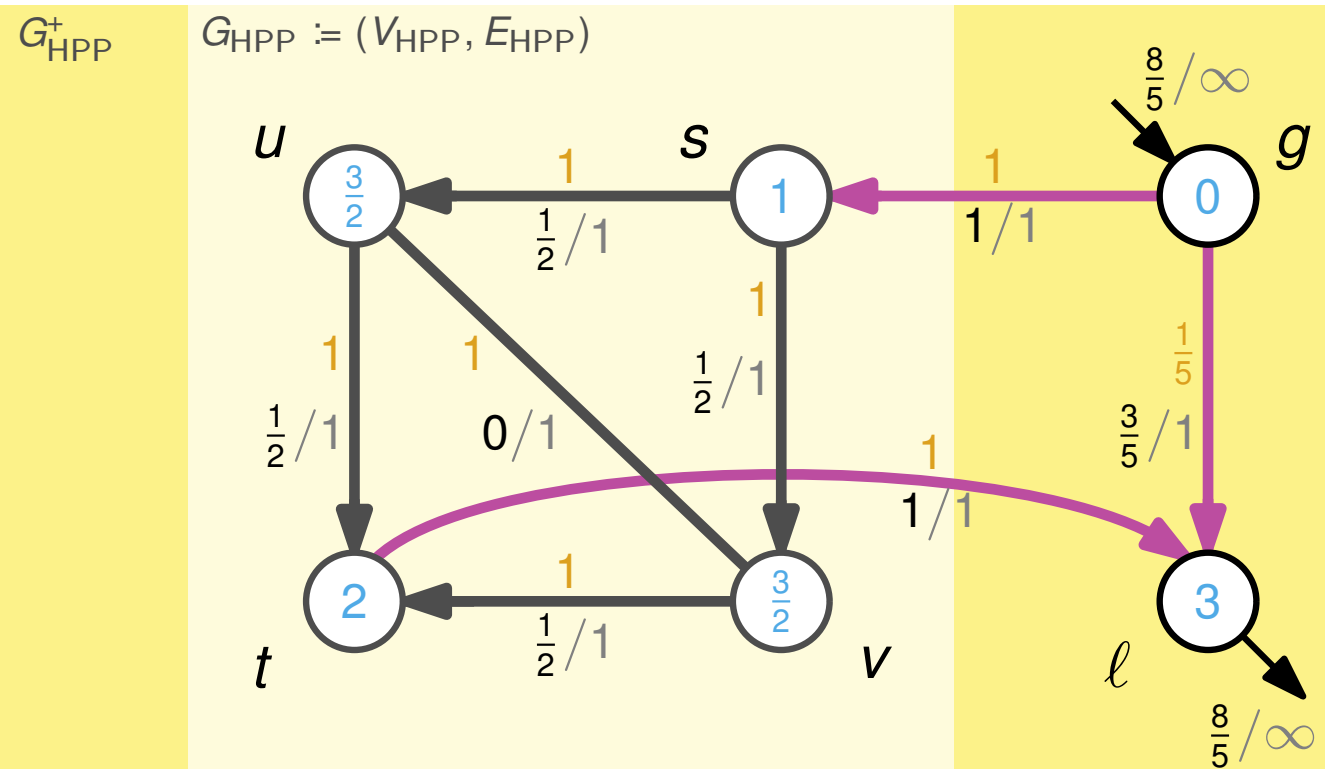


MTSF auf planaren Graphen ist stark NP-schwer

[Lehmann et al., 2014] 
Karlsruher Institut für Technologie

Instanz $\mathcal{N} = (G = (V \cup V_{\text{HPP}}, E \cup E_{\text{HPP}}), V_G = \{g\}, V_D = \{\ell\}, \text{cap}, b, \overline{p_g}, \overline{p_d})$

- Knotenmenge $V_{\text{HPP}} = \{v_1, v_2, \dots, v_n\}$, and $\overline{p_g} = \overline{p_d} = \infty$,
- Kantenmenge $E = E_{\text{HPP}} \cup \{(g, s), (t, \ell), (g, \ell)\}$,
- Kantenparameter $\text{cap}(e) := b(e) := 1$ $\forall e \in E \setminus \{(g, \ell)\}$,
- $\text{cap}(g, \ell) := 1, b(g, \ell) := \frac{1}{n+1}$,



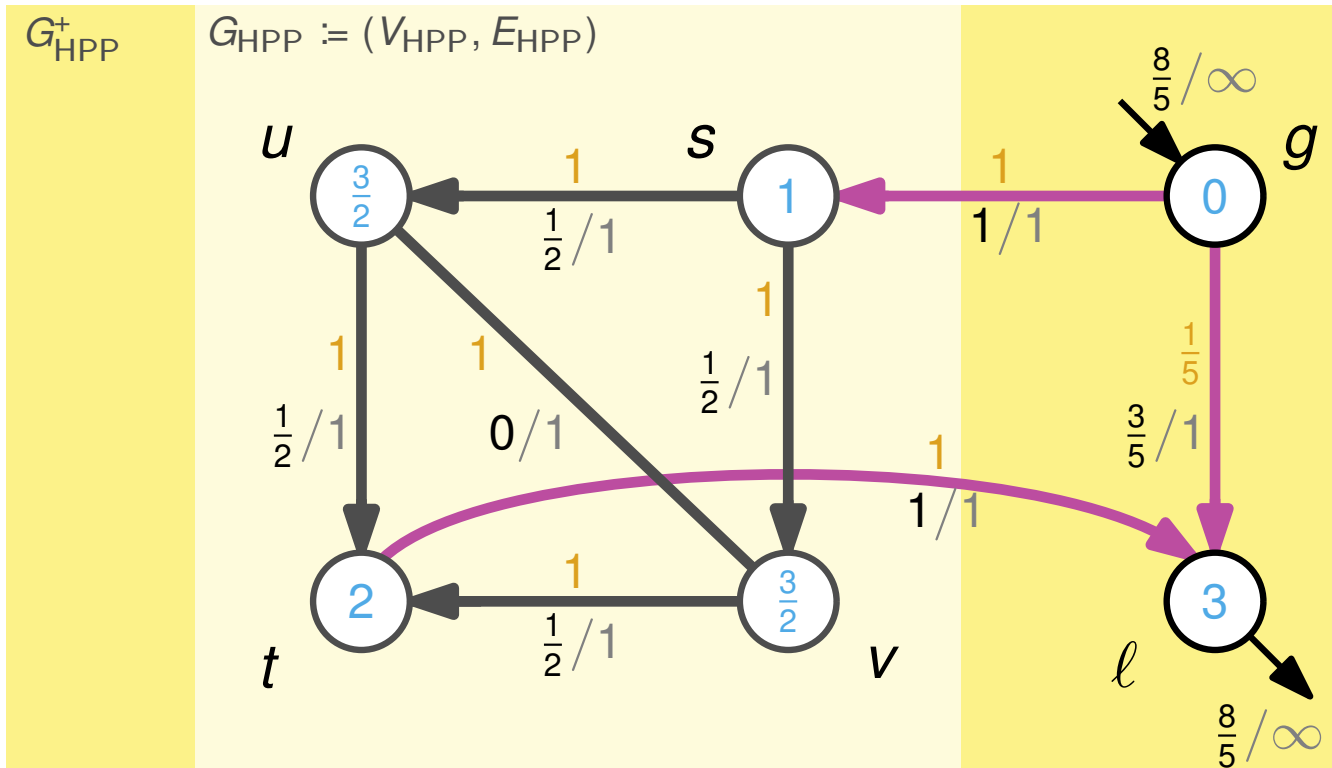
$$\text{OPT}_{\text{MPF}}(\mathcal{N}) = \frac{8}{5}$$

MTSF auf planaren Graphen ist stark NP-schwer

[Lehmann et al., 2014] 
Karlsruher Institut für Technologie

Instanz $\mathcal{N} = (G = (V \cup V_{\text{HPP}}, E \cup E_{\text{HPP}}), V_G = \{g\}, V_D = \{\ell\}, \text{cap}, b, \overline{p_g}, \overline{p_d})$

- Knotenmenge $V_{\text{HPP}} = \{v_1, v_2, \dots, v_n\}$, and $\overline{p_g} = \overline{p_d} = \infty$,
- Kantenmenge $E = E_{\text{HPP}} \cup \{(g, s), (t, \ell), (g, \ell)\}$,
- Kantenparameter $\text{cap}(e) := b(e) := 1$ $\forall e \in E \setminus \{(g, \ell)\}$,
 $\text{cap}(g, \ell) := 1, b(g, \ell) := \frac{1}{n+1}$,



G_{HPP} beschränkt den $\max \Delta\theta^\nu(s, t)$, der den maximalen Leistungsfluss in \mathcal{N} beschränkt

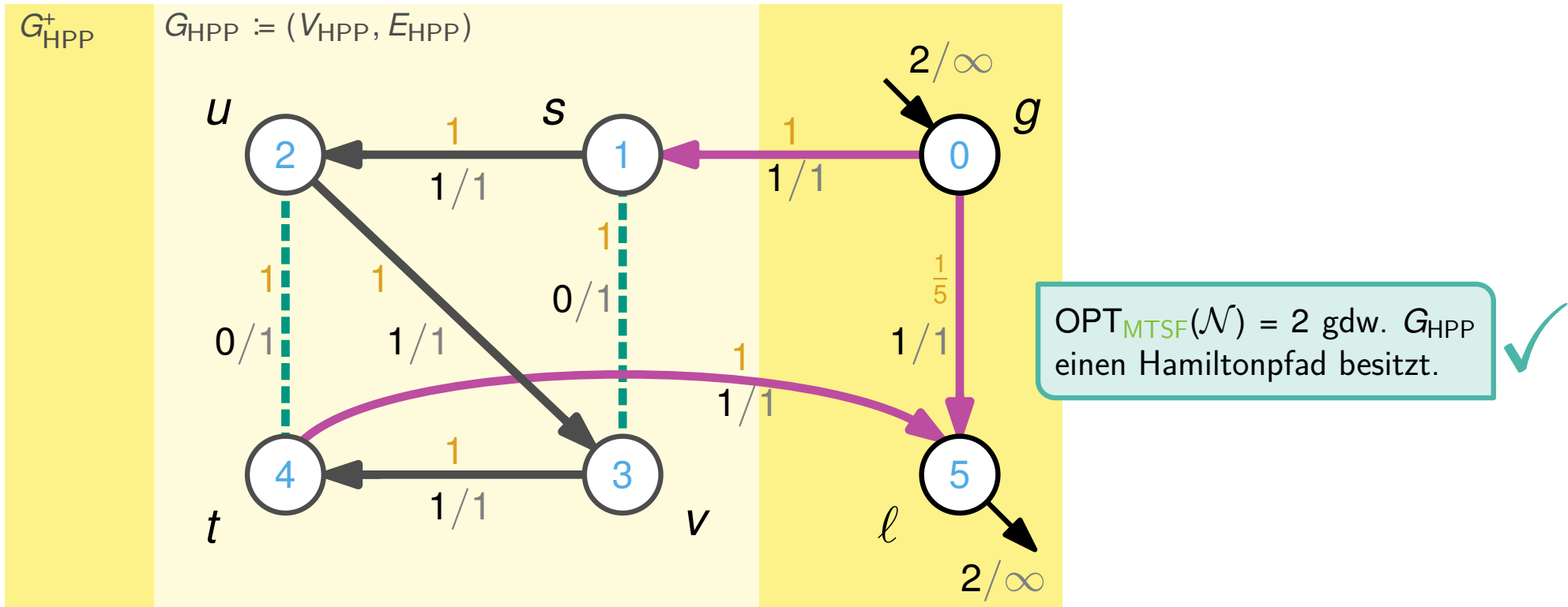
$$\text{OPT}_{\text{MPF}}(G_{\text{HPP}}^+) = \frac{8}{5}$$

MTSF auf planaren Graphen ist stark NP-schwer

[Lehmann et al., 2014] 
Karlsruher Institut für Technologie

Instanz $\mathcal{N} = (G = (V \cup V_{\text{HPP}}, E \cup E_{\text{HPP}}), V_G = \{g\}, V_D = \{\ell\}, \text{cap}, b, \overline{p_g}, \overline{p_d})$

- Knotenmenge $V_{\text{HPP}} = \{v_1, v_2, \dots, v_n\}$, and $\overline{p_g} = \overline{p_d} = \infty$,
- Kantenmenge $E = E_{\text{HPP}} \cup \{(g, s), (t, \ell), (g, \ell)\}$,
- Kantenparameter $\text{cap}(e) := b(e) := 1$ $\forall e \in E \setminus \{(g, \ell)\}$,
 $\text{cap}(g, \ell) := 1, b(g, \ell) := \frac{1}{n+1}$,



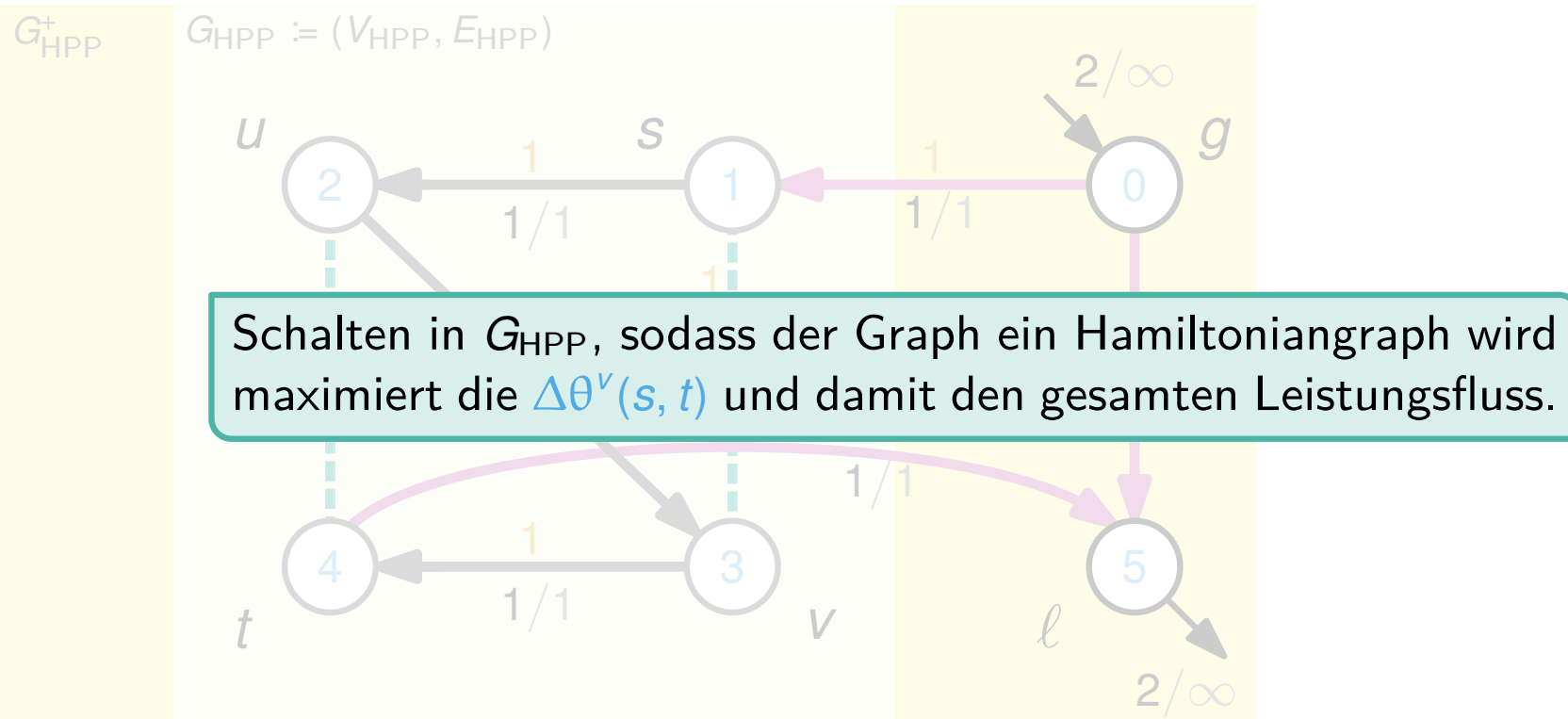
$$\text{OPT}_{\text{MTSF}}(G_{\text{HPP}}^+) = 2$$

MTSF auf planaren Graphen ist stark NP-schwer

[Lehmann et al., 2014] 
Karlsruher Institut für Technologie

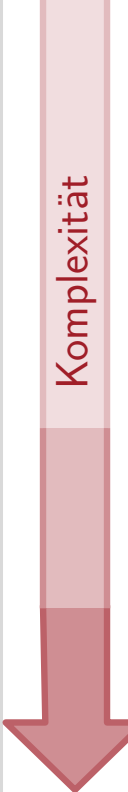
Instanz $\mathcal{N} = (G = (V \cup V_{\text{HPP}}, E \cup E_{\text{HPP}}), V_G = \{g\}, V_D = \{\ell\}, \text{cap}, b, \overline{p_g}, \overline{p_d})$

- Knotenmenge $V_{\text{HPP}} = \{v_1, v_2, \dots, v_n\}$, and $\overline{p_g} = \overline{p_d} = \infty$,
- Kantenmenge $E = E_{\text{HPP}} \cup \{(g, s), (t, \ell), (g, \ell)\}$,
- Kantenparameter $\text{cap}(e) := b(e) := 1$ $\forall e \in E \setminus \{(g, \ell)\}$,
 $\text{cap}(g, \ell) := 1, b(g, \ell) := \frac{1}{n+1}$,



$$\text{OPT}_{\text{MTSF}}(G_{\text{HPP}}^+) = 2$$

Überblick über die MTSF Ergebnisse

	Graphenstruktur	Komplexität	Algorithmus
Komplexität 	Penrose-Minoren-freie Graphen Serienparallele Graphen	Polynomialzeit lösbar NP-schwer	DTP X
	Kakteen mit Maximalgrad 3	NP-schwer [Lehmann et al., 2014]	2-approx. X
	2-Level-Bäume	NP-schwer [Lehmann et al., 2014]	X
	Planare Graphen mit Maximalgrad 3	stark NP-schwer [Lehmann et al., 2014]	X
	Beliebige Graphen	nicht-APX [Lehmann et al., 2014]	X

Überblick über die MTSF Ergebnisse

	Graphenstruktur	Komplexität	Algorithmus
Komplexität $ V_G = 2, V_D = 2$	Penrose-Minoren-freie Graphen Serienparallele Graphen	Polynomialzeit lösbar NP-schwer	DTP ✓ X
	Kakteen mit Maximalgrad 3	NP-schwer [Lehmann et al., 2014]	2-approx. ✓ X
	2-Level-Bäume	NP-schwer [Lehmann et al., 2014]	X
	Planare Graphen mit Maximalgrad 3	stark NP-schwer [Lehmann et al., 2014]	X
	Beliebige Graphen	nicht-APX [Lehmann et al., 2014]	X

Längste Pfade (LP)

Instanz: Ein Netzwerk $\mathcal{N}_{LP} = (G_{LP} = (V_{LP}, E_{LP}), \text{len})$, eine Längenfunktion $\text{len}: E \rightarrow \mathbb{R}_{\geq 0}$ und zwei ausgezeichnete Knoten $s, t \in V$.

Frage: Finde einen einfachen Pfad $\pi^* \in \Pi(s, t)$ von s nach t von maximaler Länge—bedeutet $\max_{\pi \in \Pi(s, t)} \sum_{(u, v) \in \pi} \text{len}(u, v)$ —in dem Netzwerk \mathcal{N}_{LP} .

- Auch als TAXICAB RIPOFF Problem bekannt

Längste Pfade (LP)

Instanz: Ein Netzwerk $\mathcal{N}_{LP} = (G_{LP} = (V_{LP}, E_{LP}), \text{len})$, eine Längenfunktion $\text{len}: E \rightarrow \mathbb{R}_{\geq 0}$ und zwei ausgezeichnete Knoten $s, t \in V$.

Frage: Finde einen einfachen Pfad $\pi^* \in \Pi(s, t)$ von s nach t von maximaler Länge—bedeutet $\max_{\pi \in \Pi(s, t)} \sum_{(u, v) \in \pi} \text{len}(u, v)$ —in dem Netzwerk \mathcal{N}_{LP} .

- Auch als TAXICAB RIPOFF Problem bekannt
- Für alle $\epsilon > 0$ ist es nicht möglich LP innerhalb eines Faktors von $2^{(\log n)^{1-\epsilon}}$ zu approximieren außer NP ist in quasipolynomial-deterministischer Zeit.

MTSF auf beliebigen Graphen ist nicht-APX

[Lehmann et al., 2014]

Satz 8 [Seiten 10–12; Lehmann et al., 2014]

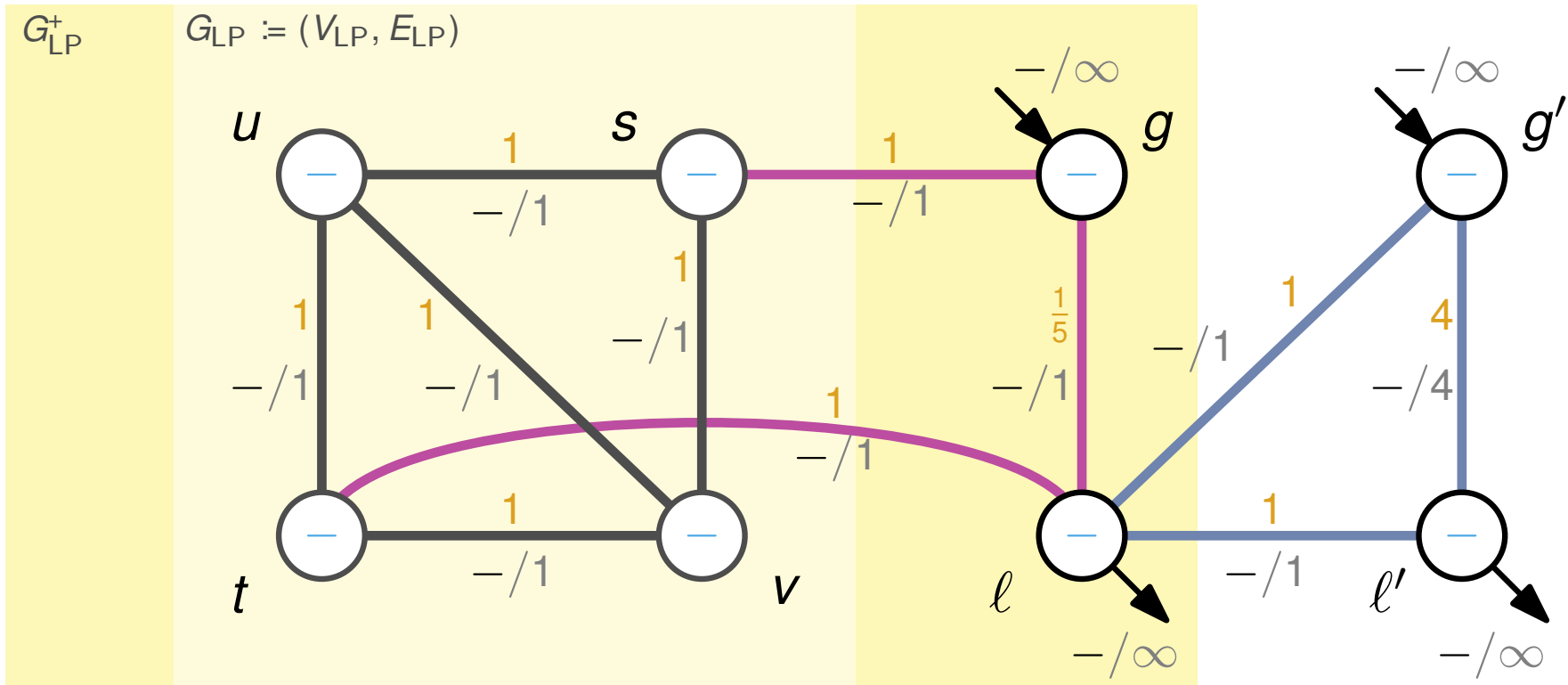
Es ist nicht möglich das MTSF-Problem innerhalb eines Faktors von $2^{(\log n)^{1-\epsilon}}$ zu approximieren außer NP ist in quasipolynomial-deterministischer Zeit enthalten.

MTSF auf beliebigen Graphen ist nicht-APX

[Lehmann et al., 2014]

Instanz $\mathcal{N} = (G = (V \cup V_{LP}, E \cup E_{LP}), V_G = \{g, g'\}, V_D = \{\ell, \ell'\}, \text{cap}, b, \overline{p_g}, \underline{p_d}_\ell = 3, \overline{p_d})$

- Knotenmenge $V_{LP} = \{v_1, v_2, \dots, v_n\}$, und $\overline{p_g} = \overline{p_d} = \infty$,
- Kantenmenge $E = E_{LP} \cup \{(g, s), (t, \ell), (g, \ell), (g', \ell'), (g', \ell), (\ell', \ell)\}$,
- Kantenparameter $\text{cap}(e) := b(e) := 1 \quad \forall e \in E \setminus \{(g, \ell), (g', \ell')\}$,
 $\text{cap}(g, \ell) := 1, b(g, \ell) := \frac{1}{n+1},$
 $\text{cap}(g', \ell') := n, b(g', \ell') := n$

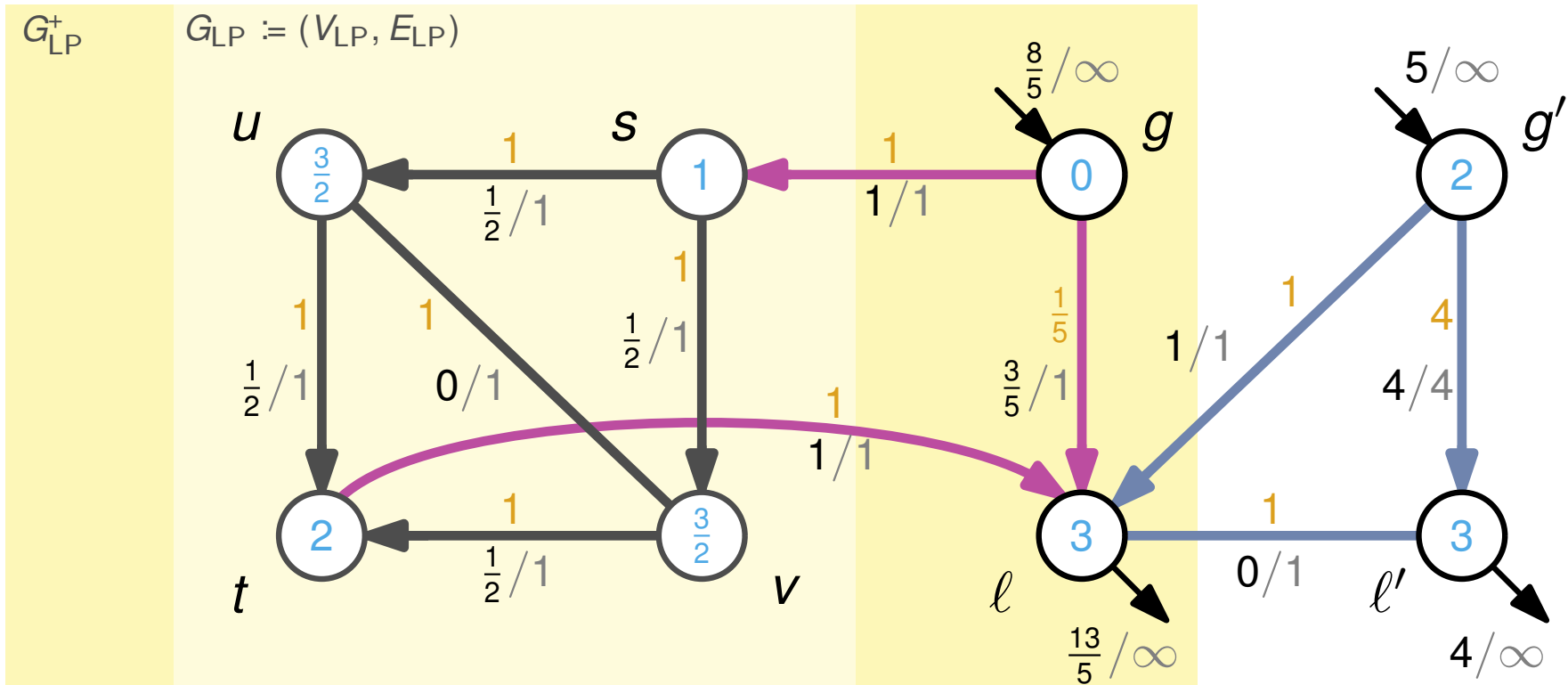


MTSF auf beliebigen Graphen ist nicht-APX

[Lehmann et al., 2014]

Instanz $\mathcal{N} = (G = (V \cup V_{LP}, E \cup E_{LP}), V_G = \{g, g'\}, V_D = \{\ell, \ell'\}, \text{cap}, b, \overline{p_g}, \underline{p_d}_\ell = 3, \overline{p_d})$

- Knotenmenge $V_{LP} = \{v_1, v_2, \dots, v_n\}$, und $\overline{p_g} = \overline{p_d} = \infty$,
- Kantenmenge $E = E_{LP} \cup \{(g, s), (t, \ell), (g, \ell), (g', \ell'), (g', \ell), (\ell', \ell)\}$,
- Kantenparameter $\text{cap}(e) := b(e) := 1 \quad \forall e \in E \setminus \{(g, \ell), (g', \ell')\}$,
 $\text{cap}(g, \ell) := 1, b(g, \ell) := \frac{1}{n+1},$
 $\text{cap}(g', \ell') := n, b(g', \ell') := n$



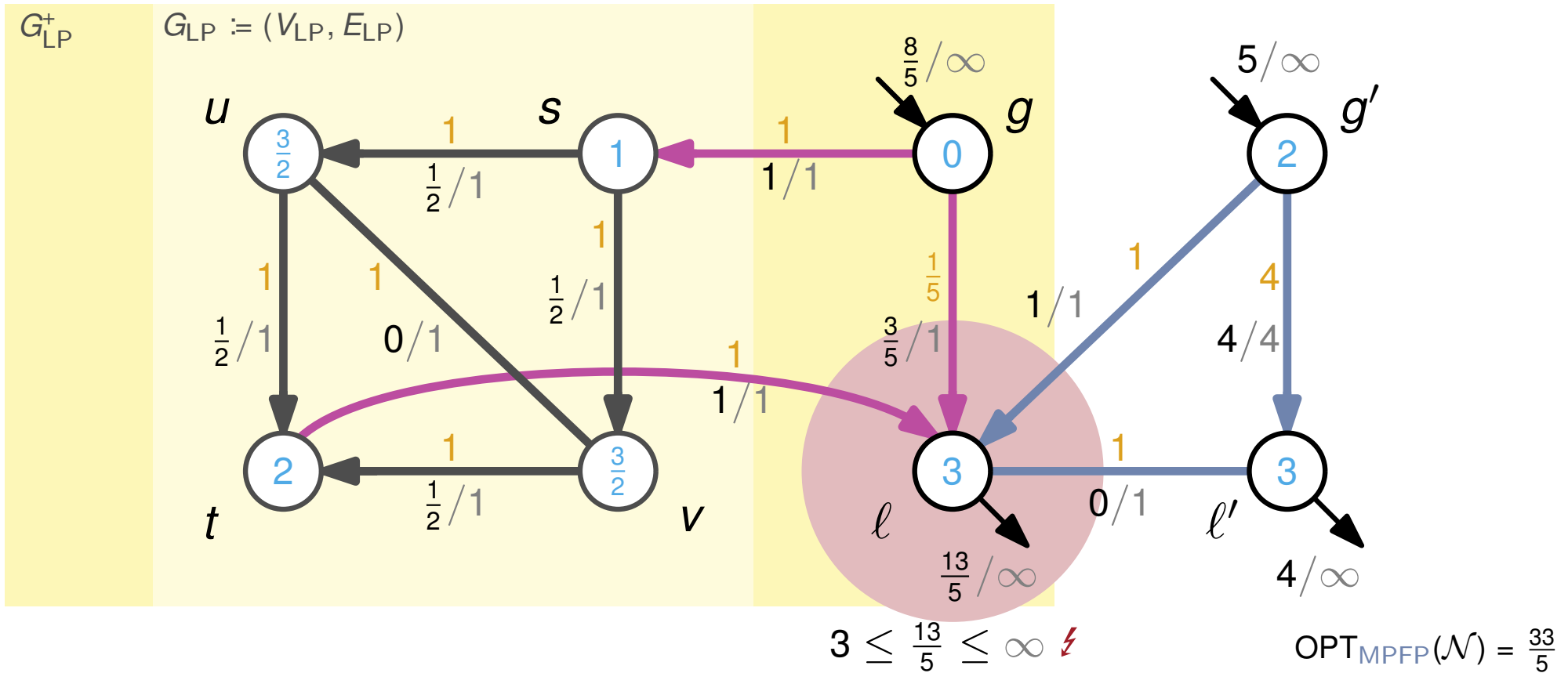
$$\text{OPT}_{\text{MPFP}}(\mathcal{N}) = \frac{33}{5}$$

MTSF auf beliebigen Graphen ist nicht-APX

[Lehmann et al., 2014]

Instanz $\mathcal{N} = (G = (V \cup V_{LP}, E \cup E_{LP}), V_G = \{g, g'\}, V_D = \{\ell, \ell'\}, \text{cap}, b, \overline{p}_g, \underline{p}_d = 3, \overline{p}_d)$

- Knotenmenge $V_{LP} = \{v_1, v_2, \dots, v_n\}$, und $\overline{p}_g = \overline{p}_d = \infty$,
 - Kantenmenge $E = E_{LP} \cup \{(g, s), (t, \ell), (g, \ell), (g', \ell'), (g', \ell), (\ell', \ell)\}$,
 - Kantenparameter $\text{cap}(e) := b(e) := 1 \quad \forall e \in E \setminus \{(g, \ell), (g', \ell')\}$,
- $$\begin{aligned} \text{cap}(g, \ell) &:= 1, b(g, \ell) := \frac{1}{n+1}, \\ \text{cap}(g', \ell') &:= n, b(g', \ell') := n \end{aligned}$$

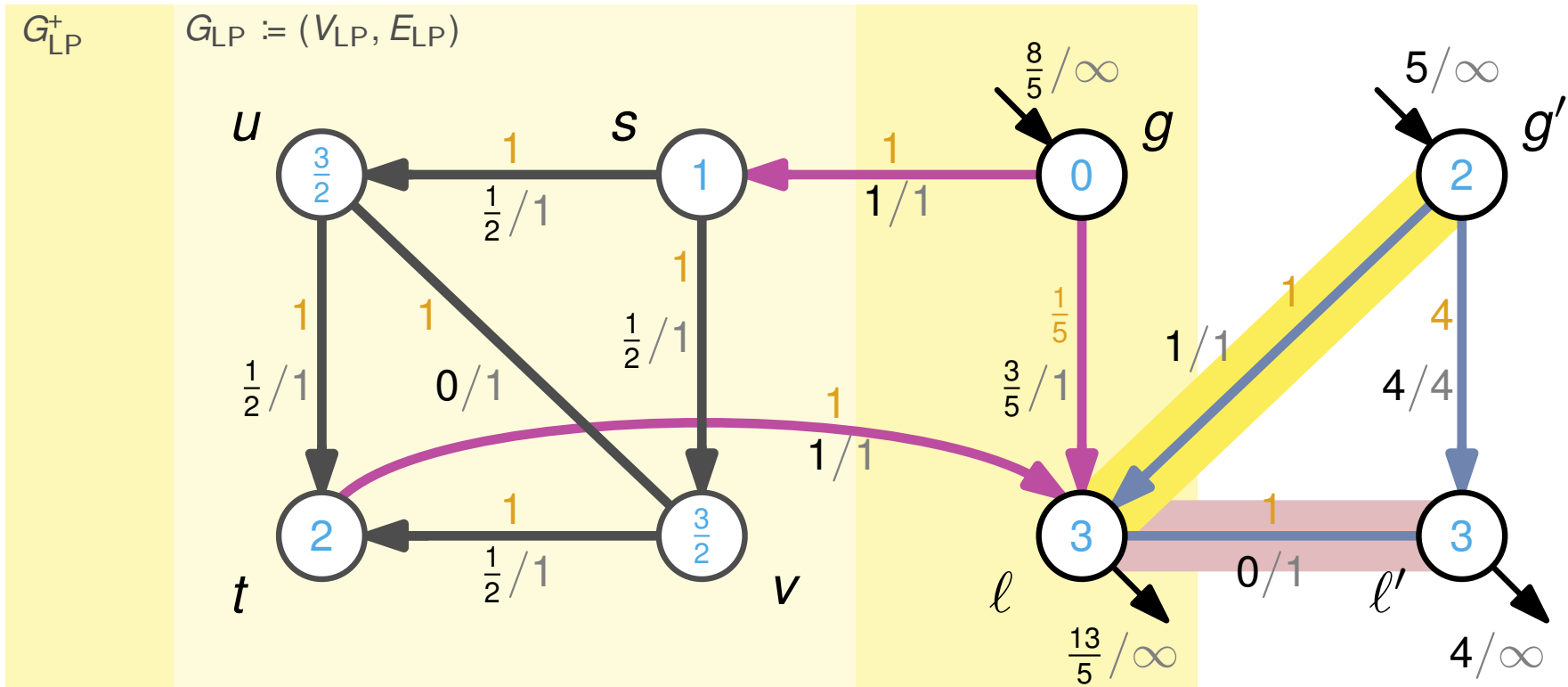


MTSF auf beliebigen Graphen ist nicht-APX

[Lehmann et al., 2014]

Instanz $\mathcal{N} = (G = (V \cup V_{LP}, E \cup E_{LP}), V_G = \{g, g'\}, V_D = \{\ell, \ell'\}, \text{cap}, b, \overline{p_g}, \underline{p_d}_\ell = 3, \overline{p_d})$

- Knotenmenge $V_{LP} = \{v_1, v_2, \dots, v_n\}$, und $\overline{p_g} = \overline{p_d} = \infty$,
- Kantenmenge $E = E_{LP} \cup \{(g, s), (t, \ell), (g, \ell), (g', \ell'), (g', \ell), (\ell', \ell)\}$,
- Kantenparameter $\text{cap}(e) := b(e) := 1 \quad \forall e \in E \setminus \{(g, \ell), (g', \ell')\}$,
 $\text{cap}(g, \ell) := 1, b(g, \ell) := \frac{1}{n+1},$
 $\text{cap}(g', \ell') := n, b(g', \ell') := n$



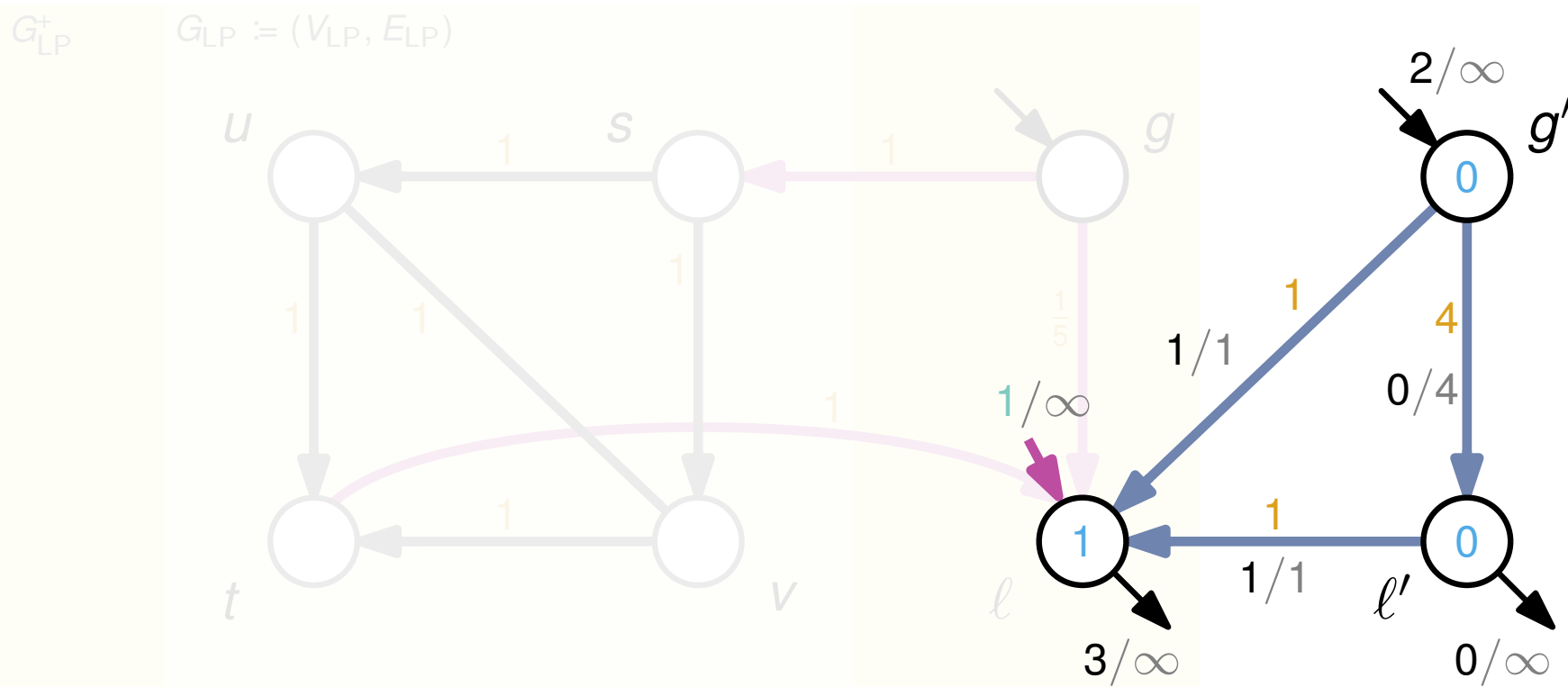
$$\text{OPT}_{\text{MPFP}}(\mathcal{N}) = \frac{33}{5}$$

MTSF auf beliebigen Graphen ist nicht-APX

[Lehmann et al., 2014]

Instanz $\mathcal{N} = (G = (V \cup V_{LP}, E \cup E_{LP}), V_G = \{g, g'\}, V_D = \{\ell, \ell'\}, \text{cap}, b, \overline{p_g}, \underline{p_d}_\ell = 3, \overline{p_d})$

- Knotenmenge $V_{LP} = \{v_1, v_2, \dots, v_n\}$, und $\overline{p_g} = \overline{p_d} = \infty$,
- Kantenmenge $E = E_{LP} \cup \{(g, s), (t, \ell), (g, \ell), (g', \ell'), (g', \ell), (\ell', \ell)\}$,
- Kantenparameter $\text{cap}(e) := b(e) := 1 \quad \forall e \in E \setminus \{(g, \ell), (g', \ell')\}$,
 $\text{cap}(g, \ell) := 1, b(g, \ell) := \frac{1}{n+1}$,
 $\text{cap}(g', \ell') := n, b(g', \ell') := n$

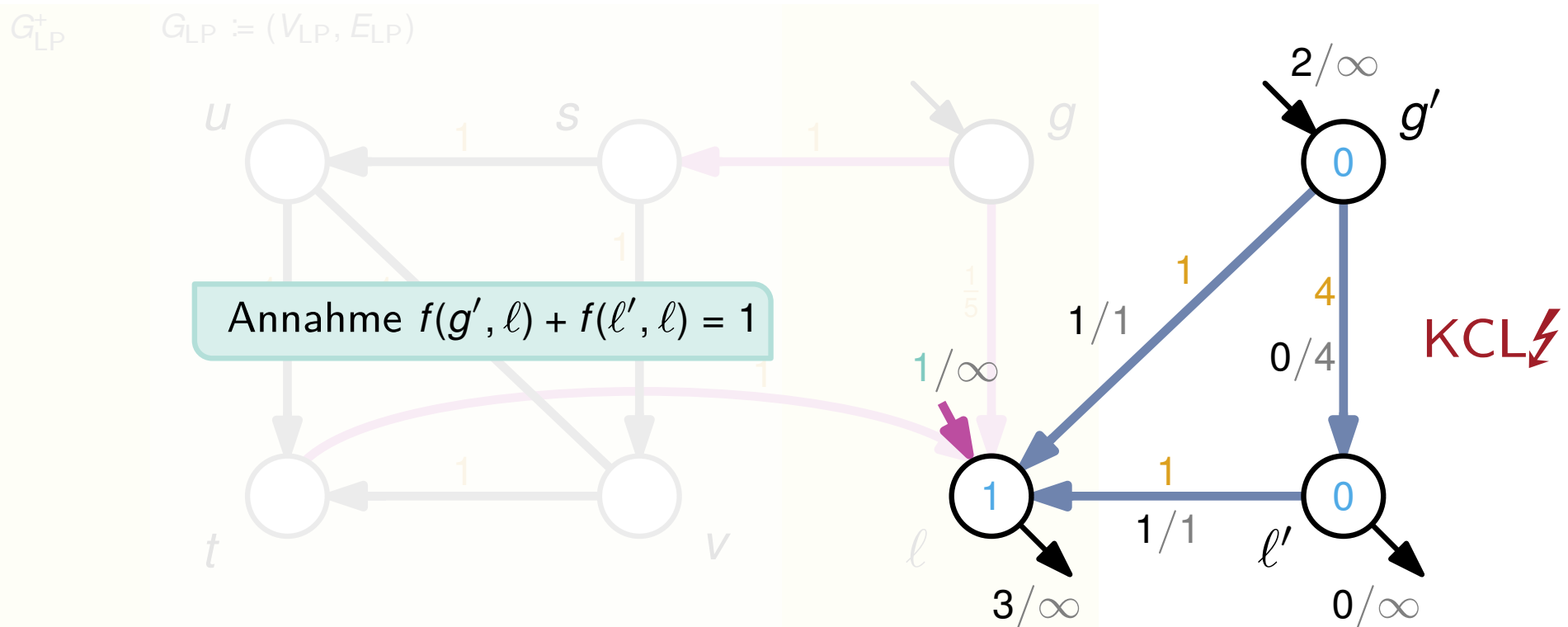


MTSF auf beliebigen Graphen ist nicht-APX

[Lehmann et al., 2014]

Instanz $\mathcal{N} = (G = (V \cup V_{LP}, E \cup E_{LP}), V_G = \{g, g'\}, V_D = \{\ell, \ell'\}, \text{cap}, b, \overline{p_g}, \underline{p_d}_\ell = 3, \overline{p_d})$

- Knotenmenge $V_{LP} = \{v_1, v_2, \dots, v_n\}$, und $\overline{p_g} = \overline{p_d} = \infty$,
- Kantenmenge $E = E_{LP} \cup \{(g, s), (t, \ell), (g, \ell), (g', \ell'), (g', \ell), (\ell', \ell)\}$,
- Kantenparameter $\text{cap}(e) := b(e) := 1 \quad \forall e \in E \setminus \{(g, \ell), (g', \ell')\}$,
 $\text{cap}(g, \ell) := 1, b(g, \ell) := \frac{1}{n+1},$
 $\text{cap}(g', \ell') := n, b(g', \ell') := n$



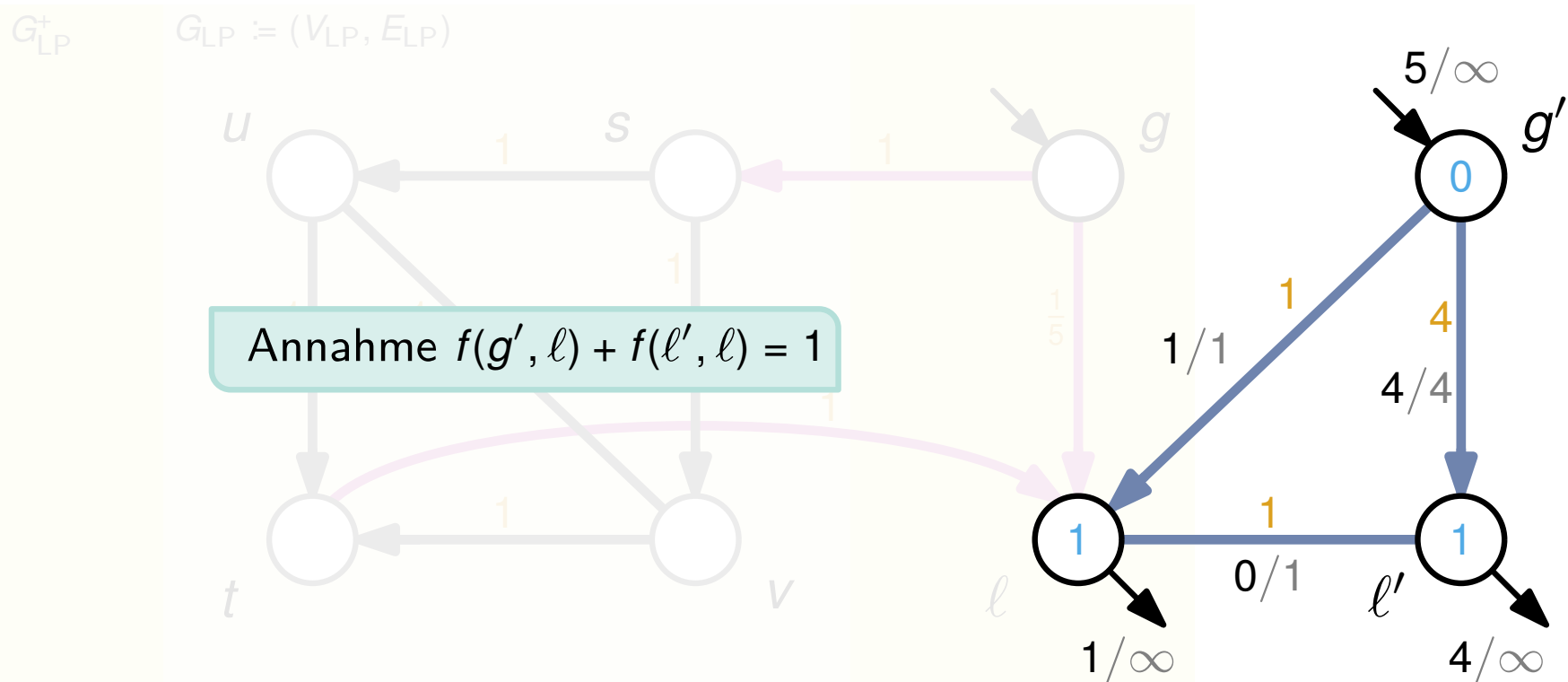
Was ist der maximal mögliche Leistungsfluss in $(\mathcal{N} \setminus G_{LP}) - g$?

MTSF auf beliebigen Graphen ist nicht-APX

[Lehmann et al., 2014]

Instanz $\mathcal{N} = (G = (V \cup V_{LP}, E \cup E_{LP}), V_G = \{g, g'\}, V_D = \{\ell, \ell'\}, \text{cap}, b, \overline{p_g}, \underline{p_d}_\ell = 3, \overline{p_d})$

- Knotenmenge $V_{LP} = \{v_1, v_2, \dots, v_n\}$, und $\overline{p_g} = \overline{p_d} = \infty$,
- Kantenmenge $E = E_{LP} \cup \{(g, s), (t, \ell), (g, \ell), (g', \ell'), (g', \ell), (\ell', \ell)\}$,
- Kantenparameter $\text{cap}(e) := b(e) := 1 \quad \forall e \in E \setminus \{(g, \ell), (g', \ell')\}$,
 $\text{cap}(g, \ell) := 1, b(g, \ell) := \frac{1}{n+1},$
 $\text{cap}(g', \ell') := n, b(g', \ell') := n$



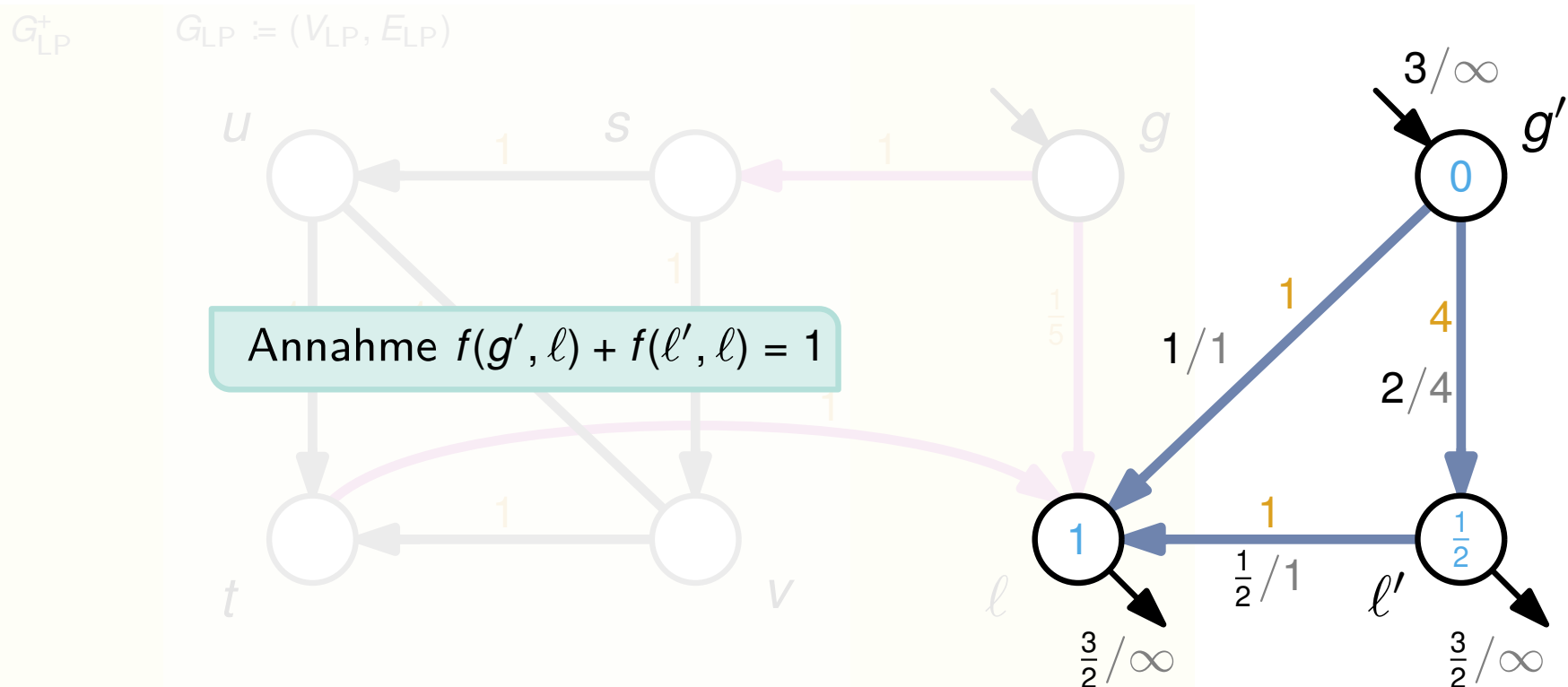
Was ist der maximal mögliche Leistungsfluss in $(\mathcal{N} \setminus G_{LP}) - g$? $\text{OPT}_{\text{MPFP}}((\mathcal{N} \setminus G_{LP}) - g) = 5$

MTSF auf beliebigen Graphen ist nicht-APX

[Lehmann et al., 2014]

Instanz $\mathcal{N} = (G = (V \cup V_{LP}, E \cup E_{LP}), V_G = \{g, g'\}, V_D = \{\ell, \ell'\}, \text{cap}, b, \overline{p_g}, \underline{p_d}_\ell = 3, \overline{p_d})$

- Knotenmenge $V_{LP} = \{v_1, v_2, \dots, v_n\}$, und $\overline{p_g} = \overline{p_d} = \infty$,
- Kantenmenge $E = E_{LP} \cup \{(g, s), (t, \ell), (g, \ell), (g', \ell'), (g', \ell), (\ell', \ell)\}$,
- Kantenparameter $\text{cap}(e) := b(e) := 1 \quad \forall e \in E \setminus \{(g, \ell), (g', \ell')\}$,
 $\text{cap}(g, \ell) := 1, b(g, \ell) := \frac{1}{n+1}$,
 $\text{cap}(g', \ell') := n, b(g', \ell') := n$



Was ist der maximal mögliche Verbrauch für ℓ in $(\mathcal{N} \setminus G_{LP}) - g$?

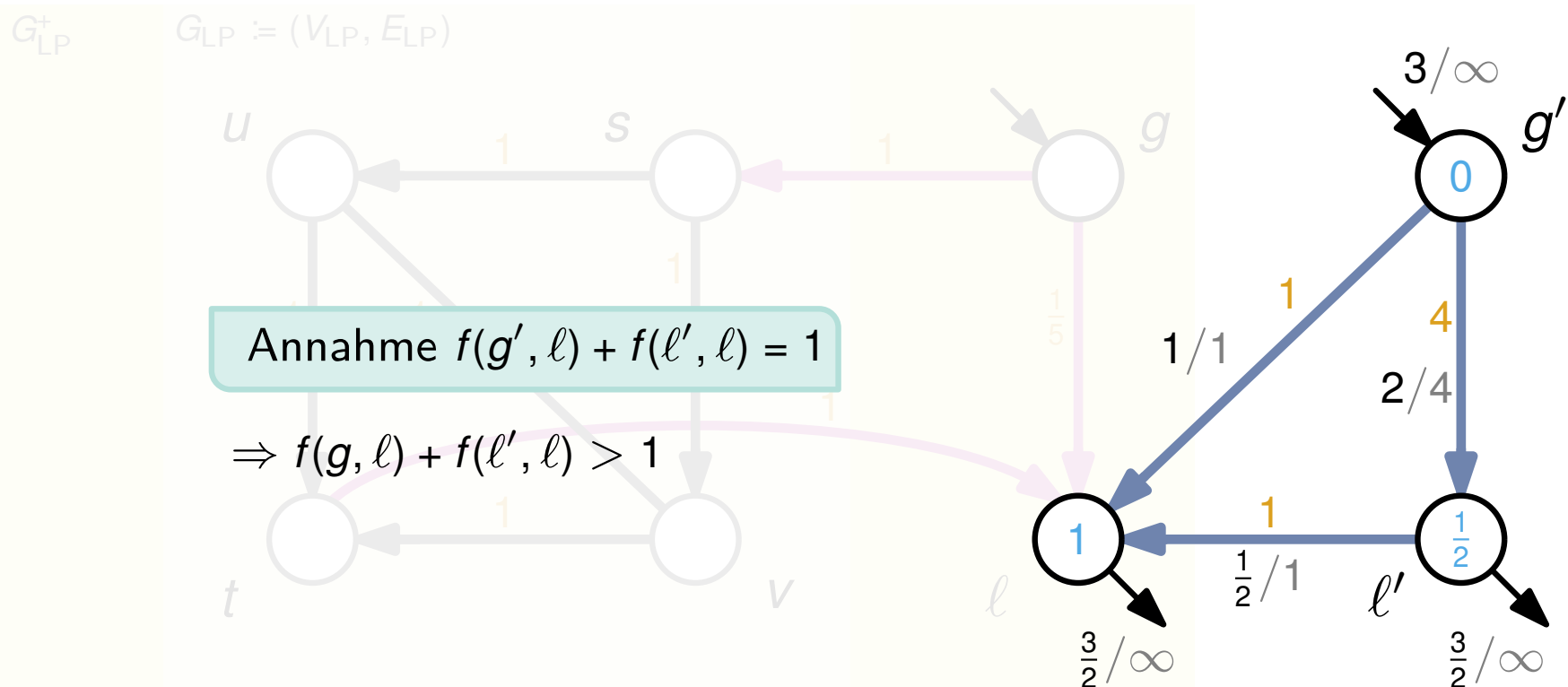
$$-\max f_{\text{net}}(\ell) = 3$$

MTSF auf beliebigen Graphen ist nicht-APX

[Lehmann et al., 2014]

Instanz $\mathcal{N} = (G = (V \cup V_{LP}, E \cup E_{LP}), V_G = \{g, g'\}, V_D = \{\ell, \ell'\}, \text{cap}, b, \overline{p_g}, \underline{p_d}_\ell = 3, \overline{p_d})$

- Knotenmenge $V_{LP} = \{v_1, v_2, \dots, v_n\}$, und $\overline{p_g} = \overline{p_d} = \infty$,
- Kantenmenge $E = E_{LP} \cup \{(g, s), (t, \ell), (g, \ell), (g', \ell'), (g', \ell), (\ell', \ell)\}$,
- Kantenparameter $\text{cap}(e) := b(e) := 1 \quad \forall e \in E \setminus \{(g, \ell), (g', \ell')\}$,
 $\text{cap}(g, \ell) := 1, b(g, \ell) := \frac{1}{n+1},$
 $\text{cap}(g', \ell') := n, b(g', \ell') := n$



Was ist der maximal mögliche Verbrauch für ℓ in $(\mathcal{N} \setminus G_{LP}) - g$?

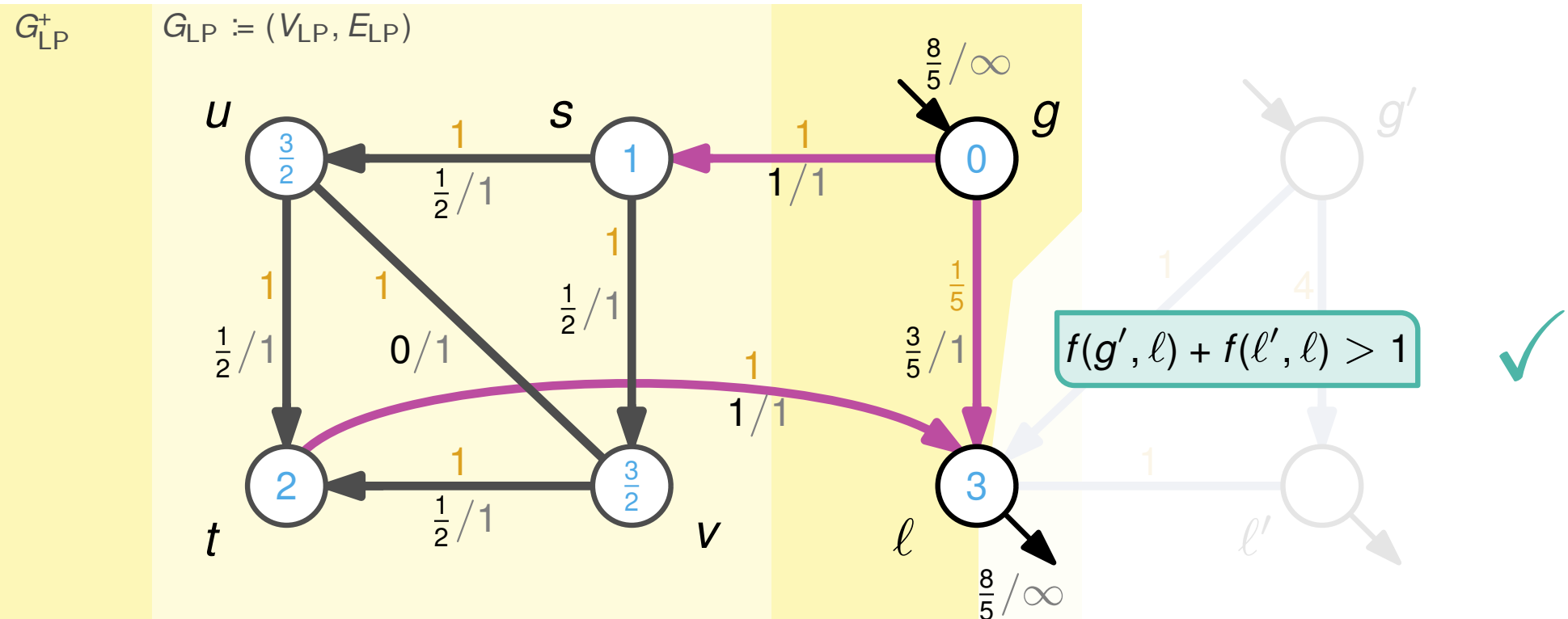
$$-\max f_{\text{net}}(\ell) = 3$$

MTSF auf beliebigen Graphen ist nicht-APX

[Lehmann et al., 2014]

Instanz $\mathcal{N} = (G = (V \cup V_{LP}, E \cup E_{LP}), V_G = \{g, g'\}, V_D = \{\ell, \ell'\}, \text{cap}, b, \overline{p_g}, \underline{p_d}_\ell = 3, \overline{p_d})$

- Knotenmenge $V_{LP} = \{v_1, v_2, \dots, v_n\}$, und $\overline{p_g} = \overline{p_d} = \infty$,
- Kantenmenge $E = E_{LP} \cup \{(g, s), (t, \ell), (g, \ell), (g', \ell'), (g', \ell), (\ell', \ell)\}$,
- Kantenparameter $\text{cap}(e) := b(e) := 1 \quad \forall e \in E \setminus \{(g, \ell), (g', \ell')\}$,
- $\text{cap}(g, \ell) := 1, b(g, \ell) := \frac{1}{n+1},$
- $\text{cap}(g', \ell') := n, b(g', \ell') := n$



G_{LP} beschränkt die $\max \Delta\theta^\nu(s, t)$, die den maximalen Leistungsfluss in \mathcal{N} beschränkt

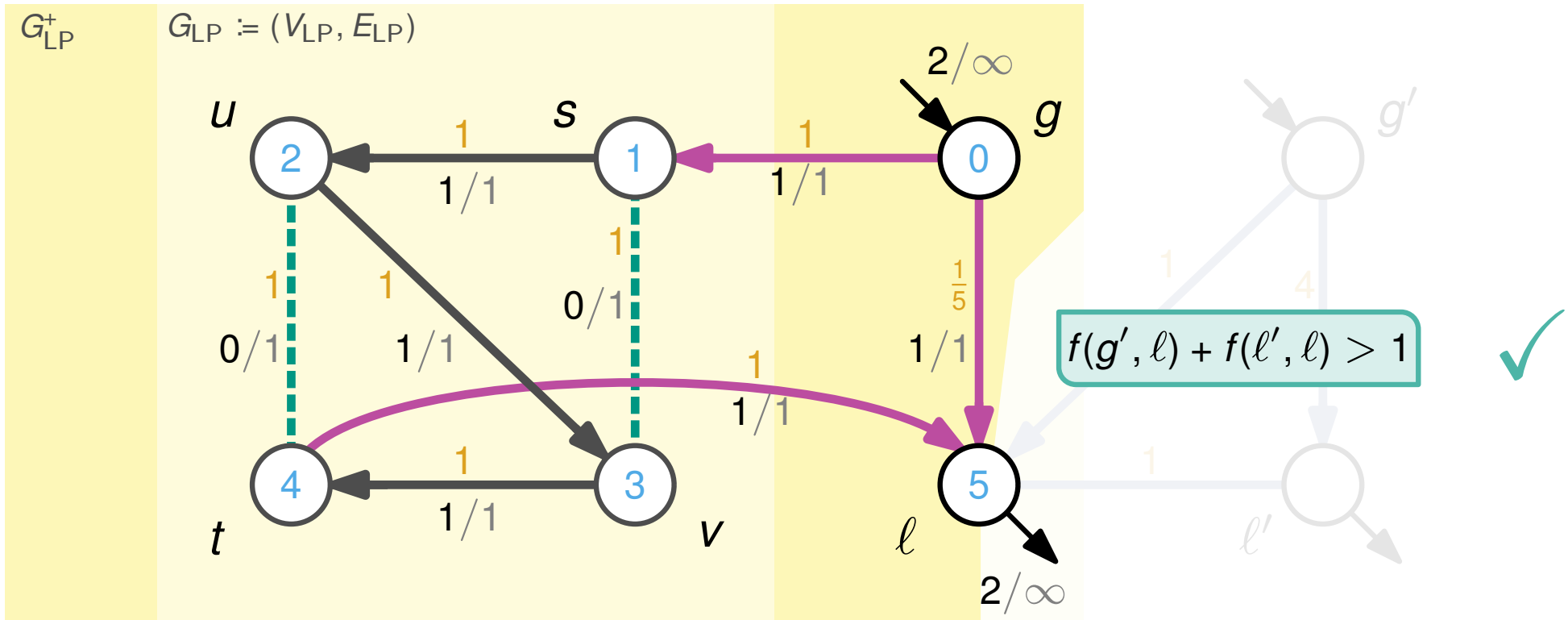
$$\text{OPT}_{\text{MPFP}}(G_{LP}^+) = \frac{8}{5}$$

MTSF auf beliebigen Graphen ist nicht-APX

[Lehmann et al., 2014]

Instanz $\mathcal{N} = (G = (V \cup V_{LP}, E \cup E_{LP}), V_G = \{g, g'\}, V_D = \{\ell, \ell'\}, \text{cap}, b, \overline{p_g}, \underline{p_d}_\ell = 3, \overline{p_d})$

- Knotenmenge $V_{LP} = \{v_1, v_2, \dots, v_n\}$, und $\overline{p_g} = \overline{p_d} = \infty$,
- Kantenmenge $E = E_{LP} \cup \{(g, s), (t, \ell), (g, \ell), (g', \ell'), (g', \ell), (\ell', \ell)\}$,
- Kantenparameter $\text{cap}(e) := b(e) := 1 \quad \forall e \in E \setminus \{(g, \ell), (g', \ell')\}$,
 $\text{cap}(g, \ell) := 1, b(g, \ell) := \frac{1}{n+1},$
 $\text{cap}(g', \ell') := n, b(g', \ell') := n$

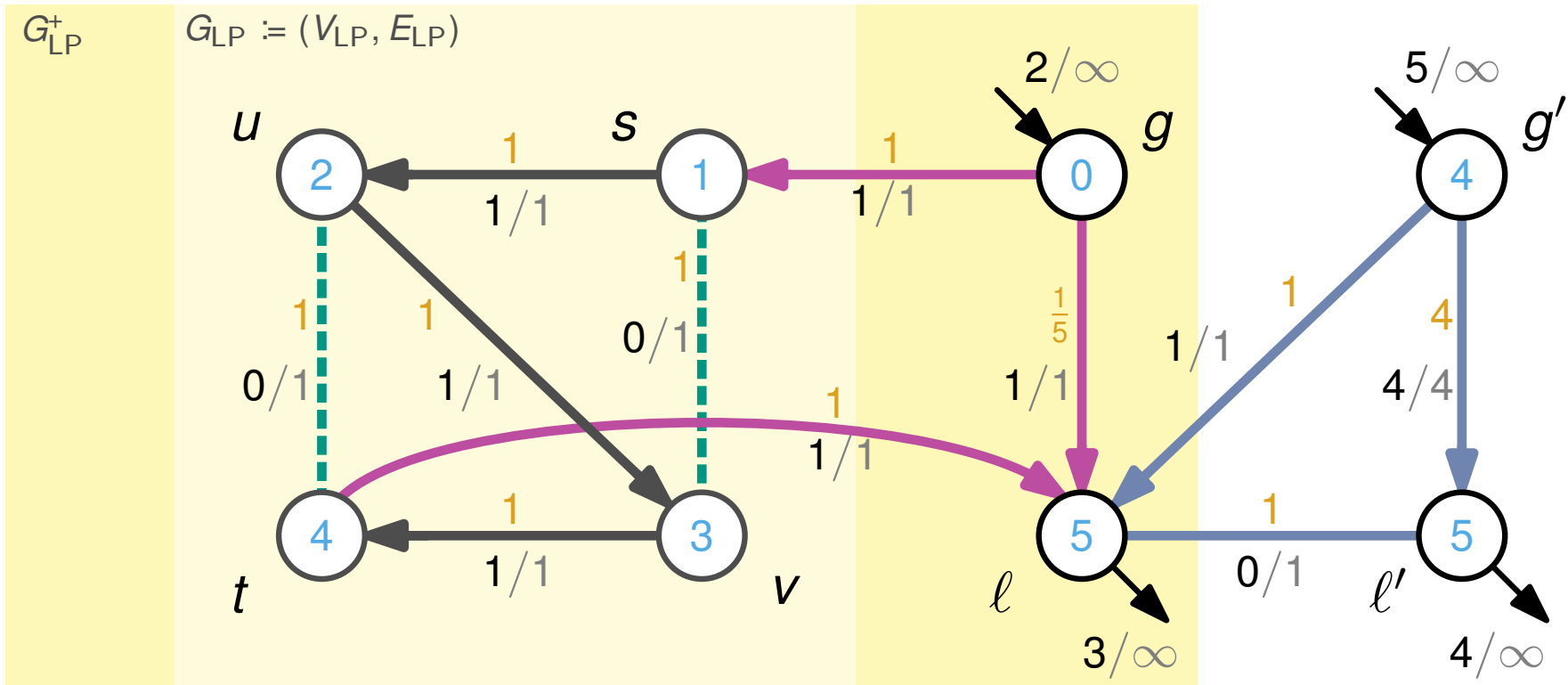


MTSF auf beliebigen Graphen ist nicht-APX

[Lehmann et al., 2014]

Instanz $\mathcal{N} = (G = (V \cup V_{LP}, E \cup E_{LP}), V_G = \{g, g'\}, V_D = \{\ell, \ell'\}, \text{cap}, b, \overline{p_g}, \underline{p_d}_\ell = 3, \overline{p_d})$

- Knotenmenge $V_{LP} = \{v_1, v_2, \dots, v_n\}$, und $\overline{p_g} = \overline{p_d} = \infty$,
- Kantenmenge $E = E_{LP} \cup \{(g, s), (t, \ell), (g, \ell), (g', \ell'), (g', \ell), (\ell', \ell)\}$,
- Kantenparameter $\text{cap}(e) := b(e) := 1 \quad \forall e \in E \setminus \{(g, \ell), (g', \ell')\}$,
 $\text{cap}(g, \ell) := 1, b(g, \ell) := \frac{1}{n+1},$
 $\text{cap}(g', \ell') := n, b(g', \ell') := n$



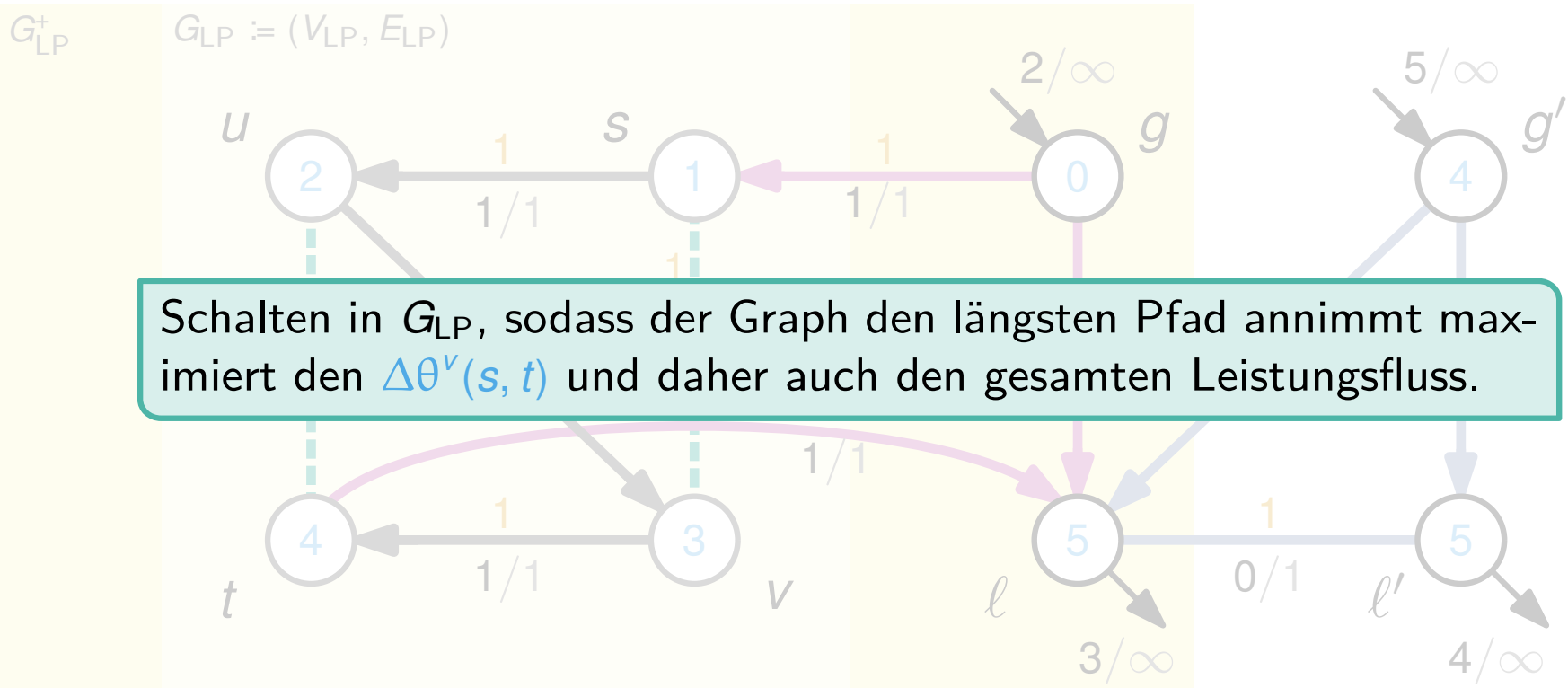
$$\text{OPT}_{\text{MTSF}}(\mathcal{N}) = 7$$

MTSF auf beliebigen Graphen ist nicht-APX

[Lehmann et al., 2014]

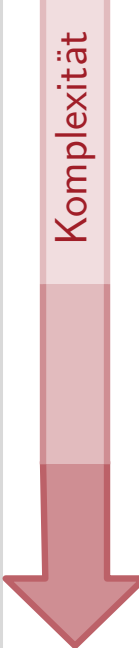
Instanz $\mathcal{N} = (G = (V \cup V_{LP}, E \cup E_{LP}), V_G = \{g, g'\}, V_D = \{\ell, \ell'\}, \text{cap}, b, \overline{p_g}, \underline{p_d}_\ell = 3, \overline{p_d})$

- Knotenmenge $V_{LP} = \{v_1, v_2, \dots, v_n\}$, und $\overline{p_g} = \overline{p_d} = \infty$,
- Kantenmenge $E = E_{LP} \cup \{(g, s), (t, \ell), (g, \ell), (g', \ell'), (g', \ell), (\ell', \ell)\}$,
- Kantenparameter $\text{cap}(e) := b(e) := 1 \quad \forall e \in E \setminus \{(g, \ell), (g', \ell')\}$,
 $\text{cap}(g, \ell) := 1, b(g, \ell) := \frac{1}{n+1},$
 $\text{cap}(g', \ell') := n, b(g', \ell') := n$



$$\text{OPT}_{\text{MTSF}}(\mathcal{N}) = 7$$

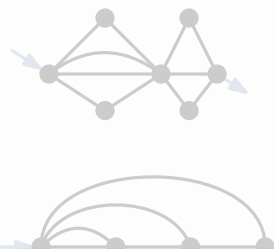
Zusammenfassung & zukünftige Arbeiten

	Graphenstruktur	Komplexität	Algorithmen
Komplexität 	Penrose-Minoren-freie Graphen Serienparallele Graphen	Polynomialzeit lösbar	✓
	Kakteen mit Maximalgrad 3	NP-schwer	✗
	2-Level-Bäume	NP-schwer [Lehmann et al., 2014]	✓
	Planare Graphen mit Maximalgrad 3	NP-schwer [Lehmann et al., 2014]	✗
	Beliebige Graphen	stark NP-schwer [Lehmann et al., 2014]	✗
		nicht-APX [Lehmann et al., 2014]	✗

Zusammenfassung & zukünftige Arbeiten

Graphenstruktur

ein Erzeuger,
ein Verbraucher
Penrose-Minoren-
freie Graphen
Serienparallele
Graphen



Komplexität

Polynomialzeit
lösbar
NP-schwer

Algorithmen



- Was passiert, wenn wir die Anzahl der switches minimieren oder eine Menge von nicht-schaltbaren Kanten fixieren?
- Existiert ein PTAS auf Kakteen für MTSF?
- Ersetze X durch ✓

2-Level-Daume

beim
beliebig



Planare Graphen
mit Maximalgrad 3



Beliebige Graphen



NP-schwer

[Lehmann et al., 2014]

stark NP-schwer
[Lehmann et al., 2014]

nicht-APX

[Lehmann et al., 2014]

Offene Probleme

Problem	Graphenstruktur	$ V_G $	$ V_D $	b	cap	Komplexität	Algorithmen
MTSF und OTS	Penrose-Minoren-freie Graphen	1	1	—	—	Polynomialzeit lösbar [Grastien et al., 2018]	✓ besser? $\infty \infty$
MTSF und OTS	Serienparallele Graphen	1	1	8	8	NP-schwer [Kocuk et al., 2016] [Grastien et al., 2018]	✗
MTSF und OTS	Kakteen mit Maximalgrad 3	∞	∞	1	∞	NP-schwer [Lehmann et al., 2014]	✓ besser? $\infty \infty$
MTSF und OTS	2-Level-Bäume	1	∞	8	∞	NP-schwer [Lehmann et al., 2014]	✗
MTSF und OTS	Planare Graphen mit Maximalgrad 3	1	1	8	1	stark NP-schwer [Lehmann et al., 2014]	✗
MTSF OTS	Beliebige Graphen	2	2	8	∞	nicht-APX [Lehmann et al., 2014]	✗
Andere interessante Strukturen?							
Stärkere Ergebnisse?							
Irgendein Algorithmus, der Garantien gibt?							

Referenzen

1. *Power systems test case archive*. University of Washington, Departement of Electrical Engineering, 1999. <https://labs.ece.uw.edu/pstca/>, Accessed: 2017-11-14.
2. Laurence A. Wolsey *Integer Programming*. Band 52 von Wiley Series in Discrete Mathematics and Optimization, John Wiley & Sons. ISBN: 9780471283669, 1998.
3. Jack Edmonds and Richard M. Karp *Theoretical Improvements in Algorithmic Efficiency for Network Flow Problems*. Journal ACM, 19(2):248–264. DOI: 10.1145/321694.321699, 1972.
4. R. K. Ahuja and James B. Orlin *A Fast and Simple Algorithm for the Maximum Flow Problem*. Journal on Operations Research, 37(5):748–759. DOI: 10.1287/opre.37.5.748, 1989.
5. Hassler Whitney *On the Abstract Properties of Linear Dependence*. American Journal of Mathematics, 57(3):509–533. DOI: 10.2307/2371182, 1935.
6. Gustav Robert Kirchhoff *Über die Auflösung der Gleichungen, auf welche man bei der Untersuchung der linearen Vertheilung galvanischer Ströme geführt wird*. Annalen der Physik, 148(12):497–508. DOI: 10.1002/andp.18471481202, 1847.
7. J. D. Horton *A Polynomial-Time Algorithm to Find the Shortest Cycle Basis of a Graph* SIAM Journal on Computing, 16(2):358–366. DOI: 10.1137/0216026, 1987.
8. Sundaram Seshu and Myril B. Reed *Linear Graphs and Electrical Networks* Addison-Wesley Publishing Company, 1961.